

## **STATISCHE BERECHNUNG**

### **GENEHMIGUNGSPLANUNG**

Bauherr: Landeshauptstadt Dresden  
Umweltamt  
Straße: Postfach 120020  
Ort: 01001 Dresden

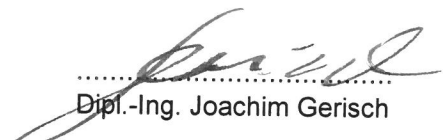
**Bauvorhaben: Naturnahe Umgestaltung des Kaitzbaches  
im Naturbad Dresden-Mockritz**

Planung: Rehwaldt Landschaftsarchitekten  
Bautzner Straße 133  
01099 Dresden  
Tel.: 0351/ 8119690 Fax: 0351/ 8119699

Aufgestellt: GERIPLAN  
Ingenieurbüro für Bauplanung  
Dipl.-Ing. Joachim Gerisch  
Ullersdorfer Platz 2  
01324 Dresden  
Tel.: 0351/ 2630376 Fax: 0351/2630378

Aufgestellt am: 13. 04. 2018

Aufsteller:

  
.....  
Dipl.-Ing. Joachim Gerisch  
bauvorlageberechtigter Ingenieur  
Ing.-Kammer Sachsen Nr. 54249  
Liste qualifizierter Tragwerksplaner  
Ing.-Kammer Sachsen Nr. 60216

  
Ingenieurbüro für Bauplanung  
..... Dipl.-Ing. Joachim Gerisch  
(Stempel)  
Ullersdorfer Platz 2 Tel. 0351 / 2630376  
01324 Dresden Fax 0351 / 2630378

## Inhaltsverzeichnis

Allgemeines/ Veranlassung		1
Lastannahmen Brücken 1,2,4 und 5		4
Holzbohlenbelag; d=40mm; LH D24	Bel01	5
Längsträger - Mitte; b/d=12/12cm; DLT $e \leq 1,50\text{m}$ ; NH C24	Bel02	8
Längsträger - Rand; b/d=12/10cm; DLT $e \leq 1,50\text{m}$ ; NH C24	Bel02.1	11
Handlauf Geländer, FL 60x6,0mm, S235	HL1	14
Geländerpfosten, FL 2x 70,0x8,0mm; $e \leq 1,25\text{m}$ ; S235	HL2	18
Anschlussfahne mit 2x M12 8.8		
Geländerpfosten „Brücke 3“, FL 2x 70,0x8,0mm; $e \leq 1,25\text{m}$ ; S235	HL2a	21
Fußpunkt zu Geländerpfosten „Brücke 3“	AP01	24
Zwischenstück 70x15mm mit umlfd Kehlnaht $a_w=6\text{mm}$		
Fußplatte 150x150mm mit 4x Injektionsankern		
„Fischer Superbond“ o.glw. FIS A M12x120mm (8.8); $t=90\text{mm}$		
alternativ „Peikko SBKL“ 150x150mm; bei Mindestbetondicke 22cm		
Brückenträger „Brücke 5“, HEA 180, S235	T1	39
Querträger „T2“; IPE 140; $e \leq 1,50\text{m}$ ; S235		
Auflagerplatte 300x120x12mm mit 2xFAZ II M12		
Brückenträger „Brücken 1, 2 und 4“, HEA 180, S235	T1a	42
Querträger „T2“; IPE 140; $e \leq 1,50\text{m}$ ; S235		
Auflagerplatte 300x120x12mm mit 2xFAZ II M12		
geschraubter Stirnplattenanschluss der Koppelstange/ Querträger an T1	T1.1	45
Stirnplatten 190x90x15mm S235;		
mit 4x M12 10.9, vorgespannt		
Querträger „T2“; IPE 140; $e \leq 1,50\text{m}$ ; S235	T2	48



Widerlager „Brücke 1“ als Gabionenwand	W01	51
<p>Gabionenwand mit Natursteinen <math>\gamma \geq 20 \text{ kN/m}^2</math>  Breite 2,50m, Gesamthöhe der Gabionen 1,80m, Dicke 1,50m  Gründung Höhe 1,10m; Breite 2,50m, Beton unbewehrt C25/30  Stahlbetonauflegerbalken an OK Gabione integriert  0,25x0,25m; L=2,0m; C25/30</p>		
Widerlager „Brücken 2+4“ als Gabionenwand	W01a	57
<p>Gabionenwand mit Natursteinen <math>\gamma \geq 20 \text{ kN/m}^2</math>  Breite 2,50m, Gesamthöhe der Gabionen 1,65m, Dicke 1,0m  Gründung Höhe 0,50m; Breite 1,75m, Beton unbewehrt C25/30  Stahlbetonauflegerbalken an OK Gabione integriert  0,25x0,25m; L=2,0m; C25/30</p>		
Widerlager „Brücke 5“ als Gabionenwand	W01b	62
<p>Gabionenwand mit Natursteinen <math>\gamma \geq 20 \text{ kN/m}^2</math>  Breite 2,50m, Gesamthöhe der Gabionen 2,25m, Dicke 1,50m  Gründung Höhe 0,50m; Breite 2,20m, Beton unbewehrt C25/30  Stahlbetonauflegerbalken an OK Gabione integriert  0,25x0,25m; L=2,0m; C25/30</p>		
<u>Brücke 3</u>		
Fertigteil-Brückenplatte; d= 30cm; l <sub>max</sub> = 5,75m; b= 3,0m; C35/45	PL01	67
Calenberg Compactlager S65, t=15mm o.glw.		70
je Auflager 4x Scherbolzen Ø30mm; DH33 Fa. Müller o.glw.		71
Widerlager „Brücke 3“ als Schwergewichtswand; C35/45	W02	89
<p>Breite 3,0m, Gesamthöhe des Widerlagers 1,50m, Dicke 1,25m  Gründung Höhe 1,0m; Breite 2,50m, Beton konstr. bewehrt C25/30</p>		
alternativ		
Widerlager „Brücke 3“ als Winkelstützwand; d= 30cm; C30/37	W02a	94
<p>erdseitiger Sporn: 2,10m; luftseitiger Sporn: 0,30m  Breite 3,0m, Gesamthöhe des Widerlagers 1,50m, Dicke 1,25m  Gründung Höhe 0,50m; Breite 3,0m, Beton konstr. bewehrt C25/30</p>		
Schlussbemerkung		100

## 1. Allgemeines

### 1.1 Veranlassung

Auf dem Gelände des Naturbades Dresden-Mockritz plant das Umweltamt der LH Dresden die naturnahe Umgestaltung des Kaitzbaches.

Im Zuge dieser Maßnahme ist die Errichtung von fünf Fußgängerbrücken geplant. Vier der Brücken werden ausschließlich von Fußgängern genutzt und erhalten einen Holzbohlenbelag.

Für die Brücke „Nr.3“ soll auch die Befahrung durch ein Wartungs-, Versorgungsfahrzeug (max. 3,5t) ermöglicht werden. Diese Brücke wird in Stahlbeton-Fertigteilkonstruktion errichtet.

Generell erhalten die Brücken ein Füllstabgeländer aus Stahl.

Technische Parameter der geplanten Brücken:

#### **Brücke 1:**

Bauart:	Stahlträger mit Holzbohlenbelag
Brückenklasse:	Fußgängerbrücke ohne Wartungsfahrzeug
Kreuzungswinkel:	$\approx 100^{\text{gon}}$
Bauwerkslänge:	$\approx 6,02\text{m}$ (in Brückenachse)
Lichte Weite zw. den Widerlagern:	$\approx 3,53\text{m}$
Bauwerksbreite Widerlager:	$\approx 2,50\text{m}$
Breite der Brücke zw. den Geländern:	$\approx 1,50\text{m}$
Höhe über Bachsohle:	$\approx 2,06\text{m}$
Längsgefälle:	$\approx 0,0\%$

#### **Brücke 2 und 4, baugleich:**

Bauart:	Stahlträger mit Holzbohlenbelag
Brückenklasse:	Fußgängerbrücke ohne Wartungsfahrzeug
Kreuzungswinkel:	$\approx 100^{\text{gon}}$
Bauwerkslänge:	$\approx 6,02\text{m}$ (in Brückenachse)
Lichte Weite zw. den Widerlagern:	$\approx 4,15\text{m}$
Bauwerksbreite Widerlager:	$\approx 2,50\text{m}$
Breite der Brücke zw. den Geländern:	$\approx 1,50\text{m}$
Höhe über Bachsohle:	$\approx 1,04\text{m}$
Längsgefälle:	$\approx 0,0\%$

#### **Brücke 5:**

Bauart:	Stahlträger mit Holzbohlenbelag
Brückenklasse:	Fußgängerbrücke ohne Wartungsfahrzeug
Kreuzungswinkel:	$\approx 100^{\text{gon}}$
Bauwerkslänge:	$\approx 7,94\text{m}$ (in Brückenachse)
Lichte Weite zw. den Widerlagern:	$\approx 6,01\text{m}$
Bauwerksbreite Widerlager:	$\approx 2,50\text{m}$
Breite der Brücke zw. den Geländern:	$\approx 1,50\text{m}$
Höhe über Bachsohle:	$\approx 1,58\text{m}$
Längsgefälle:	$\approx 0,0\%$

**Brücke 3:**

Bauart:	Beton-Fertigteil-Platte
Brückenklasse:	Fußgängerbrücke mit Wartungsfahrzeug (max. 3,5t)
Kreuzungswinkel:	$\approx 100^{\text{gon}}$
Bauwerkslänge:	$\approx 6,00\text{m}$ (in Brückenachse)
Lichte Weite zw. den Widerlagern:	$\approx 6,01\text{m}$
Bauwerksbreite Widerlager:	$\approx 2,70\text{m}$
Breite der Brücke zw. den Geländern:	$\approx 1,50\text{m}$
Höhe über Bachsohle:	$\approx 0,97\text{m}$
Längsgefälle:	$\approx 0,0\%$

Baugrund und Gründung:

Angaben zum Baugrund lagen in Form des Geotechnischen Berichtes der „cwh Ingenieurgesellschaft, Dresden“ vor. Für die Berechnung wird demzufolge eine zulässige Bodenpressung von  $\text{zul } \sigma = 90 \text{ kN/m}^2$  ( $\sigma_{\text{Rd}} = 127 \text{ kN/m}^2$ ) zu Grunde gelegt.

**Es ist vor Bauausführung zu prüfen, ob dies den tatsächlichen Gegebenheiten entspricht.**

### **1.2 Baustoffe** (sofern nicht anders angegeben)

Widerlager:	Gabionenelemente mit Naturstein
Beton unbewehrt:	Streifenfundament C20/25
Stahlbeton:	C25/30
Betonstahl:	BST 500 S/M (A), normalduktil
Profilstahl:	S235

### **1.3 Berechnungsgrundlagen**

Vorschriften:	Lastannahmen	DIN EN 1991
	Stahlbeton	DIN EN 1992
	Stahlbau	DIN EN 1993
	Holzbau	DIN EN 1995
	Mauerwerk	DIN EN 1996

sowie alle derzeit gültigen technischen Baubestimmungen

- [1]        Entwurfsplanung Rehwaldt Landschaftsarchitekten, Dresden  
            Lageplan, Schnitte; Stand 30.03.2018
  
- [3]        Geotechnischer Bericht, cwh Ingenieurgesellschaft  
            Stand: 29.03.2018
  
- [4]        Wendehorst Bautechnische Zahlentafeln, Vieweg+Teubner Verlag, 33. Auflage
  
- [5]        Schneider Bautabellen für Ingenieure, Werner Verlag, 20. Auflage
  
- [6]        Eurocode 2 für Deutschland; Fingerloos, Hegger, Zilch  
            Beuth Verlag + Verlag Ernst&Sohn, 1.Auflage

Art und Konstruktion der jeweils erforderlichen zwischenzeitlichen Absteifungsmaßnahmen sind nicht Gegenstand der vorliegenden statischen Nachweisführungen. Die Auswahl der entsprechenden Baubehelfe liegt im Verantwortungsbereich der bauausführenden Firma.

## **2. Lastannahmen**

### **für Brücken 1,2,4 und 5**

#### **ständige Lasten**

Holzbohlenbelag; d= 4,0+1,0cm: Trägereigenlast programmintern	0,50 kN/m <sup>2</sup>
------------------------------------------------------------------	------------------------

Eigenlast Füllstabgeländer (Statbabstand 10cm)	0,40 kN/m
------------------------------------------------	-----------

#### **veränderliche Lasten**

Verkehrslast (incl. Schnee)	5,00 kN/m <sup>2</sup>
-----------------------------	------------------------

Holmlast	1,00 kN/m
----------	-----------

## Bel01 Holzbohlenbelag, d= 40mm; LH D24

Auf den Brückenträgern wird ein Holzbohlenbelag verlegt und befestigt.  
Die Unterkonstruktion besteht aus Längsträgern, die ebenfalls aus Holz bestehen und eine leichte Revisionier- und Demontierbarkeit ermöglichen.

- statisches System und Belastung

Die Lasten auf die Bohlen werden wegen der möglichen Verlegung auf Lücke um den Faktor 1/0,90 erhöht.

$$g/p = [0,50 \mid 5,0] \text{ kN/m}^2 / 0,90 = [0,56 \mid 5,6] \text{ kN/m}^2$$

- Schnittkräfte und Bemessung siehe EDV folgende Seiten

- Ergebnis der EDV-Berechnung

$$\begin{aligned} \max \eta_{\sigma} &= \underline{\underline{0,20}} < \underline{\underline{1,0}} \\ \max \eta_f &= \underline{\underline{0,13}} < \underline{\underline{1,0}} \end{aligned}$$

- Lastweiterleitung

**Auflagerkräfte [kN/m]**

		A	B	C
		[kN/m]	[kN/m]	[kN/m]
$G_{k,1}$	=	0,16	0,53	0,16
$Q_{k,1}$	=	1,84	5,25	1,84
gesamt		2,00	5,78	2,00

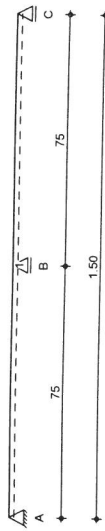
# Pos. Bel01

## System

M 1:15

## Bohlenbelag

Holz-Zweifeldträger



Abmessungen /  
Nutzungsklassen

Feld	1	2	3
1	0.75	0.75	0.75
2	0.75	0.75	0.75
3	0.75	0.75	0.75
Aufl.	x	b	Rotat.
A	0.00	10.00	starr
B	0.75	10.00	frei
C	1.50	10.00	frei

Material

LH D24

Querschnitt

b/h = 100/4 cm

## Belastungen

Belastungen auf das System

## Grafik

Belastungsgrafiken (einwirkungsbezogen)

Einwirkungen

Gk Qk.N



## Streckenlasten

Einw. Gk

Einw. Qk.N

Gleichlasten

Feld Komm.

1	2	3	4	5	6	7	8	9	10	11	12
0.00	0.00	1.50	1.50	1.50	1.50	1.50	1.50	1.50	1.50	1.50	1.50
0.00	0.00	1.50	1.50	1.50	1.50	1.50	1.50	1.50	1.50	1.50	1.50

## Kombinationen

Kombinationsbildung nach DIN EN 1990  
 Darstellung der maßgebenden Kombinationen

Ek	KLED	Σ (γ*ψ*EW)	mi	1.35*Gk	+1.50*Qk.N	1.35*Gk	+1.50*Qk.N	1.35*Gk	+1.50*Qk.N	1.00*Gk	+1.00*Qk.N	1.00*Gk	+1.00*Qk.N	1.00*Gk	+0.30*Qk.N	1.00*Gk	+0.30*Qk.N
2	mi	1.35*Gk	1	1.35*Gk	+1.50*Qk.N	1.35*Gk	+1.50*Qk.N	1.35*Gk	+1.50*Qk.N	1.00*Gk	+1.00*Qk.N	1.00*Gk	+1.00*Qk.N	1.00*Gk	+0.30*Qk.N	1.00*Gk	+0.30*Qk.N
4	mi	1.35*Gk	2	1.35*Gk	+1.50*Qk.N	1.35*Gk	+1.50*Qk.N	1.35*Gk	+1.50*Qk.N	1.00*Gk	+1.00*Qk.N	1.00*Gk	+1.00*Qk.N	1.00*Gk	+0.30*Qk.N	1.00*Gk	+0.30*Qk.N
6	mi	1.35*Gk	3	1.35*Gk	+1.50*Qk.N	1.35*Gk	+1.50*Qk.N	1.35*Gk	+1.50*Qk.N	1.00*Gk	+1.00*Qk.N	1.00*Gk	+1.00*Qk.N	1.00*Gk	+0.30*Qk.N	1.00*Gk	+0.30*Qk.N
9	mi	1.00*Gk	4	1.00*Gk	+1.00*Qk.N	1.00*Gk	+1.00*Qk.N	1.00*Gk	+1.00*Qk.N	1.00*Gk	+1.00*Qk.N	1.00*Gk	+1.00*Qk.N	1.00*Gk	+0.30*Qk.N	1.00*Gk	+0.30*Qk.N
10	mi	1.00*Gk	5	1.00*Gk	+1.00*Qk.N	1.00*Gk	+1.00*Qk.N	1.00*Gk	+1.00*Qk.N	1.00*Gk	+1.00*Qk.N	1.00*Gk	+1.00*Qk.N	1.00*Gk	+0.30*Qk.N	1.00*Gk	+0.30*Qk.N
11	mi	1.00*Gk	6	1.00*Gk	+0.30*Qk.N	1.00*Gk	+0.30*Qk.N	1.00*Gk	+0.30*Qk.N	1.00*Gk	+0.30*Qk.N	1.00*Gk	+0.30*Qk.N	1.00*Gk	+0.30*Qk.N	1.00*Gk	+0.30*Qk.N
12	mi	1.00*Gk	7	1.00*Gk	+0.30*Qk.N	1.00*Gk	+0.30*Qk.N	1.00*Gk	+0.30*Qk.N	1.00*Gk	+0.30*Qk.N	1.00*Gk	+0.30*Qk.N	1.00*Gk	+0.30*Qk.N	1.00*Gk	+0.30*Qk.N

mi: mittel

## Mat./Querschnitt

nach DIN EN 1995-1-1

Materialien

Holz	f <sub>m,k</sub>	f <sub>t0k</sub>	f <sub>c0k</sub>	f <sub>c90k</sub>	f <sub>vk</sub>	E <sub>mean</sub>
LH D24	24.0	14.0	21.0	7.8	4.0	10000

Querschnittswerte

b	h	A	I <sub>y</sub>
100.0	4.0	400.0	533.3

## Nachweise (GZT)

Nachweise im Grenzzustand der Tragfähigkeit nach DIN EN 1995-1-1

## Biegung

Abs. 6.1

Feld	1	2	3
1	0.75	0.75	0.75
2	0.75	0.75	0.75
3	0.75	0.75	0.75
Aufl.	x	b	Rotat.
A	0.00	10.00	starr
B	0.75	10.00	frei
C	1.50	10.00	frei

## Querkraft

Abs. 6.1.7

Feld	1	2	3
1	0.07	2	0.65
2	0.66	6	0.65
3	0.09	6	0.65
4	0.68	4	0.65

## Stabilität

Abs. 6.3

Feld	1	2	3
1	0.07	2	0.65
2	0.66	6	0.65
3	0.09	6	0.65
4	0.68	4	0.65

Ersatzstablängen

Feld	1	2	3
1	0.75	0.75	0.75
2	0.75	0.75	0.75
3	0.75	0.75	0.75

## Auflagerpressung

Abs. 6.1.5

Auflager	A	B	C
1	0.65	2.97	1300.0
2	0.65	8.58	1600.0
3	0.65	2.97	1300.0

## Nachweise (GZG)

Nachweise im Grenzzustand der Gebrauchstauglichkeit nach DIN EN 1995-1-1

## Verformungen

Abs. 7.2

Feld	1	2	3
1	0.35	11	0.3
2	0.35	11	0.3
3	0.35	11	0.3
Aufl.	x	b	Rotat.
A	0.00	10.00	starr
B	0.75	10.00	frei
C	1.50	10.00	frei

Proj. Bez 18-37 Mockritzer Bad

mb BauStatik S302.de 2018.031

Blatt Position  
18-37 Brücken Mockritzer Bad

3

Bel01

**Auflagerkräfte**

Charakteristische Auflagerkräfte

Char. Auflagerkr.

Einw. Gk	Aufl.	$F_{z,k,min}$ [kN]	$F_{z,k,max}$ [kN]
	A	0.16	0.16
	B	0.53	0.53
	C	0.16	0.16
Einw. Qk.N	A	-0.26	1.84
	B	2.63	5.25
	C	-0.26	1.84

**Zusammenfassung**

Zusammenfassung der Nachweise

**Nachweise (GZT)**

Nachweise im Grenzzustand der Tragfähigkeit

Nachweis	Feld/Auflager	x [m]	$\eta$ [-]
Biegung	Feld 2	0.00	OK 0.20
Querkraft	Feld 1	0.66	OK 0.10
Auflagerpressung	Auflager B		OK 0.01

**Nachweise (GZG)**

Nachweise im Grenzzust. der Gebrauchstauglichkeit

Nachweis	Feld	x [m]	$\eta$ [-]
Anfangsdurchbieg.	Feld 1	0.35	OK 0.13
gesamte Enddurchb.	Feld 1	0.35	OK 0.13



**Bel02 Längsträger (Mitte), b/d= 12/12cm; DLT e≤ 1,50m; NH C24**

- statisches System und Belastung

Streckenlasten [kN/m]					
				<b>Gk</b>	<b>Qk</b>
aus Bel 01 ( B )				0,53	5,25
			Summe	0,53	5,25

- Schnittkräfte und Bemessung siehe EDV folgende Seiten

- Ergebnis der EDV-Berechnung

$$\begin{aligned} \max \eta_{\sigma} &= \underline{\underline{0,71}} < \underline{\underline{1,0}} \\ \max \eta_f &= \underline{\underline{0,90}} < \underline{\underline{1,0}} \end{aligned}$$

- Lastweiterleitung

**Auflagerkräfte [kN/m]**

		<b>A</b>	<b>B</b>	<b>....</b>
		[kN/m]	[kN/m]	
$G_{k,1}$	=	0,97	0,85	
$Q_{k,1}$	=	8,72	9,63	
gesamt		<b>9,69</b>	<b>10,48</b>	

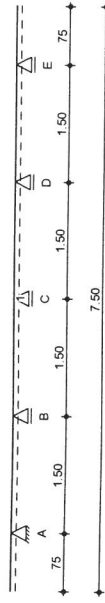
Pos. Bel02

System

M 1:65

Längsträger

Holz-Mehrfeldträger mit Kragarmen



Abmessungen /  
Nutzungsklassen

Feld	Kl	l [m]	l <sub>erf,m</sub> [m]	NKL
1	1	0.75	1.50	3
2	2	1.50	1.50	3
3	3	1.50	1.50	3
4	4	1.50	1.50	3
Kr		0.75	1.50	3

Auflager

Aufl.	x [m]	b [cm]	Transl. [kN/m]	Rotat. [kNm/rad]
A	0.75	10.00	starr	frei
B	2.25	10.00	starr	frei
C	3.75	10.00	starr	frei
D	5.25	10.00	starr	frei
E	6.75	10.00	starr	frei

Material NH C24

Querschnitt

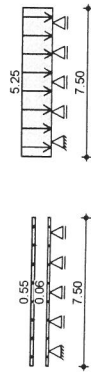
b/h = 12/12 cm

Belastungen auf das System

Belastungsgrafiken (einwirkungsbezogen)

Einwirkungen

Gk Qk.N



Streckenlasten  
in z-Richtung

Einw. Gk

Einw. Qk.N

Kombinationen

ständig/vorüberg.

Gleichlasten Feld Komm.	a [m]	s [m]	q <sub>li</sub> [kN/m]	q <sub>re</sub> [kN/m]
Kl Eigengew	0.00	7.50	0.06	0.06
Kl	0.00	7.50	0.55	0.55
Kl	0.00	7.50	5.25	5.25

Kombinationsbildung nach DIN EN 1990

Darstellung der maßgebenden Kombinationen

Ek	KLED	Σ (γ*ψ*EW)
2	mi	1.35*Gk + 1.50*Qk.N (Kl,1,3,4)
3	mi	1.35*Gk + 1.50*Qk.N (Kl,1,3,Kr)
8	mi	1.35*Gk + 1.50*Qk.N (1,3,Kr)
10	mi	1.35*Gk + 1.50*Qk.N

Ek KLED Σ (γ\*ψ\*EW)

16	mi	1.35*Gk + 1.50*Qk.N (Kl,2,3,Kr)
20	mi	1.35*Gk + 1.50*Qk.N (1,3,4)
22	mi	1.35*Gk + 1.50*Qk.N (Kl,2,4,Kr)
29		1.00*Gk + 1.00*Qk.N (Kl,2,4)
30		1.00*Gk + 1.00*Qk.N (1,3,Kr)
31		1.00*Gk + 0.30*Qk.N (Kl,2,4)
32		1.00*Gk + 0.30*Qk.N (1,3,Kr)

mi: mittel

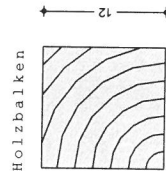
nach DIN EN 1995-1-1

Mat./Querschnitt

Materialien

Holz	f <sub>m,k</sub>	f <sub>tok</sub>	f <sub>cok</sub>	f <sub>c90k</sub> [N/mm²]	f <sub>vk</sub>	E <sub>mean</sub>
NH C24	24.0	14.0	21.0	2.5	4.0	11000
	b [cm]	h [cm]	A [cm²]	I <sub>y</sub> [cm⁴]		
	12.0	12.0	144.0	1728.0		

Schnitt M 1:5



Nachweise (GZT)

Nachweise im Grenzzustand der Tragfähigkeit nach DIN EN 1995-1-1

Biegung Abs. 6.1

Nachweis der Biegetragfähigkeit

x [m]	Ek	k <sub>red</sub> [-]	M <sub>Ed</sub> [kNm]	σ <sub>m,d</sub> [N/mm²]	f <sub>m,d</sub> [N/mm²]	η
(L = 0.75 m, k <sub>crit</sub> = 1.00)						
0.75	3	0.65	-2.45	8.50	12.00	0.71*
(L = 1.50 m, k <sub>crit</sub> = 1.00)						
0.00	3	0.65	-2.45	8.50	12.00	0.71*
(L = 1.50 m, k <sub>crit</sub> = 1.00)						
1.50	16	0.65	-2.38	8.27	12.00	0.69*
(L = 1.50 m, k <sub>crit</sub> = 1.00)						
0.00	16	0.65	-2.38	8.27	12.00	0.69*
(L = 0.75 m, k <sub>crit</sub> = 1.00)						
1.50	8	0.65	-2.45	8.50	12.00	0.71*
(L = 0.75 m, k <sub>crit</sub> = 1.00)						
0.00	22	0.65	-2.45	8.50	12.00	0.71*

Querkraft  
Abs. 6.1.7

Nachweis der Querkrafttragfähigkeit

	x	Ek	k <sub>mod</sub>	V <sub>z,d</sub>	T <sub>d</sub>	f <sub>v,d</sub>	η
	[m]		[-]	[kN]	[N/mm <sup>2</sup> ]	[N/mm <sup>2</sup> ]	[-]
Kragarm links							
Feld 1	0.58	2	0.65	-5.05	1.05	2.00	0.53*
	0.17	3	0.65	6.38	1.33	2.00	0.66
Feld 2	1.33	10	0.65	-6.40	1.33	2.00	0.67*
	0.17	10	0.65	6.24	1.30	2.00	0.65
Feld 3	1.33	16	0.65	-6.54	1.36	2.00	0.68*
	0.17	16	0.65	6.54	1.36	2.00	0.68*
Feld 4	1.33	20	0.65	-6.24	1.30	2.00	0.65
	0.17	20	0.65	6.40	1.33	2.00	0.67*
Kragarm rechts							
	1.33	22	0.65	-6.38	1.33	2.00	0.66
	0.17	22	0.65	5.05	1.05	2.00	0.53*

Nachweis der Stabilität

Der Einfluss der Stabilität ist im Nachweis der Biegetragfähigkeit enthalten. Folgende Ersatzstablängen werden berücksichtigt.

Ersatzstablängen

	l	l <sub>eff,m</sub>
	[m]	[m]
Kragarm links	0.75	1.50
Feld 1	1.50	1.50
Feld 2	1.50	1.50
Feld 3	1.50	1.50
Feld 4	1.50	1.50
Kragarm rechts	0.75	1.50

Auflagerpressung  
Abs. 6.1.5

Nachweis der Auflagerpressung

	Ek	k <sub>mod</sub>	F <sub>d</sub>	A <sub>uf</sub>	k <sub>c90</sub>	G <sub>90d</sub>	F <sup>*</sup> <sub>cs90d</sub>	η
	[-]		[kN]	[cm <sup>2</sup> ]	[-]	[N/mm <sup>2</sup> ]	[N/mm <sup>2</sup> ]	[-]
Auflager A	3	0.65	14.38	192.0	1.00	0.75	1.25	0.60
Auflager B	10	0.65	15.60	192.0	1.00	0.81	1.25	0.65
Auflager C	16	0.65	16.05	192.0	1.00	0.84	1.25	0.67
Auflager D	20	0.65	15.60	192.0	1.00	0.81	1.25	0.65
Auflager E	22	0.65	14.38	192.0	1.00	0.75	1.25	0.60

f<sup>\*</sup><sub>cs90d</sub> = k<sub>90</sub> • f<sub>cs90d</sub>

Nachweise im Grenzzustand der Gebrauchstauglichkeit nach DIN EN 1995-1-1

Verformungen  
Abs. 7.2

Nachweise der Verformungen

	x	Ek	Norm	W <sub>vorh</sub>	W <sub>zul</sub>	η
	[m]			[mm]	[mm]	[-]
Kragarm links						
	(L= 0.75 m, NKL 3, k <sub>def</sub> = 2.00)					
	0.00	29	W <sub>inst</sub>	4.5	1/150=	5.0 0.89
	0.00	31	W <sub>net,fin</sub>	4.5	1/150=	5.0 0.90
Feld 1						
	(L= 1.50 m, NKL 3, k <sub>def</sub> = 2.00)					
	0.70	30	W <sub>inst</sub>	1.4	1/300=	5.0 0.28
	0.70	32	W <sub>net,fin</sub>	1.3	1/300=	5.0 0.25
Feld 2						
	(L= 1.50 m, NKL 3, k <sub>def</sub> = 2.00)					
	0.75	29	W <sub>inst</sub>	1.3	1/300=	5.0 0.26
	0.73	31	W <sub>net,fin</sub>	1.3	1/300=	5.0 0.25
Feld 3						
	(L= 1.50 m, NKL 3, k <sub>def</sub> = 2.00)					
	0.75	30	W <sub>inst</sub>	1.3	1/300=	5.0 0.26
	0.77	32	W <sub>net,fin</sub>	1.3	1/300=	5.0 0.25
Feld 4						
	(L= 1.50 m, NKL 3, k <sub>def</sub> = 2.00)					
	0.80	29	W <sub>inst</sub>	1.4	1/300=	5.0 0.28
	0.80	31	W <sub>net,fin</sub>	1.3	1/300=	5.0 0.25

Kragarm rechts

	x	Ek	Norm	W <sub>vorh</sub>	W <sub>zul</sub>	η
	[m]			[mm]	[mm]	[-]
	(L= 0.75 m, NKL 3, k <sub>def</sub> = 2.00)					
	0.75	30	W <sub>inst</sub>	4.5	1/150=	5.0 0.89
	0.75	32	W <sub>net,fin</sub>	4.5	1/150=	5.0 0.90

Auflagerkräfte

Char. Auflagerkr.

Aufl.

	F <sub>z,k,min</sub>	F <sub>z,k,max</sub>
	[kN]	[kN]

Einw. Gk	A	0.96	0.96
	B	0.85	0.85
	C	0.95	0.95
	D	0.85	0.85
	E	0.96	0.96
Einw. Qk.N	A	-0.42	8.72
	B	-2.32	9.63
	C	-1.69	9.84
	D	-2.32	9.63
	E	-0.42	8.72

Zusammenfassung

Zusammenfassung der Nachweise

Nachweise (GZT)

Nachweise im Grenzzustand der Tragfähigkeit

	Feld/Auflager	x	η
		[m]	[-]
Biegung	Kragarm rechts	0.00	OK
Querkraft	Feld 2	1.33	OK
Auflagerpressung	Auflager C		OK

Nachweise (GZG)

Nachweise im Grenzzust. der Gebrauchstauglichkeit

	Feld	x	η
		[m]	[-]
Anfangsdurchbieg.	Kragarm links	0.00	OK
gesamte Enddurchb.	Kragarm links	0.00	OK

**Bel02.1 Längsträger (Rand), b/d= 12/ >=10cm; DLT e<= 1,50m; NH C24**

max. Kragarm 75cm

- statisches System und Belastung

Streckenlasten [kN/m]					
				Gk	Qk
aus Bel 01 ( A )				0,16	1,84
			Summe	0,16	1,84

- Schnittkräfte und Bemessung siehe EDV folgende Seiten

- Ergebnis der EDV-Berechnung

$$\begin{aligned} \max \eta_{\sigma} &= \underline{\underline{0,36}} < \underline{\underline{1,0}} \\ \max \eta_f &= \underline{\underline{0,56}} < \underline{\underline{1,0}} \end{aligned}$$

- Lastweiterleitung

**Auflagerkräfte [kN/m]**

		A	B	....
		[kN/m]	[kN/m]	
$G_{k,1}$	=	0,40	0,35	
$Q_{k,1}$	=	3,07	3,47	
gesamt		3,47	3,82	

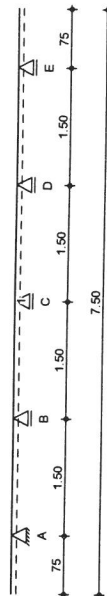
# Pos. Bel02.1

## System

M 1:65

## Längsträger, Rand

Holz-Mehrfeldträger mit Kragarmen



Abmessungen /  
Nutzungsklassen

Feld	l	l <sub>eff,m</sub>	NKL
K1	0.75	1.50	3
1	1.50	1.50	3
2	1.50	1.50	3
3	1.50	1.50	3
4	1.50	1.50	3
Kr	0.75	1.50	3

Auflager

Aufl.	x	b	Transl.	Rotat.
[m]	[cm]	[m]	[kNm/rad]	[kNm/rad]
A	0.75	10.00	starr	frei
B	2.25	10.00	starr	frei
C	3.75	10.00	starr	frei
D	5.25	10.00	starr	frei
E	6.75	10.00	starr	frei

Material

Querschnitt

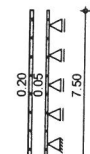
b/h = 12/10 cm

## Belastungen

## Grafik

Einwirkungen

Gk Qk.N



## Streckenlasten in z-Richtung

Einw. Gk

Einw. Qk.N

## Kombinationen

ständig/vorüberg.

Feld	Komm.	a	s	q <sub>1i</sub>	q <sub>re</sub>
[m]	[m]	[m]	[kN/m]	[kN/m]	[kN/m]
K1	Eigengew	0.00	7.50	0.05	0.05
K1		0.00	7.50	0.20	0.20
K1		0.00	7.50	1.85	1.85

Kombinationsbildung nach DIN EN 1990  
Darstellung der maßgebenden Kombinationen

Ek	KLED	Σ (γ*ψ*EW)
2	mi	1.35*Gk + 1.50*Qk.N
8	mi	1.35*Gk + 1.50*Qk.N
10	mi	1.35*Gk + 1.50*Qk.N
14	mi	1.35*Gk + 1.50*Qk.N

Ek KLED Σ (γ\*ψ\*EW)

16	mi	1.35*Gk + 1.50*Qk.N
18	mi	1.35*Gk + 1.50*Qk.N
27	mi	1.00*Gk + 1.00*Qk.N
28	mi	1.00*Gk + 1.00*Qk.N
29	mi	1.00*Gk + 0.30*Qk.N
30	mi	1.00*Gk + 0.30*Qk.N

quasi-ständig

## Mat./Querschnitt

nach DIN EN 1995-1-1

Materialien

Holz	f <sub>m,k</sub>	f <sub>t0,k</sub>	f <sub>0,k</sub>	f <sub>90,k</sub>	f <sub>vk</sub>	E <sub>mean</sub>
[N/mm <sup>2</sup> ]	[N/mm <sup>2</sup> ]	[N/mm <sup>2</sup> ]	[N/mm <sup>2</sup> ]	[N/mm <sup>2</sup> ]	[N/mm <sup>2</sup> ]	[N/mm <sup>2</sup> ]
NH C24	24.0	14.0	21.0	2.5	4.0	11000

Querschnittswerte

b	h	A	I <sub>y</sub>
[cm]	[cm]	[cm <sup>2</sup> ]	[cm <sup>4</sup> ]
12.0	10.0	120.0	1000.0

Schnitt  
M 1:5

Holzbaalken



## Nachweise (GZT)

Nachweise im Grenzzustand der Tragfähigkeit nach DIN EN 1995-1-1

## Biegung Abs. 6.1

Kragarm links

Feld 1

Feld 2

Feld 3

Feld 4

Kragarm rechts

x	Ek	k <sub>red</sub>	M <sub>Ed</sub>	σ <sub>m,d</sub>	f <sub>m,d</sub>	η
[m]	[N/mm <sup>2</sup> ]	[N/mm <sup>2</sup> ]	[kNm]	[N/mm <sup>2</sup> ]	[N/mm <sup>2</sup> ]	[-]
(L = 0.75 m, k <sub>crit</sub> = 1.00)	0.75	2	0.65	-0.88	4.38	12.00
(L = 1.50 m, k <sub>crit</sub> = 1.00)	0.00	2	0.65	-0.88	4.38	12.00
(L = 1.50 m, k <sub>crit</sub> = 1.00)	1.50	14	0.65	-0.85	4.24	12.00
(L = 1.50 m, k <sub>crit</sub> = 1.00)	0.00	14	0.65	-0.85	4.24	12.00
(L = 1.50 m, k <sub>crit</sub> = 1.00)	1.50	8	0.65	-0.88	4.38	12.00
(L = 0.75 m, k <sub>crit</sub> = 1.00)	0.00	18	0.65	-0.88	4.38	12.00

**Querkraft**

Abs. 6.1.7

Kragarm links

Feld 1

Feld 2

Feld 3

Feld 4

Kragarm rechts

**Stabilität**

Abs. 6.3

Ersatzstablängen

Nachweis der Querkrafttragfähigkeit

x	Ek	K <sub>red</sub>	V <sub>z,d</sub>	T <sub>d</sub>	f <sub>v,d</sub>	η
[m]	[kN]	[-]	[kN]	[N/mm <sup>2</sup> ]	[N/mm <sup>2</sup> ]	[-]
0.60	2	0.65	-1.87	0.47	2.00	0.23*
0.15	2	0.65	2.34	0.59	2.00	0.29
1.35	10	0.65	-2.34	0.59	2.00	0.29*
0.15	10	0.65	2.29	0.57	2.00	0.29
1.35	14	0.65	-2.40	0.60	2.00	0.30*
0.15	14	0.65	2.40	0.60	2.00	0.30*
1.35	16	0.65	-2.29	0.57	2.00	0.29
0.15	16	0.65	2.34	0.59	2.00	0.29*
1.35	18	0.65	-2.34	0.59	2.00	0.29
0.15	18	0.65	1.87	0.47	2.00	0.23*

Nachweis der Stabilität

Der Einfluss der Stabilität ist im Nachweis der Biegetragfähigkeit enthalten. Folgende Ersatzstablängen werden berücksichtigt.

	l	l <sub>eff,m</sub>
	[m]	[m]
Kragarm links	0.75	1.50
Feld 1	1.50	1.50
Feld 2	1.50	1.50
Feld 3	1.50	1.50
Feld 4	1.50	1.50
Kragarm rechts	0.75	1.50

**Auflagerpressung**

Abs. 6.1.5

Nachweis der Auflagerpressung

Ek	K <sub>red</sub>	F <sub>d</sub>	A <sub>ef</sub>	K <sub>90</sub>	σ <sub>90d</sub>	f <sup>*</sup> σ <sub>90d</sub>	η
[-]	[-]	[kN]	[cm <sup>2</sup> ]	[-]	[N/mm <sup>2</sup> ]	[N/mm <sup>2</sup> ]	[-]
2	0.65	5.14	192.0	1.00	0.27	1.25	0.21
10	0.65	5.56	192.0	1.00	0.29	1.25	0.23
14	0.65	5.73	192.0	1.00	0.30	1.25	0.24
16	0.65	5.56	192.0	1.00	0.29	1.25	0.23
18	0.65	5.14	192.0	1.00	0.27	1.25	0.21

f<sup>\*</sup>σ<sub>90d</sub>: k<sub>90</sub> \* f<sub>σ90d</sub>**Nachweise (GZG)**

Nachweise im Grenzzustand der Gebrauchstauglichkeit nach DIN EN 1995-1-1

**Verformungen**

Abs. 7.2

Nachweise der Verformungen

x	Ek	Norm	w <sub>vorh</sub>	w <sub>zul</sub>	η
[m]			[mm]	[mm]	[-]
(L= 0.75 m, NKL 3, k <sub>def</sub> = 2.00)					
0.00	27	w <sub>inat</sub>	2.7	1/150=	5.0 0.55
0.00	29	w <sub>net,fin</sub>	2.8	1/150=	5.0 0.56
(L= 1.50 m, NKL 3, k <sub>def</sub> = 2.00)					
0.70	28	w <sub>inat</sub>	0.8	1/300=	5.0 0.17
0.70	30	w <sub>net,fin</sub>	0.8	1/300=	5.0 0.16
(L= 1.50 m, NKL 3, k <sub>def</sub> = 2.00)					
0.75	27	w <sub>inat</sub>	0.8	1/300=	5.0 0.16
0.73	29	w <sub>net,fin</sub>	0.8	1/300=	5.0 0.16
(L= 1.50 m, NKL 3, k <sub>def</sub> = 2.00)					
0.75	28	w <sub>inat</sub>	0.8	1/300=	5.0 0.16
0.77	30	w <sub>net,fin</sub>	0.8	1/300=	5.0 0.16
(L= 1.50 m, NKL 3, k <sub>def</sub> = 2.00)					
0.80	27	w <sub>inat</sub>	0.8	1/300=	5.0 0.17
0.80	29	w <sub>net,fin</sub>	0.8	1/300=	5.0 0.16

Kragarm rechts

(L= 0.75 m, NKL 3, k<sub>def</sub> = 2.00)0.75 28 w<sub>inat</sub> 2.7 1/150=0.75 30 w<sub>net,fin</sub> 2.8 1/150=**Auflagerkräfte**

Char. Auflagerkräfte

Aufl.

	x	Ek	Norm	w <sub>vorh</sub>	w <sub>zul</sub>	η
	[m]			[mm]	[mm]	[-]
F <sub>z,k,min</sub>						
A	0.40	0.40	0.40	0.40	0.40	0.40
B	0.35	0.35	0.35	0.35	0.35	0.35
C	0.39	0.39	0.39	0.39	0.39	0.39
D	0.35	0.35	0.35	0.35	0.35	0.35
E	0.40	0.40	0.40	0.40	0.40	0.40
F <sub>z,k,max</sub>						
A	-0.15	-0.15	-0.15	-0.15	-0.15	-0.15
B	-0.82	-0.82	-0.82	-0.82	-0.82	-0.82
C	-0.59	-0.59	-0.59	-0.59	-0.59	-0.59
D	-0.82	-0.82	-0.82	-0.82	-0.82	-0.82
E	-0.15	-0.15	-0.15	-0.15	-0.15	-0.15

**Zusammenfassung****Nachweise (GZT)**

Nachweise im Grenzzustand der Tragfähigkeit

	x	η
	[m]	[-]
Feld/Auflager		
Biegung	Kragarm rechts	0.00 OK
Querkraft	Feld 2	1.35 OK
Auflagerpressung	Auflager C	OK 0.24

Nachweise im Grenzzust. der Gebrauchstauglichkeit

	x	η
	[m]	[-]
Feld		
Anfangsdurchbieg.	Kragarm links	0.00 OK
gesamte Enddurchb.	Kragarm links	0.00 OK

# HL1 Handlauf Geländer, Flachstahl FL 60x6,0 mm; S235

maximaler Abstand der Geländerpfosten:  $\leq 1,25\text{m}$

- statisches System und Belastung

siehe EDV

**Streckenlasten [kN/m]**  
horizontal

	G k	Q k
siehe Lastannahmen		1,00
Summe	0,00	1,00
G k + Q k	1,00	kN/m

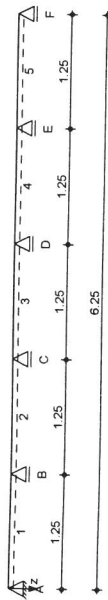
- Schnittkräfte und Bemessung siehe EDV folgende Seiten
- Ergebnis der EDV-Berechnung

$$\begin{aligned} \max \eta_{\sigma} &= \underline{\underline{0,33}} < \underline{\underline{1,0}} \\ \max \eta_f &= \underline{\underline{0,08}} < \underline{\underline{1,0}} \end{aligned}$$

Pos. HL1

## System

M 1:55

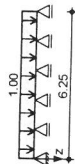


Abmessungen Mat./Querschnitt	Feld	l [m]	Lage [°]	Achsen	Material	Profil
	1-5	1.25	0.0	fest	S 235	FL 60x6
Auflager	Lager	x [m]	b [cm]		Art	K <sub>r,z</sub> [kNm/rad]
	A	0.00	2.0			fest
	B	1.25	2.0			fest
	C	2.50	2.0			fest
	D	3.75	2.0			fest
	E	5.00	2.0			fest
	F	6.25	2.0			fest

## Belastungen

### Grafik

Einwirkungen



## Streckenlasten

in z-Richtung

	[m]	[m]	[kN/m]	[kN/m]	[cm]
1	0.00	6.25	1.00	1.00	0.0

### Kombinationen

Kombinationsbildung nach DIN EN 1990

$\mathcal{E}K$	$\Sigma \left( \psi^* \psi + EW \right)$
1	$1.50^*Qk.N$ (2, 4)
2	$1.50^*Qk.N$ (1, 3, 5)
3	$1.50^*Qk.N$ (1, 2, 4)
4	$1.50^*Qk.N$ (3, 5)
5	$1.50^*Qk.N$ (2, 3, 5)
6	$1.50^*Qk.N$ (1, 4)
7	$1.50^*Qk.N$ (1, 3, 4)
8	$1.50^*Qk.N$ (2, 5)
9	$1.50^*Qk.N$

ständig/vorüberq.

### Nachweise (GZT)

Quersch.-klasse

Qualität. - Kids  
c/t-Verhältnis

Nachweise im Grenzzustand der Tragfähigkeit nach DIN EN 1993  
Es wurde keine Querschnittsklasse ermittelt.

Mat./Querschnitt

## Querschnitt

Querschnitt	Feld	QS	Profil	$W_y$ $W_z$	$S_y$ $S_z$	$I_y$ $I_z$	$I_t$
				[cm <sup>3</sup> ]	[cm <sup>3</sup> ]	[cm <sup>4</sup> ]	[cm <sup>4</sup> ]
	1-5	1	FL 60x6	3.6 0.4	2.7 0.3	10.8 0.1	0.4

## Material

Material	$f_{yk}$ [N/mm <sup>2</sup> ]	$E$ [N/mm <sup>2</sup> ]
S 235	235.00	210000.00

1:5



FL 60x6

Bem.-schnittgrößenTabelle

## Bemessungsschnittgrößen

# Schnittgrößen (Umhüllende)

	x	$M_{y,d,min}$ [kNm]	Ek	$M_{y,d,max}$ [kNm]	Ek	$V_{z,d,min}$ [kN]	Ek	$V_{z,d,max}$ [kN]	Ek
Feld 1	0.00	0.00	1	0.00	2	-0.10	1	0.84	2
	0.60	-0.06	1	0.23	2	-0.18	3	0.03	4
	1.25	-0.28	3	0.03	4	-1.28	3	0.03	4
Feld 2	0.00	-0.28	3	0.03	4	-0.13	4	1.12	3
	0.63	-0.11	2	0.19	1	-0.16	5	0.19	6
	1.25	-0.26	5	0.08	6	-1.08	5	0.19	6
Feld 3	0.00	-0.26	5	0.08	6	-0.17	6	1.11	5
	0.67	-0.09	1	0.20	2	-0.24	7	0.17	8
	1.25	-0.26	7	0.08	8	-1.11	7	0.17	8
Feld 4	0.00	-0.26	7	0.08	8	-0.19	8	1.08	7
	0.62	-0.11	2	0.19	1	-0.19	8	0.16	7
	1.25	-0.28	9	0.03	10	-1.12	9	0.13	10
Feld 5	0.00	-0.28	9	0.03	10	-0.03	10	1.16	9
	0.65	-0.06	1	0.23	2	-0.03	10	0.18	9
	1.25	0.00	1	0.00	2	-0.84	2	0.10	1

Material- und Querschnittswerte nach DIN EN 1993



**Nachweis E-E**  
 Abs. 6.2

Nachweis der Biege- und Querkrafttragfähigkeit		Position		η	
x	Ek	QS/ Pkt	M <sub>y,d</sub>	V <sub>z,d</sub>	τ <sub>d</sub>
[m]			[kNm]	[kN]	[N/mm <sup>2</sup> ]
(L = 1.25 m)					
0.00	2	1/-	0.00	0.84	0.00
					3.50
					4.04
0.56					
0.56	2	1/-	0.23	0.00	65.15
					0.00
					65.15
0.60					
0.60	2	1/-	0.23	-0.06	64.85
					0.24
					64.85
0.72					
0.72	2	1/-	0.21	-0.24	59.65
					1.02
					59.66
1.25					
1.25	3	1/-	-0.28	-1.16	77.88
					4.84
					78.08
(L = 1.25 m)					
0.00	3	1/-	-0.28	1.12	77.88
					4.67
					78.06
0.61					
0.61	1	1/-	0.18	0.05	51.25
					0.20
					51.25
0.63					
0.63	1	1/-	0.19	0.01	51.44
					0.05
					51.44
0.64					
0.64	1	1/-	0.19	0.00	51.45
					0.00
					51.45
1.25					
1.25	5	1/-	-0.26	-1.08	72.42
					4.62
					72.62
(L = 1.25 m)					
0.00	5	1/-	-0.26	1.11	72.42
					4.62
					72.62
0.63					
0.63	2	1/-	0.20	0.00	55.68
					0.00
					55.68
1.25					
1.25	7	1/-	-0.26	-1.11	72.42
					4.62
					72.62
(L = 1.25 m)					
0.00	7	1/-	-0.26	1.08	72.42
					4.50
					72.61
0.61					
0.61	1	1/-	0.19	0.00	51.45
					0.00
					51.45
0.62					
0.62	1	1/-	0.19	-0.01	51.44
					0.05

Nachweis der Biege- und Querkrafttragfähigkeit		Position		η	
x	Ek	QS/ Pkt	M <sub>y,d</sub>	V <sub>z,d</sub>	τ <sub>d</sub>
[m]			[kNm]	[kN]	[N/mm <sup>2</sup> ]
(L = 1.25 m)					
0.00	9	1/-	-0.28	1.16	77.88
					4.84
					78.08
0.53					
0.53	2	1/-	0.21	0.24	59.65
					1.02
					59.66
0.65					
0.65	2	1/-	0.23	0.06	64.85
					0.24
					64.85
0.69					
0.69	2	1/-	0.23	0.00	65.15
					0.00
					65.15
1.25					
1.25	2	1/-	0.00	-0.84	0.00
					3.50
					4.04

**Nachweise (GZG)**

Nachweise im Grenzzustand der Gebrauchtauglichkeit nach DIN EN 1993

**Verformungsnachweis**

max. Verformungen		w <sub>z</sub>		w <sub>res</sub>		w <sub>zul</sub>		η	
x	Ek	[m]		[mm]		[mm]		[mm]	[-]
Feld 1		0.60	11	0.32	0.32	1/300 =	4.17	0.08	
Feld 2		0.63	12	0.23	0.23	1/300 =	4.17	0.06	
Feld 3		0.63	11	0.26	0.26	1/300 =	4.17	0.06	
Feld 4		0.62	12	0.23	0.23	1/300 =	4.17	0.06	
Feld 5		0.65	11	0.32	0.32	1/300 =	4.17	0.08	

**Auflagerkräfte**

Charakteristische Auflagerkräfte

Char. Auflagerkr.

Aufl.		F <sub>z, k, min</sub>		F <sub>z, k, max</sub>	
		[kN]		[kN]	
Einw. Qk.N					
A		-0.07		0.56	
B		-0.11		1.52	
C		-0.24		1.46	
D		-0.24		1.46	
E		-0.11		1.52	
F		-0.07		0.56	

Nachweis	Feld	x [m]	$\eta$ [-]
Nachweis E-E	Feld 1	1.25	OK 0.33
Nachweise im Grenzzust. der Gebrauchstauglichkeit			
Nachweis	Feld	x	$\eta$
Verformung	Feld 1	0.60	OK 0.08

## HL2 Geländerpfosten, Flachstahl 2x 70,0x8,0 mm; S235

$$h = 0,95\text{m} + 0,15\text{m} + 0,10\text{m} = 1,20\text{m}$$

- statisches System und Belastung

siehe EDV, Pfostenabstand  $\leq 1,25\text{m}$

- Lastübernahme aus Pos. HL1, Auflager B:  $H = 1,52\text{kN}$
- Füllstabgeländer ca.  $g_v = 0,40\text{ kN/m} \cdot 1,25\text{m} = 0,50\text{kN}$

- Schnittkräfte und Bemessung siehe EDV folgende Seiten

- Ergebnis der EDV-Berechnung

$$\begin{aligned} \max \eta_{\sigma} &= \underline{\underline{0,89 < 1,0}} \\ \max \eta_{\sigma} &= \underline{\underline{0,57 < 1,0}} \end{aligned}$$

- Lastweiterleitung

Auflagerkräfte [kN]

	A [kN]	H [kN]	M <sub>y</sub> [kNm]
G <sub>k,1</sub> =			
Q <sub>k,1</sub> =	0,61	1,52	-1,82
gesamt	0,61	1,52	-1,82
design	0,92	2,28	-2,73

Systembedingt wird das Auflager mit dem Schraubenabstand von 10cm modelliert.

Befestigung am Fußpunkt des Geländerpfostens 2x M12 8.8  
je Schraube:

$$\max B_d = 2,28 + 2,73 / 0,10 = 29,58\text{ kN}$$

gewählt: M12- 8.8;  $\underline{\underline{V_{a,R,d} = 49,3\text{kN} > 29,58\text{ kN} = V_{a,d}}}$

### Pos. HL2

System  
 Stahlstütze, DIN EN 1993-1-1:2010-12

M 1:100



Abmessungen  
 Mat./Querschnitt

1	1.20	S 235	FL 70x16
---	------	-------	----------

Auflager

Lager	x	K <sub>x,z</sub>	K <sub>x,y</sub>	K <sub>y,z</sub>	K <sub>z,z</sub>	Profil
A	0.00	fest	fest	fest	fest	FL 70x16

Knicklängen

L<sub>cr,y</sub> = 2.40 m

L<sub>cr,z</sub> = 2.40 m

L<sub>cr,t,r</sub> = 2.40 m

unten: starr, oben: frei

Einwirkungen

Einwirkungen nach DIN EN 1990:2010-12

Gk

Eigenlasten

Qk.N

Ständige Einwirkungen

Nutzlasten

Kategorie A - Wohn- und Aufenthaltsräume

Belastungen auf das System

Belastungsgrafiken (einwirkungsbezogen)

Einwirkungen

Gk

Qk

Gk

Qk.N

1.52

0.50

0.50

0.50

0.50

0.50

0.50

0.50

0.50

0.50

0.50

0.50

0.50

0.50

0.50

0.50

0.50

0.50

Streckenlasten

in x-Richtung

Einw. Gk

Einzellasten

in z-Richtung

Einw. Gk

Punktlasten

in z-Richtung

Einw. Qk.N

Kombinationen

Kombinationsbildung nach DIN EN 1990

Darstellung der maßgebenden Kombinationen

Geriplan - Ingenieurbüro für Bauplanung Dipl.-Ing. J. Gerisch

ständig/vorüberg.

häufig

Bem.-Schnittgrößen

Bemessungsschnittgrößen Theorie I. Ordnung

Tabellen

Schnittgrößen (je Kombination)

Ges.

Komb. 1

Komb. 2

Mat./Querschnitt

Material

Querschnitt

Grafik

M 1:15

Querschnittsgrafik

FL 70x16

Querschnittsgrafik



Nachweise (GZT)

Quersch.-klasse

c/t-Verhältnis

Nachweis E-E

Abs. 6.2

Nachweise im Grenzzustand der Tragfähigkeit nach DIN EN 1993

Es wurde keine Querschnittsklasse ermittelt.

Nachweis der Biege- und Querkrafttragfähigkeit

x	Ek	N <sub>x,d</sub>	M <sub>y,d</sub>	M <sub>z,d</sub>	V <sub>y,d</sub>	V <sub>z,d</sub>	σ <sub>y,d</sub>	τ <sub>d</sub>	η
[m]	[kN]	[kN]	[kNm]	[kNm]	[kN]	[kN]	[N/mm <sup>2</sup> ]	[N/mm <sup>2</sup> ]	[N/mm <sup>2</sup> ]
1.20	2	-0.68	0.00	0.00	2.28	0.60	0.60	0.02	0.02
0.00	2	-0.82	-2.74	0.00	0.00	3.58	0.00	0.00	0.89*
									210.15

Geriplan - Ingenieurbüro für Bauplanung Dipl.-Ing. J. Gerisch



## HL2a Geländerpfosten Brücke 3, Flachstahl 2x 70,0x8,0 mm; S235

$h=0,95\text{m}$

- statisches System und Belastung

siehe EDV, Pfostenabstand  $\leq 1,25\text{m}$

- Lastübernahme aus Pos. HL1, Auflager B:  $H=1,52\text{kN}$
- Füllstabgeländer ca.  $gv = 0,40 \text{ kN/m} \cdot 1,25\text{m} = 0,50\text{kN}$

- Schnittkräfte und Bemessung siehe EDV folgende Seiten
- Ergebnis der EDV-Berechnung

$$\begin{aligned} \max \eta_{\sigma} &= \underline{\underline{0,71 < 1,0}} \\ \max \eta_{\sigma} &= \underline{\underline{0,36 < 1,0}} \end{aligned}$$

- Lastweiterleitung

Auflagerkräfte [kN]

	A [kN]	H [kN]	M <sub>y</sub> [kNm]
G <sub>k,1</sub> =			
Q <sub>k,1</sub> =	0,58	1,52	-1,44
gesamt	0,58	1,52	-1,44
design	0,87	2,28	-2,16

Pos. HL2a

System

M 1:100

Stahlstütze, DIN EN 1993-1-1:2010-12



Abmessungen  
Mat./Querschnitt

l	Material	Profil
0.95	S 235	FL 70x16

Auflager

Lager	x	K <sub>x,z</sub>	K <sub>x,y</sub>	K <sub>y,y</sub>	K <sub>z,z</sub>	Gabell.
A	0.00	fest	fest	fest	fest	fest

Knicklängen

L<sub>cr,y</sub> = 1.90 m  
L<sub>cr,z</sub> = 1.90 m  
L<sub>cr,x</sub> = 1.90 m

Kipplänge  
Lagerung

Einwirkungen

Einwirkungen nach DIN EN 1990:2010-12

Gk

Eigenlasten

Qk.N

Nutzlasten

Kategorie A - Wohn- und Aufenthaltsräume

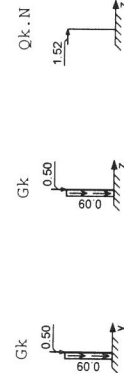
Belastungen

Belastungen auf das System

Grafik

Belastungsgrafiken (einwirkungsbezogen)

Einwirkungen



Streckenlasten

in x-Richtung

Einw. Gk

Komm.

a	S	q <sub>0</sub>
0.00	0.95	0.09

Punktlasten

in x-Richtung

Einw. Gk

Komm.

a	F <sub>x</sub>	e <sub>y</sub>	e <sub>z</sub>
0.95	0.50	0.0	0.0

Punktlasten

in z-Richtung

Einw. Qk.N

Komm.

a	F <sub>z</sub>
0.95	1.52

Kombinationen

Kombinationsbildung nach DIN EN 1990  
Darstellung der maßgebenden Kombinationen

ständig/vorüberg.

Ek	Σ (Y*ψ*EW)
1	1.35*Gk
2	1.35*Gk
6	1.00*Gk

häufig

Bem.-schnittgrößen

Bemessungsschnittgrößen Theorie I. Ordnung

Tabelle

Schnittgrößen (je Kombination)

Ges.	x	N <sub>d</sub>	M <sub>y,d</sub>	V <sub>z,d</sub>
	[m]	[kN]	[kNm]	[kN]
Komb. 1	0.95	-0.68*	0.00	0.00
	0.00	-0.79*	0.00*	0.00*
Komb. 2	0.95	-0.68*	0.00*	0.00*
	0.00	-0.79*	-2.17*	2.28*

Mat./Querschnitt

Material- und Querschnittswerte nach DIN EN 1993

Material	f <sub>yk</sub>	E
S 235	[N/mm <sup>2</sup> ]	[N/mm <sup>2</sup> ]
	235	210000

Querschnitt

Profil	A	I <sub>y</sub>	I <sub>z</sub>
FL 70x16	[cm <sup>2</sup> ]	[cm <sup>4</sup> ]	[cm <sup>4</sup> ]
	11.2	45.7	2.4

Grafik

Querschnittsgrafik

M 1:15



Nachweise (GZT)

Quersch.-klasse

c/t-Verhältnis

Nachweise im Grenzzustand der Tragfähigkeit nach DIN EN 1993  
Es wurde keine Querschnittsklasse ermittelt.

Nachweis E-E

Abs. 6.2

Nachweis der Biege- und Querkrafttragfähigkeit

x	Ek	N <sub>k,d</sub>	M <sub>y,d</sub>	M <sub>z,d</sub>	V <sub>z,d</sub>	V <sub>y,d</sub>	σ <sub>d</sub>	τ <sub>d</sub>	η
	[m]	[kN]	[kNm]	[kNm]	[kN]	[kN]	[N/mm <sup>2</sup> ]	[N/mm <sup>2</sup> ]	[-]
0.95	2	-0.68	0.00	0.00	2.28	0.60	0.60	3.05	0.02
0.00	2	-0.79	-2.17	0.00	2.28	0.00	0.00	0.00	0.71*
								166.51	

Proj. Bez. 18-37 Mockritzer Bad

Blatt

3

mb BauStatik S404.de 2018.031

Position

HL2a

18-37 Mockritzer Bad

Nachweise (GZG)

Nachweise im Grenzzustand der Gebrauchstauglichkeit nach  
DIN EN 1993

Verformungsnachweis

max. Verformungen		$w_z$	$w_{res}$	$w_{zul}$	$\eta$
	$x$	[mm]	[mm]	[mm]	[-]
Geschoss 1	0.95	6	2.26	6.33	0.36

Auflagerkräfte

Charakteristische und Bemessungsauf Lagerkräfte

Char. Auflagerkr.

Aufl.	$F_{v,k}$	$F_{H,k}$	$M_{y,k}$	$F_{Hy,k}$	$M_{z,k}$
	[kN]	[kN]	[kNm]	[kN]	[kNm]
Einw. Gk	0.58	0.00	0.00	0.00	0.00
Einw. Qk,N	0.00	1.52	-1.44	0.00	0.00

Bem.-auflagerkräfte

Aufl.	$F_{v,d}$	$F_{H,d}$	$M_{y,d}$	$F_{Hy,d}$	$M_{z,d}$
	[kN]	[kN]	[kNm]	[kN]	[kNm]
Komb. 1	0.79	0.00	0.00	0.00	0.00
Komb. 2	0.79	2.28	-2.17	0.00	0.00
Komb. 3	0.58	0.00	0.00	0.00	0.00
Komb. 4	0.58	2.28	-2.17	0.00	0.00

Zusammenfassung

Zusammenfassung der Nachweise

Nachweise (GZT)

Nachweise im Grenzzustand der Tragfähigkeit

Nachweis	$x$	$\eta$
	[m]	[-]
Nachweis E-E	0.00	OK 0.71

Nachweise (GZG)

Nachweise im Grenzzust. der Gebrauchstauglichkeit

Nachweis	$x$	$\eta$
	[m]	[-]
Verformungen	0.95	OK 0.36



### **AP01 Fußpunkt Geländerpfosten Brücke 3**

Zwischenstück 70x15mm auf Fußplatte; umlaufende Schweißnaht  $a_w = 6,0\text{mm}$  (Kehlnaht)  
 $\max \eta_{\sigma} = \underline{\underline{0,71 < 1,0}}$

**Befestigung am Fußpunkt des Geländerpfostens**  
**Mindestplattendicke: 12,0cm**

je Auflager 2x Injektionsanker  
**Fischer Injektionssystem „Superbond“**  
**FIS A M12x120(8.8);  $t = 90\text{mm}$**   
Betongüte C35/45  
Randabstände: siehe EDV

Ergebnis der EDV-Berechnung  
 $\max \eta_{\sigma} = \underline{\underline{0,74 < 1,0}}$

**alternativ:**  
**Mindestplattendicke: 22,0cm**

**Anschweißplatte „PEIKKO“ SBKL 150x150mm** mit 4x Bolzen 12x150mm  
minimaler Randabstand der Bolzen: 50mm  
 $\max \eta_{\sigma} = \underline{\underline{0,87 < 1,0}}$

### **AP01 Fußpunkt Geländerpfosten Brücke 3**

Zwischenstück 70x15mm auf Fußplatte; umlaufende Schweißnaht  $a_w = 6,0\text{mm}$  (Kehlnaht)  
 $\max \eta_\sigma = \underline{\underline{0,71 < 1,0}}$

**Befestigung am Fußpunkt des Geländerpfostens**  
**Mindestplattendicke: 12,0cm**

je Auflager 2x Injektionsanker  
**Fischer Injektionssystem „Superbond“**  
**FIS A M12x120(8.8); t= 90mm**  
Betongüte C35/45  
Randabstände: siehe EDV

Ergebnis der EDV-Berechnung  
 $\max \eta_\sigma = \underline{\underline{0,74 < 1,0}}$

**alternativ:**  
**Mindestplattendicke: 22,0cm**

**Anschweißplatte „PEIKKO“ SBKL 150x150mm** mit 4x Bolzen 12x150mm  
minimaler Randabstand der Bolzen: 50mm  
 $\max \eta_\sigma = \underline{\underline{0,87 < 1,0}}$

Projekt: 18-37 Brücken Mockritzer Bad	DETAILS	
Bauteil: Detail-Stahl	Detailnachweise	kN, m, sec

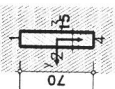
POS. HL2-1: Schweißnahtanschluss

## POS. HL2-1: SCHWEISSNAHTANSCHLUSS

Schweißnahtanschluss  
EC 3-1-8 (12.10), Nr. Deutschland

4H-EC3SA Version: 10/2014-2d

H88Stab 1



Material  
Stahlgüte S235

Material sicherheitsbeiwerte

Beanspruchbarkeit von Querschnitten  $\gamma_{M0} = 1.00$

Beanspruchbarkeit von Schrauben, Schweißnähten, Blechen auf Lochleibung  $\gamma_{M2} = 1.25$

Geometrie

Profilparameter (Flachstahl):

Höhe  $h = 70.0$  mm, Dicke  $t = 15.0$  mm

Platte: Dicke  $t_p = 35.0$  mm

Schweißnähte als Kehlnaht (voll ausgefüllt):

$a_{w1} = 6.0$  mm,  $l_{w1} = 15.0$  mm  $a_{w2} = 6.0$  mm,  $l_{w2} = 70.0$  mm  $a_{w3} = 6.0$  mm,  $l_{w3} = 70.0$  mm

$a_{w4} = 6.0$  mm,  $l_{w4} = 15.0$  mm

Tragfähigkeit

Schweißnahtnachweis mit dem richtungsbezogenen Verfahren

Die Querkraftaufteilung erfolgt über die Steifigkeiten der Einzelnähte.

Schnittgrößen (Vorzeichenregel der Statik)

Lk 1:  $M_{y,Ed} = 2.20$  kNm,  $V_{z,Ed} = 2.30$  kN

Lk 1:

### Nachweis der Schweißnähte

Naht 1: wirksame Nahtlänge  $l_{eff} = 15.0$  mm  $< 30$  mm  $\Rightarrow$  statisch nicht wirksam !!

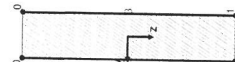
Naht 1: wirksame Nahtlänge  $l_{eff} = 15.0$  mm  $< 6a = 36.0$  mm  $\Rightarrow$  statisch nicht wirksam !!

Naht 4: wirksame Nahtlänge  $l_{eff} = 15.0$  mm  $< 30$  mm  $\Rightarrow$  statisch nicht wirksam !!

Naht 4: wirksame Nahtlänge  $l_{eff} = 15.0$  mm  $< 6a = 36.0$  mm  $\Rightarrow$  statisch nicht wirksam !!

Berechnungsquerschnitt:

Naht 2:  $a_w = 6.0$  mm  $l_w = 70.0$  mm  
Naht 3:  $a_w = 6.0$  mm  $l_w = 70.0$  mm



Ullersdorfer Platz 2, 01324 Dresden, Tel.: 0351-2630376, Fax: 0351-2630378

Projekt: 18-37 Brücken Mockritzer Bad	DETAILS	
Bauteil: Detail-Stahl	Detailnachweise	kN, m, sec

POS. HL2-1: Schweißnahtanschluss

Bemessungsgrößen bezogen auf den Schwerpunkt des Profils:

$M_{y,Ed} = 2.20$  kNm,  $V_{z,Ed} = 2.30$  kN

Querschnittswerte bezogen auf den Schwerpunkt des Linienquerschnitts:

$\Sigma A_w = 8.40$  cm<sup>2</sup>,  $\Sigma l_w = 14.0$  cm

$l_{w,y} = 34.30$  cm<sup>4</sup>,  $l_{w,z} = 4.73$  cm<sup>4</sup>,  $\Delta y_w = 0.0$  mm,  $\Delta z_w = 0.0$  mm

Schnittgrößenverteilung:

Naht 2:  $M_{y,w} = 1.10$  kNm  $V_{z,w} = 1.15$  kN

Naht 3:  $M_{y,w} = 1.10$  kNm  $V_{z,w} = 1.15$  kN

Nachweise in den Endpunkten der Einzelnähte:

Naht 2, Pkt. 0:  $\sigma_{w,x} = -224.49$  N/mm<sup>2</sup>  $\tau_{w,z} = 2.74$  N/mm<sup>2</sup>  $\Rightarrow U_w = 0.882 < 1$  ok.

Naht 2, Pkt. 1:  $\sigma_{w,x} = -224.49$  N/mm<sup>2</sup>  $\tau_{w,z} = 2.74$  N/mm<sup>2</sup>  $\Rightarrow U_w = 0.882 < 1$  ok.

Naht 3, Pkt. 0:  $\sigma_{w,x} = -224.49$  N/mm<sup>2</sup>  $\tau_{w,z} = 2.74$  N/mm<sup>2</sup>  $\Rightarrow U_w = 0.882 < 1$  ok.

Naht 3, Pkt. 1:  $\sigma_{w,x} = -224.49$  N/mm<sup>2</sup>  $\tau_{w,z} = 2.74$  N/mm<sup>2</sup>  $\Rightarrow U_w = 0.882 < 1$  ok.

Ergebnis:

Naht 2, Pkt. 0:  $\sigma_{w,x} = -224.49$  N/mm<sup>2</sup>  $\tau_{w,z} = 2.74$  N/mm<sup>2</sup>

Max:  $\sigma_{1,w,Ed} = 31.75$  kN/cm<sup>2</sup>  $< f_{1,w,Rd} = 36.00$  kN/cm<sup>2</sup>

$\sigma_{2,w,Ed} = 15.87$  kN/cm<sup>2</sup>  $< f_{2,w,Rd} = 25.92$  kN/cm<sup>2</sup>  $\Rightarrow U_w = 0.882 < 1$  ok.

### Endergebnis

Maximale Ausnutzung:

Tragfähigkeit max  $U = 0.882 < 1$  ok.

Nachweis erbracht

### Vorschriften

DIN EN 1990, Eurocode 0: Grundlagen der Tragwerksplanung;

Deutsche Fassung EN 1990:2002 + A1:2005 + A1:2005/AC:2010, Ausgabe Dezember 2010

DIN EN 1990/NA, Nationaler Anhang zur DIN EN 1990, Ausgabe Dezember 2010

DIN EN 1993-1-1, Eurocode 3: Bemessung und Konstruktion von Stahlbauten -

Teil 1-1: Allgemeine Bemessungsregeln und Regeln für den Hochbau;

Deutsche Fassung EN 1993-1-1:2005 + AC:2009, Ausgabe Dezember 2010

DIN EN 1993-1-1/NA, Nationaler Anhang zur DIN EN 1993-1-1, Ausgabe Dezember 2010

DIN EN 1993-1-8, Eurocode 3: Bemessung und Konstruktion von Stahlbauten -

Teil 1-8: Bemessung von Anschlüssen;

Deutsche Fassung EN 1993-1-8:2005 + AC:2009, Ausgabe Dezember 2010

DIN EN 1993-1-8/NA, Nationaler Anhang zur DIN EN 1993-1-8, Ausgabe Dezember 2010



C-FIX 1.67.0.0  
Datenbankversion  
2018.1.23.12.1  
Datum  
15.04.2018

**fischer**  
innovative solutions

www.fischer.de

www.fischer.de

## Bemessungsgrundlagen

### Anker

Ankersystem  
Injektionsmörtel  
Befestigungselement  
Verankerungstiefe  
fischer Superbond-System  
FIS SB 390 S  
Ankerstange FIS A M 12 x 120 8.8, galvanisch verzinkter  
Stahl, Festigkeitsklasse 8.8  
90 mm

### Bemessungsdaten

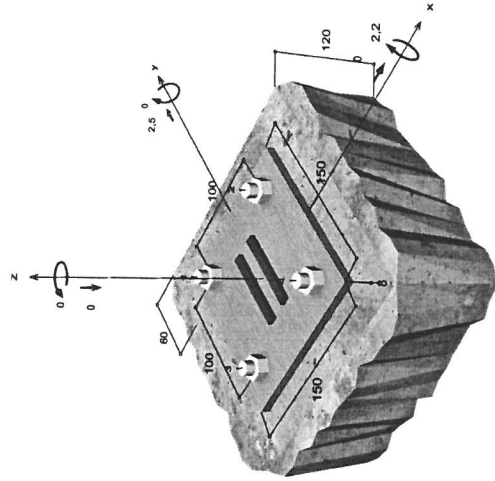
Ankerbemessung in Beton nach Europäischer Technischer  
Bewertung ETA-120258, Option 1,  
Ertellungsdatum 23.03.2015

### Geometrie / Lasten / Maßeinheiten

mm, kN, kNm

### Bemessungswert der Einwirkungen

(inkl. Teilsicherheitsbeiwert Last)



Nicht maßstabgetreu

Die Eingabewerte und die Bemessungsergebnisse sind zu kontrollieren und anhand gültiger Normen und Zulassungen auf Plausibilität zu prüfen.  
Bitte beachten Sie den Haftungsausschluss in den Lizenzbedingungen der Software.



C-FIX 1.67.0.0  
Datenbankversion  
2018.1.23.12.1  
Datum  
15.04.2018

**fischer**  
innovative solutions

## Eingabedaten

Bemessungsverfahren  
Verankerungsgrund  
Belonzustand  
Bewehrung  
Bohrverfahren  
Montageart  
Ringspalt  
Belastungsart  
Ankerplattenposition  
Ankerplattenmaße  
Profiltyp  
ETAG 001, Technical Report TR029  
Normalbeton, C35/45, EN 206  
Gerissen, Trockenes Bohrloch  
24 °C Langzeittemperatur, 40 °C Kurzzeittemperatur  
Keine oder normale Bewehrung, Ohne Randbewehrung, Mit  
Spaltbewehrung  
Hammerbohren  
Durchsteckmontage  
Ringspalt verfüllt  
Statisch oder quasi-statisch  
Bündig montierte Ankerplatte  
150 mm x 150 mm x 8 mm  
Benutzerdefiniertes Profil

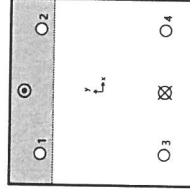
## Bemessungslasten \*)

#	N <sub>sd</sub> kN	V <sub>sd,x</sub> kN	V <sub>sd,y</sub> kN	M <sub>sd,x</sub> kNm	M <sub>sd,y</sub> kNm	M <sub>tsd</sub> kNm	Belastungsart
1	0,00	0,00	2,50	-2,20	0,00	0,00	Statisch oder quasi-statisch

\*) Incl. Teilsicherheitsbeiwert Last

## Resultierende Ankerkräfte

Anker-Nr.	Zugkraft kN	Querkraft kN	Querkraft x kN	Querkraft y kN
1	0,00	0,63	0,00	0,63
2	0,00	0,63	0,00	0,63
3	9,71	0,63	0,00	0,63
4	9,71	0,63	0,00	0,63



Max. Betondehnung :  
Max. Betondruckspannung :  
Resultierende Zugkraft :  
Resultierende Druckkraft :

0,22 ‰  
7,3 N/mm<sup>2</sup>  
19,43 kN, XY Position ( 0 / -50 )  
19,43 kN, XY Position ( 0 / 63 )

## Widerstand gegenüber Zugbeanspruchungen

Nachweis	Last kN	Tragfähigkeit kN	Ausnutzung f <sub>Rk</sub> %
Stahlversagen *	9,71	45,33	21,4
Kombiniertes Versagen durch Herausziehen und Betonabbruch	19,43	26,76	72,6
Betonabbruch	19,43	37,67	51,6

\* Ungünstigster Anker

Die Eingabewerte und die Bemessungsergebnisse sind zu kontrollieren und anhand gültiger Normen und Zulassungen auf Plausibilität zu prüfen.  
Bitte beachten Sie den Haftungsausschluss in den Lizenzbedingungen der Software.



#### Stahlversagen

$$N_{Sd} \leq \frac{N_{Rk,s}}{\gamma_{Ms}} \quad (N_{Ed,s})$$



N <sub>Rk,s</sub> kN	Y <sub>Me</sub>	N <sub>Ed,s</sub> kN	N <sub>Sd</sub> kN	β <sub>N,s</sub> %
68,00	1,50	45,33	9,71	21,4

Anker-Nr.	β <sub>N,s</sub> %	Gruppe Nr.	Maßgebendes Beta
1	0,0	1	β <sub>N,s,1</sub>
2	0,0	2	β <sub>N,s,2</sub>
3	21,4	3	β <sub>N,s,3</sub>
4	21,4	4	β <sub>N,s,4</sub>

#### Kombiniertes Versagen durch Herausziehen und Betonausbruch

$$N_{Sd} \leq \frac{N_{Rk,p}}{\gamma_{Mp}} \quad (N_{Ed,p})$$



$$N_{Rk,p} = N_{Rk,p}^0 \cdot \frac{A_{p,N}}{A_{p,N}^0} \cdot \Psi_{s,Np} \cdot \Psi_{g,Np} \cdot \Psi_{ec,Np} \cdot \Psi_{rc,Np}$$

Gl. (5.2)

$$N_{Rk,p} = 27,23 \text{ kN} \cdot \frac{99,900 \text{ mm}^2}{72,900 \text{ mm}^2} \cdot 1,000 \cdot 1,076 \cdot 1,000 \cdot 1,000 = 40,13 \text{ kN}$$

$$N_{Rk,p}^0 = \pi \cdot d \cdot h_{ef} \cdot f_{Rk} = \pi \cdot 12 \text{ mm} \cdot 90 \text{ mm} \cdot 8,0 \text{ N/mm}^2 = 27,23 \text{ kN}$$

Gl. (5.2a)

$$s_{cr,Np} = \min \left( 20 \cdot d \cdot \left( \frac{f_{Rk,act}}{f_{t,5}} \right)^{0,5} ; 3 \cdot h_{ef} \right)$$

Gl. (5.2b)

$$s_{cr,Np} = \min \left( 20 \cdot 12 \text{ mm} \cdot \left( \frac{13,0 \text{ N/mm}^2}{7,5} \right)^{0,5} ; 3 \cdot 90 \text{ mm} \right) = 270 \text{ mm}$$

$$c_{cr,Np} = \frac{s_{cr,Np}}{2} = \frac{270 \text{ mm}}{2} = 135 \text{ mm}$$

Gl. (5.2d)

$$\Psi_{s,Np} = \min \left( 1 ; 0,7 + 0,3 \cdot \frac{c}{c_{cr,Np}} \right) = \min \left( 1 ; 0,7 + 0,3 \cdot \frac{160 \text{ mm}}{135 \text{ mm}} \right) = 1,000 \leq 1$$

Gl. (5.2e)

$$\Psi_{g,Np} = \Psi_{g,Np}^0 \cdot \sqrt{\frac{s}{s_{cr,Np}}} \cdot \left( \Psi_{g,Np}^0 - 1 \right) = 1,193 - \sqrt{\frac{100 \text{ mm}}{270 \text{ mm}}} \cdot (1,193 - 1) = 1,076 \geq 1$$

Gl. (5.2f)

$$\Psi_{g,Np}^0 = \sqrt{n - (\sqrt{n} - 1) \cdot \left( \frac{d \cdot f_{Rk}}{k \cdot \sqrt{h_{ef}} \cdot f_{t,cube}} \right)^{1,5}}$$

Gl. (5.2g)

$$\Psi_{g,Np}^0 = \sqrt{2 - (\sqrt{2} - 1) \cdot \left( \frac{12 \text{ mm} \cdot 8,0 \text{ N/mm}^2}{2,3 \cdot \sqrt{90 \text{ mm} \cdot 45,0 \text{ N/mm}^2}} \right)^{1,5}} = 1,193 \geq 1$$

Die Eingabewerte und die Bemessungsergebnisse sind zu kontrollieren und anhand gültiger Normen und Zulassungen auf Plausibilität zu prüfen.  
Bitte beachten Sie den Haftungsausschluss in den Lizenzbedingungen der Software.



$$\Psi_{ec,Np} = \frac{1}{1 + \frac{2s_{cr}}{s_{cr,Np}}} = \Psi_{ec,Np,cr} \cdot \Psi_{ec,Np} = 1,000 \cdot 1,000 = 1,000 \leq 1$$

Gl. (5.2h)

$$\Psi_{ec,Np,cr} = \frac{1}{1 + \frac{2 \cdot 0,0 \text{ mm}}{270 \text{ mm}}} = 1,000 \leq 1 \quad \Psi_{ec,Np} = \frac{1}{1 + \frac{2 \cdot 0,0 \text{ mm}}{270 \text{ mm}}} = 1,000 \leq 1$$

$$\Psi_{rc,Np} = 1,000$$

Gl. (5.2i)

N <sub>Rk,p</sub> kN	Y <sub>Me</sub>	N <sub>Ed,p</sub> kN	N <sub>Sd</sub> kN	β <sub>N,p</sub> %
40,13	1,50	26,76	19,43	72,6

Anker-Nr.	β <sub>N,p</sub> %	Gruppe Nr.	Maßgebendes Beta
3, 4	72,6	1	β <sub>N,p,1</sub>

#### Betonausbruch

$$N_{Sd} \leq \frac{N_{Rk,c}}{\gamma_{Mc}} \quad (N_{Ed,c})$$



$$N_{Rk,c} = N_{Rk,c}^0 \cdot \frac{A_{c,N}}{A_{c,N}^0} \cdot \Psi_{s,N} \cdot \Psi_{rc,N} \cdot \Psi_{ec,N}$$

Gl. (5.3)

$$N_{Rk,c} = 41,24 \text{ kN} \cdot \frac{99,900 \text{ mm}^2}{72,900 \text{ mm}^2} \cdot 1,000 \cdot 1,000 \cdot 1,000 = 56,51 \text{ kN}$$

$$N_{Rk,c}^0 = k_1 \cdot \sqrt{f_{t,cube}} \cdot h_{ef}^{1,5} = 7,2 \cdot \sqrt{45,0 \text{ N/mm}^2} \cdot (90 \text{ mm})^{1,5} = 41,24 \text{ kN}$$

Gl. (5.3a)

$$\Psi_{s,N} = \min \left( 1 ; 0,7 + 0,3 \cdot \frac{c}{c_{cr,N}} \right) = \min \left( 1 ; 0,7 + 0,3 \cdot \frac{160 \text{ mm}}{135 \text{ mm}} \right) = 1,000 \leq 1$$

Gl. (5.3b)

$$\Psi_{rc,N} = 1,000$$

Gl. (5.3d)

$$\Psi_{ec,N} = \frac{1}{1 + \frac{2s_{cr}}{s_{cr,N}}} \Rightarrow \Psi_{ec,N,cr} \cdot \Psi_{ec,Np} = 1,000 \cdot 1,000 = 1,000 \leq 1$$

Gl. (5.3e)

$$\Psi_{ec,N,cr} = \frac{1}{1 + \frac{2 \cdot 0,0 \text{ mm}}{270 \text{ mm}}} = 1,000 \leq 1 \quad \Psi_{ec,Np} = \frac{1}{1 + \frac{2 \cdot 0,0 \text{ mm}}{270 \text{ mm}}} = 1,000 \leq 1$$

N <sub>Rk,c</sub> kN	Y <sub>Me</sub>	N <sub>Ed,c</sub> kN	N <sub>Sd</sub> kN	β <sub>N,c</sub> %
56,51	1,50	37,67	19,43	51,6

Anker-Nr.	β <sub>N,c</sub> %	Gruppe Nr.	Maßgebendes Beta
3, 4	51,6	1	β <sub>N,c,1</sub>

Die Eingabewerte und die Bemessungsergebnisse sind zu kontrollieren und anhand gültiger Normen und Zulassungen auf Plausibilität zu prüfen.  
Bitte beachten Sie den Haftungsausschluss in den Lizenzbedingungen der Software.



C-FIX 1.67.0.0  
Datenbankversion  
2018.1.23.12.1  
Datum  
15.04.2018

**fischer**  
innovative solutions

## Widerstand gegenüber Querbeanspruchungen

Nachweis	Last kN	Tragfähigkeit kN	Ausnutzung $\beta_v$ %
Stahlversagen ohne Hebelarm*	0,63	27,20	2,3
Rückseitiger Betonausbruch	2,50	53,57	4,7
Betonkantenbruch	2,50	10,32	24,2

\* Ungünstigster Anker

### Stahlversagen ohne Hebelarm

$$V_{sd} \leq \frac{V_{Rk,s}}{\gamma_{Ms}} \quad (V_{Rd,s})$$

$V_{Rk,s}$ kN	$\gamma_{Ms}$	$V_{Rd,s}$ kN	$V_{sd}$ kN	$\beta_{va}$ %
34,00	1,25	27,20	0,63	2,3

Anker-Nr.	$\beta_{va}$ %	Gruppe Nr.	Maßgebendes Beta
1	2,3	1	$\beta_{va,1}$
2	2,3	2	$\beta_{va,2}$
3	2,3	3	$\beta_{va,3}$
4	2,3	4	$\beta_{va,4}$

### Rückseitiger Betonausbruch

$$V_{sd} \leq \frac{V_{Rk,cp}}{\gamma_{Mcp}} \quad (V_{Rd,cp})$$

$$V_{Rk,cp} = k \cdot N_{Rk,p} = 2 \cdot 40,17 \text{ kN} = 80,35 \text{ kN}$$

$$N_{Rk,p} = N_{Rk,p}^0 \cdot \frac{A_{p,N}}{A_{p,N}^0} \cdot \Psi_{s,Np} \cdot \Psi_{g,Np} \cdot \Psi_{ec,Np} \cdot \Psi_{re,Np}$$

$$N_{Rk,p} = 27,23 \text{ kN} \cdot \frac{109,150 \text{ mm}^2}{72,900 \text{ mm}^2} \cdot 0,833 \cdot 1,183 \cdot 1,000 \cdot 1,000 = 40,17 \text{ kN}$$

$$N_{Rk,p}^0 = \pi \cdot d \cdot h_{ef} \cdot \tau_{Bk} = \pi \cdot 12 \text{ mm} \cdot 90 \text{ mm} \cdot 8,0 \text{ N/mm}^2 = 27,23 \text{ kN}$$

$$\Psi_{s,Np} = 0,7 + 0,3 \cdot \frac{c}{c_{cr,Np}} = 0,7 + 0,3 \cdot \frac{60 \text{ mm}}{135 \text{ mm}} = 0,833 \leq 1$$

$$\Psi_{g,Np} = \Psi_{g,Np}^0 \cdot \sqrt{\frac{s}{s_{cr,Np}}} \cdot (\Psi_{g,Np}^0 - 1)$$

$$\Psi_{g,Np}^0 = 1,466 - \sqrt{\frac{100 \text{ mm}}{270 \text{ mm}}} \cdot (1,466 - 1) = 1,183 \geq 1$$

Gl. (5.7)

Gl. (5.2)

Gl. (5.2a)

Gl. (5.2a)

Gl. (5.2b)

Die Eingabewerte und die Bemessungsergebnisse sind zu kontrollieren und anhand gültiger Normen und Zulassungen auf Plausibilität zu prüfen.  
Bitte beachten Sie den Haftungsausschluss in den Lizenzbedingungen der Software.



C-FIX 1.67.0.0  
Datenbankversion  
2018.1.23.12.1  
Datum  
15.04.2018

**fischer**  
innovative solutions

$$\Psi_{g,Np}^0 = \sqrt{n} - (\sqrt{n} - 1) \cdot \left( \frac{d \cdot \tau_{Bk}}{k \cdot \sqrt{h_{ef}} \cdot f_{ct,cube}} \right)^{1,5}$$

$$\Psi_{g,Np}^0 = \sqrt{4} - (\sqrt{4} - 1) \cdot \left( \frac{12 \text{ mm} \cdot 8,0 \text{ N/mm}^2}{2,3 \cdot \sqrt{90 \text{ mm} \cdot 45,0 \text{ N/mm}^2}} \right)^{1,5} = 1,466 \geq 1$$

$$\Psi_{ec,Np} = \frac{1}{1 + \frac{2s_{cr}}{s}} = \Psi_{ec,Np,ex} \cdot \Psi_{ec,Np,ip} = 1,000 \cdot 1,000 = 1,000 \leq 1$$

$$\Psi_{re,Np} = 1,000$$

$V_{Rk,cp}$ kN	$\gamma_{Mcp}$	$V_{Rd,cp}$ kN	$V_{sd}$ kN	$\beta_{v,cp}$ %
80,35	1,50	53,57	2,50	4,7

Anker-Nr.	$\beta_{v,cp}$ %	Gruppe Nr.	Maßgebendes Beta
1, 2, 3, 4	4,7	1	$\beta_{v,cp,1}$

### Betonkantenbruch

$$V_{sd} \leq \frac{V_{Rk,c}}{\gamma_{Mc}} \quad (V_{Rd,c})$$

$$V_{Rk,c} = V_{Rk,c}^0 \cdot \frac{A_{c,V}}{A_{c,V}^0} \cdot \Psi_{s,V} \cdot \Psi_{h,V} \cdot \Psi_{a,V} \cdot \Psi_{ec,V} \cdot \Psi_{re,V}$$

$$V_{Rk,c} = 9,96 \text{ kN} \cdot \frac{25,200 \text{ mm}^2}{16,200 \text{ mm}^2} \cdot 1,000 \cdot 1,000 \cdot 1,000 \cdot 1,000 = 15,49 \text{ kN}$$

$$V_{Rk,c}^0 = k_1 \cdot d^{\alpha} \cdot h_{ef}^{\beta} \cdot \sqrt{f_{ct,cube}} \cdot c_1^{1,5}$$

$$V_{Rk,c}^0 = 1,7 \cdot (12 \text{ mm})^{0,122} \cdot (90 \text{ mm})^{0,072} \cdot \sqrt{45,0 \text{ N/mm}^2} \cdot (60 \text{ mm})^{1,5} = 9,96 \text{ kN}$$

$$\alpha = 0,1 \cdot \sqrt{\frac{h_{ef}}{c_1}} = 0,1 \cdot \sqrt{\frac{90 \text{ mm}}{60 \text{ mm}}} = 0,122 \quad \beta = 0,1 \cdot \left( \frac{d}{c_1} \right)^{0,2} = 0,1 \cdot \left( \frac{12 \text{ mm}}{60 \text{ mm}} \right)^{0,2} = 0,072$$

$$\Psi_{s,V} = 0,7 + 0,3 \cdot \frac{c_2}{1,5c_1} = 0,7 + 0,3 \cdot \frac{90 \text{ mm}}{1,5 \cdot 60 \text{ mm}} = 1,000 \leq 1$$

$$\Psi_{h,V} = \max \left( 1; \sqrt{\frac{1,5c_1}{h}} \right) = \max \left( 1; \sqrt{\frac{1,5 \cdot 60 \text{ mm}}{120 \text{ mm}}} \right) = 1,000 \geq 1$$

$$\Psi_{a,V} = \sqrt{\frac{1}{(\cos \alpha)^2 + \left( \frac{\sin \alpha}{2,5} \right)^2}} = \sqrt{\frac{1}{(\cos 0,0)^2 + \left( \frac{\sin 0,0}{2,5} \right)^2}} = 1,000 \geq 1$$

$$\Psi_{ec,V} = \frac{1}{1 + \frac{2s_{cr}}{s}} = \frac{1}{1 + \frac{2 \cdot 60 \text{ mm}}{3 \cdot 60 \text{ mm}}} = 1,000 \leq 1$$

$$\Psi_{re,V} = 1,000$$

Gl. (5.8a)

Gl. (5.8a,c)

Gl. (5.8a)

Gl. (5.8b)

Gl. (5.8b)

Gl. (5.8b)

Die Eingabewerte und die Bemessungsergebnisse sind zu kontrollieren und anhand gültiger Normen und Zulassungen auf Plausibilität zu prüfen.  
Bitte beachten Sie den Haftungsausschluss in den Lizenzbedingungen der Software.



C-FIX 1.67.0.0  
Datenbankversion  
2018.1.23.12.1  
Datum  
15.04.2018



C-FIX 1.67.0.0  
Datenbankversion  
2018.1.23.12.1  
Datum  
15.04.2018

$V_{Rk,c}$ kN	$Y_{Mc}$	$V_{Ed,c}$ kN	$V_{Ed}$ kN	$\beta_{V,c}$ %
15,49	1,50	10,32	2,50	24,2

Anker-Nr.	$\beta_{V,c}$ %	Gruppe Nr.	Maßgebendes Beta
1, 2	24,2	1	$\beta_{V,c,1}$
3, 4	12,1	2	$\beta_{V,c,2}$

## Ausnutzung für Zug- und Querlasten

Zuglasten	Ausnutzung $\beta_N$ %	Querlasten	Ausnutzung $\beta_V$ %
Stahlversagen *	21,4	Stahlversagen ohne Hebelarm *	2,3
Kombiniertes Versagen durch Herausziehen und Betonausbruch	72,6	Rückseitiger Betonausbruch	4,7
Betonausbruch	51,6	Betonkantenbruch	24,2

\* Ungünstigster Anker

## Ausnutzung für kombinierte Zug- und Querbelastung

$\beta_N = \beta_{N,p1} = 0,73 \leq 1$ $\beta_V = \beta_{V,c1} = 0,24 \leq 1$ $\beta_N^{1,5} + \beta_V^{1,5} = \beta_{N,p1}^{1,5} + \beta_{V,c1}^{1,5} = 0,74 \leq 1$	 Nachweis erfolgreich	$\alpha_i$ (5.3a) $\alpha_i$ (5.3b) $\alpha_i$ (5.10)
-----------------------------------------------------------------------------------------------------------------------------------------------------------------------------	-------------------------------------------------------------------------------------------------------------	-------------------------------------------------------------

## Angaben zur Ankerplatte

### Ankerplattendetails

Vom Anwender ohne Nachweis festgelegte Ankerplattendicke

Profiltyp

t = 8 mm

Benutzerdefiniertes Profil

## Technische Hinweise

Wenn der Randabstand eines Ankers kleiner als der charakteristische Randabstand  $C_{cr,N} = 135$  mm (Bemessungsverfahren A) ist, ist eine Längsbewehrung mit einem Durchmesser von  $d = 6$  mm im Bereich der Verankerungstiefe des Ankers erforderlich. Die Bemessung wurde unter der Annahme einer ausreichend vorhandenen Spaltbewehrung durchgeführt. Diese Annahme ist ggf. gesondert nachzuweisen. Bei der Bemessung wurde vorausgesetzt, dass die Ankerplatte unter den einwirkenden Schnittkräften eben bleibt. Deshalb muss sie ausreichend steif sein. Die in C-Fix enthaltene Ankerplattenbemessung basiert auf einem Spannungsnachweis, erlaubt aber keine direkte Aussage über die Plattensteifigkeit. Die Lastweiterleitung im Beton ist für den Grenzzustand der Tragfähigkeit sowie den Grenzzustand der Gebrauchstauglichkeit nachzuweisen. Hierfür sind die erforderlichen Nachweise für das Bauteil incl. den Ankerlasten zu führen. Die weitergehenden Bestimmungen des Bemessungsverfahrens hierfür sind zu beachten. Die Nachweise gelten nur für die Kaltbemessung.

## Allgemeine Hinweise

Sämtliche in den Programmen enthaltenen Informationen und Daten beziehen sich ausschließlich auf die Verwendung von fischer-Produkten und basieren auf den Grundsätzen, Formeln und Sicherheitsbestimmungen gem. den technischen Anweisungen und Bedienungs-, Setz- und Montageanleitungen usw. von fischer, die vom Anwender genau eingehalten werden müssen. Sämtliche enthaltenen Werte sind Durchschnittswerte; daher sind vor Anwendung des jeweiligen fischer-Produkts stets einstandspezifische Tests durchzuführen. Die Ergebnisse der mittels der Software durchgeführten

Die Eingabewerte und die Bemessungsergebnisse sind zu kontrollieren und anhand gültiger Normen und Zulassungen auf Plausibilität zu prüfen. Bitte beachten Sie den Haftungsausschluss in den Lizenzbedingungen der Software.

Berechnungen beruhen maßgeblich auf den von Ihnen einzugebenden Daten. Sie tragen daher die alleinige Verantwortung für die Fehlerfreiheit, Vollständigkeit und Relevanz der von Ihnen einzugebenden Daten. Sie sind weiterhin alleine dafür verantwortlich, die erhaltenen Ergebnisse der Berechnung vor der Verwendung für Ihre spezifische(n) Anlage(n) durch einen Fachmann überprüfen und freigeben zu lassen, insbesondere hinsichtlich der Konformität mit geltenden Normen und Zulassungen. Das Bemessungsprogramm dient lediglich als Hilfsmittel zur Auslegung von Normen und Zulassungen ohne jegliche Gewährleistung auf Fehlerfreiheit, Richtigkeit und Relevanz der Ergebnisse oder Eignung für eine bestimmte Anwendung. Sie haben alle erforderlichen und zumutbaren Maßnahmen zu ergreifen, um Schäden durch das Bemessungsprogramm zu verhindern oder zu begrenzen. Insbesondere müssen Sie für die regelmäßige Sicherung von Programmen und Daten sorgen sowie regelmäßig ggf. von fischer angebotene Updates des Bemessungsprogramms durchführen. Sofern Sie nicht die automatische Update-Funktion der Software nutzen, müssen Sie durch manuelle Updates über die fischer Internetseite sicherstellen, dass Sie jeweils die aktuelle und somit gültige Version des Bemessungsprogramms verwenden. Soweit Sie diese Verpflichtung schuldhaft verletzen, haftet fischer nicht für daraus entstehende Folgen, insbesondere nicht für die Wiederbeschaffung verlorener oder beschädigter Daten oder Programme.

Die Eingabewerte und die Bemessungsergebnisse sind zu kontrollieren und anhand gültiger Normen und Zulassungen auf Plausibilität zu prüfen. Bitte beachten Sie den Haftungsausschluss in den Lizenzbedingungen der Software.



C-FIX 1.67.0.0  
Datenbankversion  
2018.1.23.12.1  
Datum  
15.04.2018

## Angaben zur Montage

### Anker

#### Ankersystem

##### injektionsmörtel

##### Befestigungselement

fischer Superbond-System  
FIS SB 390 S (auch in weiteren  
Kartuschengrößen verfügbar)  
Ankerstange FIS A M 12 x 120 8.8;  
galvanisch verzinkter Stahl,  
Festigkeitsklasse 8.8

##### Zubehör

Statikmischer FIS MR rot  
Auspressgerät FIS DM S  
Druckluft-Reinigungsgerät  
Ölfreie Druckluft, min. 6 bar  
Reinigungsbürste BS 14  
Hammerbohrer SDS Plus IV  
14/100/160

##### Alternative Kartuschen

FIS SB 1500 S  
FIS SB 585 S  
FIS SB 390 High Speed S  
Die dargestellten Kartuschen  
können alternativ zu den  
hervorgehobenen  
Kartuschen mit der gleichen  
Zulassungsnummer verwendet  
werden.



Art.-Nr. 518830

Art.-Nr. 519397

Art.-Nr. 96448

Art.-Nr. 511118

Art.-Nr. 93286

Bauselbst

Art.-Nr. 78180

Art.-Nr. 504152

Art.-Nr. 519453

Art.-Nr. 520526

Art.-Nr. 523300

### Montagedetails

#### Gewindegröße

#### Bohrlochdurchmesser

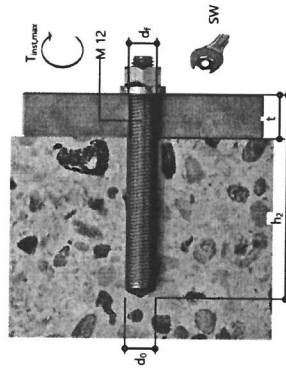
#### Bohrlochtiefe

#### Verankerungstiefe

#### Bohrverfahren

#### Bohrlochreinigung

M 12  
 $d_b = 14$  mm  
 $h_b = 98$  mm  
 $h_{bf} = 90$  mm  
Hammerbohren  
2 x mit Druckluft ausblasen,  
2 x bürsten,  
2 x mit Druckluft ausblasen  
Durchsteckmontage  
Ringspalt verdrillt  
Maximales Anzugsmoment  
 $T_{\text{end,max}} = 40,0$  Nm  
Schlüsselweite SW  
19 mm  
Ankerplattendicke  
 $t = 8$  mm  
Gesamte Befestigungsdicke  $t_{\text{bf}} = 8$  mm  
Tfix max  
Mörtelvolumen je Bohrloch 10 ml/5 Skalenteile



C-FIX 1.67.0.0  
Datenbankversion  
2018.1.23.12.1  
Datum  
15.04.2018

### Ankerplattendetails

Material der Ankerplatte  
Ankerplattendicke  
Durchgangslöcher im  
Anbauteil

Nicht verfügbar  
 $t = 8$  mm  
 $d_f = 16$  mm

### Anbauteil

#### Profiltyp

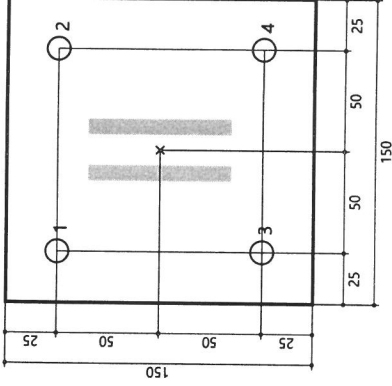
#### Profilabstand

Benutzerdefiniertes Profil  
15 mm

Profilabmessung	mm
Höhe	8
Breite	70

### Ankerkoordinaten

Anker-Nr.	x mm	y mm
1	-50	50
2	50	50
3	-50	-50
4	50	-50





**Firma**

32

Name  
Kontaktperson  
Adresse  
Telefon  
Telefax  
E-mail

**Projekt-Nr.** 18-37  
**Projekt** Brücke 3  
**Bauteil** APL  
**Lastfall**

**Bemerkungen**

Test notes

**Bolzenname / Material** SBKL-12x150, Baustahl, S235J2+N, S355J2+N

**Effektive Verankerungstiefe**  $h_{ef} = 156$  [mm]; ohne Berücksichtigung der Ankerplatten- und Bauteilgeometrie  
**Zulassung-Nr.** ETA-04/0056  
**Ausgestellt / Gültig** 17.02.2010/17.02.2015  
**Nachweis** Nach CEN/TS 1992-4:2009 Teil 1 und 2 und ETA

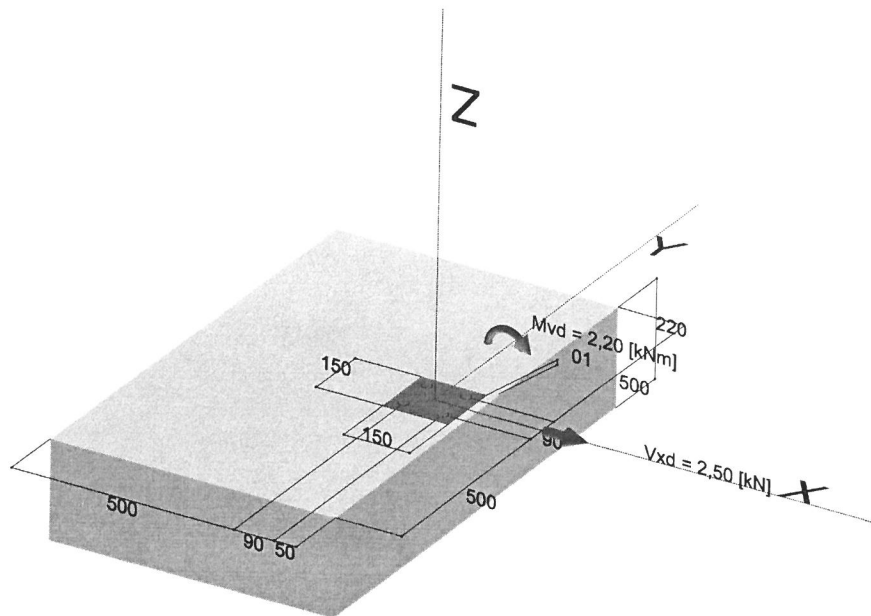
**Ankerplatte** Steife Platte (für Bolzenkraftberechnung);  $l_x \times l_y \times t = 150 \times 150 \times 12$  mm  
**Beton** gerissener Beton C35/45,  $f_{cc} = 45$  N/mm<sup>2</sup>,  $h = 220$  mm  
**Bewehrung**  $d_s = 10$  mm,  $s = 150$  mm,  $c = 55$  mm,  $f_{yk} = 500$  N/mm<sup>2</sup>,  
kreuzweise: nein, Randbügel ( $a \leq 100$  mm): nein

**Rückhängebewehrung** Normalkräfte (Zug): nein,  
Querkkräfte: nein

**Schubknagge** - keine

**Geometrie [mm], Belastung [kN] [kNm]**

33



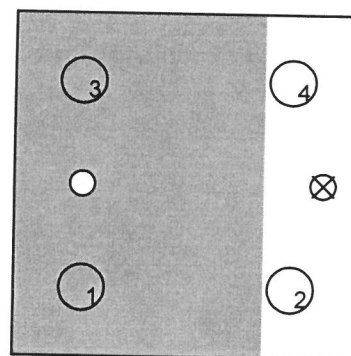
	N	V <sub>x</sub>	V <sub>y</sub>	M <sub>x</sub>	M <sub>y</sub>	M <sub>z</sub>
Bemessungslasten	0,00	2,50	0,00	0,00	2,20	0,00

**Bemessungslasten - F<sub>Rd</sub>**

**Bolzenkräfte [kN]**

Normalkraft: (+ Zug; - Druck)

Bolzen	Normalkraft	Querkraft
1	10,62	0,63
2	-1,62	0,63
3	10,62	0,63
4	-1,62	0,63



⊗ Druckkraft  
⊙ Zugkraft

Max. Betondruckdehnung [‰]:	0,19
Max. Betondruckspannung [N/mm <sup>2</sup> ]:	5,73
Resultierende Zugkraft [kN]:	21,24
Resultierende Druckkraft [kN]:	21,24

Daten und Ergebnisse sind auf Übereinstimmung mit den effektiv vorliegenden Gegebenheiten, den nationalen Normen zu kontrollieren und auf Plausibilität zu prüfen!

Projekt-Nr.: 18-37, Bauteil: APL

Peikko Deutschland GmbH, Brinker Weg 15, D-34513 Waldeck, www.peikko.de, Tel.: +49(0)56 34 12 31, Fax: +49(0)56 34 99 47 25

**Zugkraft (CEN/TS 1992-4:2009 Teil 2, Abschnitt 6.2 und ETA)**

34

Bemessungswerte [kN]				
Nachweis	Last	Tragfähigkeit	Ausnutzung $\beta_N$ [%]	Status
Stahlversagen	10,62	33,12	32	OK
Herausziehen	10,62	45,62	23	OK
Lokaler Betonausbruch (blow-out), Richtung X+	21,24	27,02	79	OK
Betonausbruch (Kegel)	21,24	53,93	39	OK
Spaltversagen	na	na	na	na

**Stahlversagen**

$N_{Rk,s}$ [kN]	$\gamma_{M,s}$	$N_{Rd,s}^h$ [kN]	$N_{Sd}^h$ [kN]
51,00	1,540	33,12	10,62

**Herausziehen**

$N_{Rk,p}$ [kN]	$\psi_c$	$\psi_{ucr,N}$	$\gamma_{M,p}$	$N_{Rd,p}^h$ [kN]	$N_{Sd}^h$ [kN]
51,00	1,342	1,000	1,500	45,62	10,62

**Lokaler Betonausbruch (blow-out), Richtung X+**

$A_{c,Nb}$ [mm <sup>2</sup> ]	$A_{c,Nb}^0$ [mm <sup>2</sup> ]	$c$ [mm]	$n$	$h_{ef}$ [mm]	$s_1$ [mm]
32800	40000	50,00	1	156,00	0,00
$\psi_{ec1,Nb}$	$\psi_{ec2,Nb}$	$\psi_{s,Nb}$	$\psi_{g,Nb}$	$\psi_{ucr,N}$	
1,000	1,000	1,000	1,000	1,000	
$N_{Rk,cb}^0$ [kN]	$\gamma_{M,c}$	$N_{Rd,cb}$ [kN]	$N_{Sd}$ [kN]		
49,43	1,500	27,02	21,24		

**Betonausbruch (Kegel)**

$A_{c,N}$ [mm <sup>2</sup> ]	$A_{c,N}^0$ [mm <sup>2</sup> ]	$c_{cr,N}$ [mm]	$s_{cr,N}$ [mm]	$h_{ef}^*$ [mm]
208692	219024	234,00	468,00	156,00
$\psi_{ec1,N}$	$\psi_{ec2,N}$	$\psi_{re,N}$	$\psi_{s,N}$	
1,000	1,000	1,000	0,764	
$N_{Rk,c}^0$ [kN]	$\gamma_{M,c}$	$N_{Rd,c}$ [kN]	$N_{Sd}$ [kN]	
111,10	1,500	53,93	21,24	

Hinweis: entfallende bzw. nicht notwendige Nachweise/Werte sind durch "na" gekennzeichnet!  
 \*: Effektive Verankerungstiefe mit Berücksichtigung der Ankerplatten- und Bauteilgeometrie!

Daten und Ergebnisse sind auf Übereinstimmung mit den effektiv vorliegenden Gegebenheiten, den nationalen Normen zu kontrollieren und auf Plausibilität zu prüfen!

Projekt-Nr.: 18-37, Bauteil: APL

Peikko Deutschland GmbH, Brinker Weg 15, D-34513 Waldeck, www.peikko.de, Tel.: +49(0)56 34 12 31, Fax: +49(0)56 34 99 47 25

Versagen durch Spalten (ETA, Anhang 7.7)

35

Um ein Spalten des Bauteils zu verhindern, muss eine Mindestbewehrung mit folgendem Querschnitt vorhanden sein:

$$A_{s, \text{erf}} = 0,5 * N_{sd} / (f_{yk} / \gamma_{Ms, re}) = 24 \text{ mm}^2$$

Die Spaltbewehrung ist bei flächenartigen Tragwerken (z.B. Platten) in beiden Richtungen erforderlich. Sie ist bei überwiegend auf Zug beanspruchten Bauteilen auf beiden Querschnittsseiten und bei überwiegend auf Biegung beanspruchten Bauteilen auf der zugbeanspruchten Seite anzuordnen. Sie soll aus mindestens drei Stäben mit einem Stababstand  $\leq 150 \text{ mm}$  bestehen und ist außerhalb der Verankerung mit der Verankerungslänge entsprechend den nationalen Regelungen zu verankern. Bei Linientragwerken (z.B. Balken) braucht die Spaltbewehrung nur in einer Richtung angeordnet zu werden. Bei Verankerungen an Bauteilrändern muss diese Bewehrung ebenfalls als Randbewehrung mit entsprechender Rückhängebewehrung vorhanden sein.

**Querkraft (CEN/TS 1992-4:2009 Teil 2, Abschnitt 6.3 und ETA)**

36

Bemessungswerte[kN]				
Nachweis	Last	Tragfähigkeit	Ausnutzung $\beta_V$ [%]	Status
Stahlversagen	0,63	23,44	3	OK
Betonausbruch auf lastabgewandter Seite	2,50	107,85	2	OK
Betonkantenbruch, Richtung X+	2,50	8,05	31	OK
Schubknagge	na	na	na	na

**Stahlversagen**

$V_{Rk,s}$ [kN]	$\gamma_{M,s}$	$V_{Rd,s}^h$ [kN]	$V_{Sd}^h$ [kN]
30,00	1,280	23,44	0,63

**Betonausbruch auf lastabgewandter Seite (Bolzensgruppe maßgebend)**

$A_{c,N}$ [mm <sup>2</sup> ]	$A_{c,N}^0$ [mm <sup>2</sup> ]	$c_{cr,N}$ [mm]	$s_{cr,N}$ [mm]	$h_{ef}^*$ [mm]	$k_3$
208692	219024	234,00	468,00	156,00	2,0
$\psi_{s,N}$	$\psi_{ec1,N}$	$\psi_{ec2,N}$	$\psi_{re,N}$		
0,764	1,000	1,000	1,000		
$N_{Rk,c}^0$ [kN]	$\gamma_{M,c,p}$	$V_{Rd,cp}$ [kN]	$V_{Sd}$ [kN]		
111,10	1,500	107,85	2,50		

**Betonkantenbruch, Richtung X+**

$l_f^*$ [mm]	$d_1$ [mm]	$c_1$ [mm]	$A_{c,V}$ [mm <sup>2</sup> ]	$A_{c,V}^0$ [mm <sup>2</sup> ]	
96,00	12,00	50,00	18000	11250	
$\psi_{s,V}$	$\psi_{h,V}$	$\psi_{\alpha,V}$	$\psi_{ec,V}$	$\psi_{re,V}$	
1,000	1,000	1,000	1,000	1,000	
$\alpha$	$\beta$	$V_{Rk,c}^0$ [kN]	$\gamma_{M,c}$	$V_{Rd,c}$ [kN]	$V_{Sd}$ [kN]
0,139	0,075	7,55	1,500	8,05	2.50

Hinweis: entfallende bzw. nicht notwendige Nachweise/Werte sind durch "na" gekennzeichnet!  
 \*: Effektive Verankerungstiefe mit Berücksichtigung der Ankerplatten- und Bauteilgeometrie!

37

### Interaktion Zugkraft - Querkraft (CEN/TS 1992-4:2009 Teil 2, Abschnitt 6.4 und ETA)

$\beta_N$	$\beta_V$	$\alpha$	Ausnutzung $\beta_{N,V}$ [%]	Status
0,786	0,311	1,5	87	OK

$$\beta_N^\alpha + \beta_V^\alpha \leq 1$$

### Schwingbreiten - Stahl (nicht vorwiegend ruhende Belastung, ETA Abschnitt 4.2.1)

Nachweis	Vorh. Schwingbreite [N/mm <sup>2</sup> ]	Zul. Schwingbreite [N/mm <sup>2</sup> ]	Ausnutzung [%]	Status
Zug	$\Delta \sigma_N = \text{na}$	$\Delta \sigma_{N,zul} = \text{na}$	na	na
Quer	$\Delta \sigma_V = \text{na}$	$\Delta \sigma_{V,zul} = \text{na}$	na	na
Rückhängebewehrung	$\Delta \sigma_{re} = \text{na}$	$\Delta \sigma_{re,zul} = \text{na}$	na	na

### Nachweise zur Gewährleistung der Bauteiltragfähigkeit

#### Weiterleitung der Kräfte im Bauteil

Die Weiterleitung der Kräfte im Bauteil ist nach der Bemessungsrichtlinie CEN/TS 1992-4:2009 Teil 1, Anhang A nachzuweisen!

#### Schubspannungsnachweis

Der Nachweis der Schubspannungen ist entsprechend CEN/TS 1992-4:2009 Teil 1, Anhang A und EN 1992-1-1 (oder nationalen Normen) zu führen.

**Befestigung OK!**

Hinweis: entfallende bzw. nicht notwendige Nachweise/Werte sind durch "na" gekennzeichnet!

Daten und Ergebnisse sind auf Übereinstimmung mit den effektiv vorliegenden Gegebenheiten, den nationalen Normen zu kontrollieren und auf Plausibilität zu prüfen!

Projekt-Nr.: 18-37, Bauteil: APL

Peikko Deutschland GmbH, Brinker Weg 15, D-34513 Waldeck, www.peikko.de, Tel.: +49(0)56 34 12 31, Fax: +49(0)56 34 99 47 25

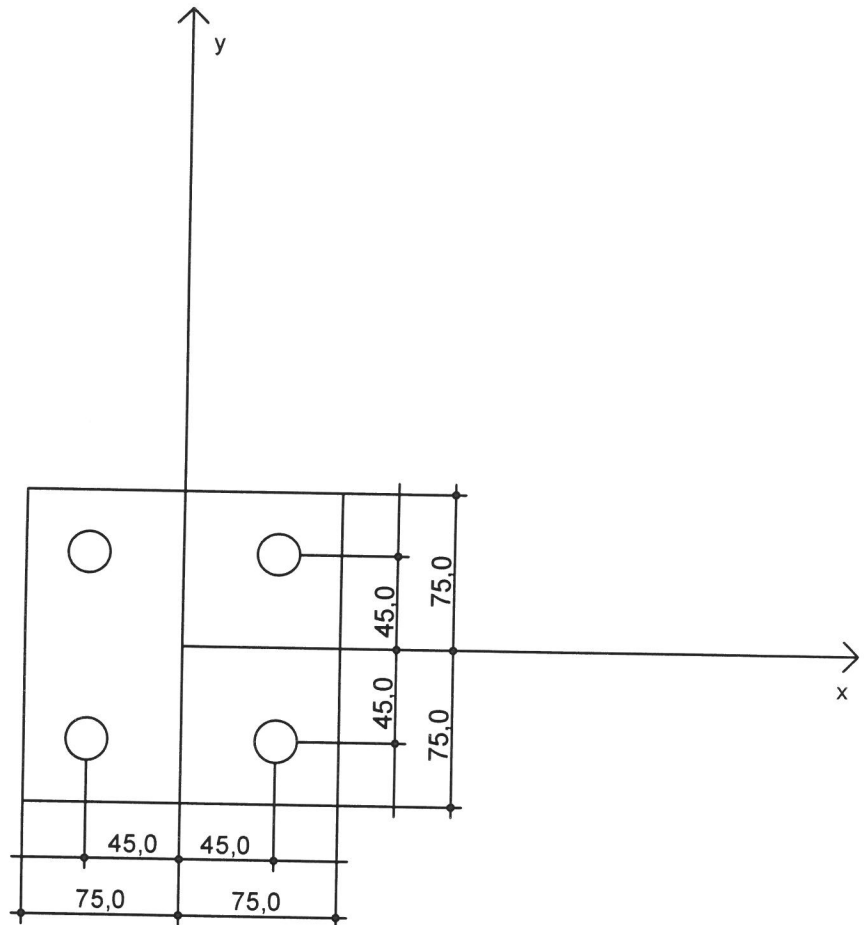
## Ankerplatte, Stahlgüte: S235 oder S355

38

Profiltyp: Kein Profil - - (0 x 0 x 0)

Eingegebene Plattendicke: 12 [mm]

Berechnete Plattendicke: nicht berechnet



### Material-Liste

Bezeichnung	Abmessungen [mm]	Anzahl	Gewicht [kg]
Stahlplatte	150 x 150 x 12	1	2,12
Bolzen (10711205)	12 x 150	4	0,58

Daten und Ergebnisse sind auf Übereinstimmung mit den effektiv vorliegenden Gegebenheiten, den nationalen Normen zu kontrollieren und auf Plausibilität zu prüfen!

Projekt-Nr.: 18-37, Bauteil: APL

Peikko Deutschland GmbH, Brinker Weg 15, D-34513 Waldeck, www.peikko.de, Tel.: +49(0)56 34 12 31, Fax: +49(0)56 34 99 47 25

## T1 Brückenträger (Brücke 5): HEA 180; S235

Lage- und Torsionssicherung der Träger „T1“  
mittels Querträger „T2“  $e \leq 1,50\text{m}$ ; IPE 140; S235

- statisches System und Belastung

siehe EDV; max. rechnerische Stützweite 6,75m

Eigenlast programmintern

Streckenlasten [kN/m]

		G k	Q k
Einflußbreite: 1,50m /2 aus Geländer	0,75*0,5	0,375	3,750
	0,75*5,0	0,400	0,500
Summe		0,775	4,250
G k + Q k		5,03	k N /m

- Schnittkräfte und Bemessung siehe EDV folgende Seiten
- Ergebnis der EDV-Berechnung

$$\max \eta_{\sigma} = \underline{\underline{0,62 < 1,0}}$$

$$\max \eta_f = \underline{\underline{0,81 < 1,0}}$$

Unter den Auflagerpunkten ist eine Kontaktplatte 300x120x12mm angeordnet, die mit je 2x FAZ M12 auf dem Widerlager angedübelt werden.

Zum Toleranzausgleich wird eine Ausgleichsfuge aus Vergussmörtel C25/30 angeordnet.



Pos. T1

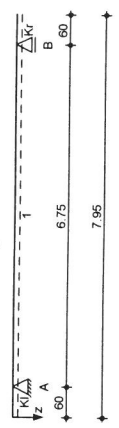
System

M 1:100

Brückenträger (B5)

Einfeldträger mit Auskragung

System z-Richtung



Abmessungen  
Mat./Querschnitt

Feld	l [m]	Lage [°]	Achsen	Material	Profil
Kl	0.60	0.0	fest	S 235	HEA 180
l	6.75	0.0	fest		
Kr	0.60	0.0	fest		

Auflager

Lager	x [m]	b [cm]	Art	Kr,z [kNm/m]	Ks,y [kNm/rad]
A	0.60	20.0	fest	fest	frei
B	7.35	20.0	fest	fest	frei

Belastungen

Eigengewicht

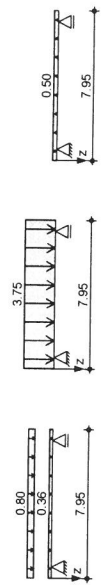
Feld	Profil	A [cm²]	g [kN/m]
kl-kr	HEA 180	45.3	0.36

Grafik

Einwirkungen

Belastungsgrafiken (einwirkungsbezogen)

Gk Qk.N Qk.S



Streckenlasten  
in z-Richtung

Feld	Komm.	a [m]	s [m]	q <sub>li</sub> [kN/m]	q <sub>te</sub> [kN/m]	e [cm]
Kl	Eigengew	0.00	7.95	0.36	0.36	0.0
Kl		0.00	7.95	0.80	0.80	0.0
Kl		0.00	7.95	3.75	3.75	0.0

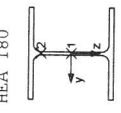
Kombinationen

Kombinationsbildung nach DIN EN 1990

Ek	Σ (γ*ψ*EW)	
1	1.00*Gk	
2	1.35*Gk	+0.75*Qk.S
3	1.35*Gk	+0.75*Qk.S
4	1.00*Gk	+1.50*Qk.N
5	1.00*Gk	+1.50*Qk.N
6	1.35*Gk	+0.75*Qk.S
7	1.00*Gk	+1.50*Qk.N

ständig/vorüberg.

M 1:10



Bem.-schnittsgrößen

Tabelle

Bemessungsschnittsgrößen

Schnittsgrößen (Umhüllende)

x [m]	M <sub>y,d,min</sub> [kNm]	Ek	M <sub>y,d,max</sub> [kNm]	Ek	V <sub>z,d,min</sub> [kN]	Ek	V <sub>z,d,max</sub> [kN]	Ek
0.00	0.00	2	0.00	1	0.00	2	0.00	1
0.60	-1.36	2	-0.21	1	-4.54	2	-0.69	1
0.00	-1.36	3	-0.21	4	3.75	5	25.67	6
3.38	5.36	7	42.71	8	-0.15	5	0.15	6
6.75	-1.36	3	-0.21	4	-25.67	9	-3.75	10
0.00	-1.36	3	-0.21	1	0.69	1	4.54	3
0.60	0.00	3	0.00	1	0.00	1	0.00	3

Material- und Querschnittswerte nach DIN EN 1993

Feld	QS	Profil	W <sub>y</sub> [cm³]	W <sub>z</sub> [cm³]	S <sub>y</sub> [cm³]	S <sub>z</sub> [cm³]	I <sub>y</sub> [cm⁴]	I <sub>z</sub> [cm⁴]
kl-kr	1	HEA 180	294.0	162.0	162.0	2510.0	14.9	14.9

Material	f <sub>yk</sub> [N/mm²]	E [N/mm²]
S 235	235.00	210000.00

HEA 180

### Nachweise (GZT)

#### Quersch.-klasse c/t-Verhältnis

Nachweis E-E  
 Abs. 6.2

Nachweise im Grenzzustand der Tragfähigkeit nach DIN EN 1993  
 Maßgebende Querschnittsklasse: Klasse 1

Nachweis der Biege- und Querkrafttragfähigkeit		$\sigma_d$		$\tau_d$		$\sigma_{v,d}$		$\eta$	
x	Ek	QS/ Pkt	$M_{y,d}$	$V_{z,d}$	$\sigma_d$	$\tau_d$	$\sigma_{v,d}$	$\eta$	
[m]			[kNm]	[kN]	[N/mm <sup>2</sup> ]	[N/mm <sup>2</sup> ]	[N/mm <sup>2</sup> ]	[N/mm <sup>2</sup> ]	

Kragarm links

(L = 0.60 m)

0.00	2	1/1	0.00	0.00	0.00	0.00	0.00	0.00	
0.60	2	1/2	-1.36	-4.54	3.31	3.31	0.04	0.04	*

Feld 1

(L = 6.75 m)

0.00	6	1/1	-1.36	25.67	0.00	0.00	0.20	0.20	
3.38	8	1/3	42.71	0.00	145.27	145.27	0.62	0.62	*
6.75	9	1/1	-1.36	-25.67	0.00	0.00	0.20	0.20	

Kragarm rechts

(L = 0.60 m)

0.00	3	1/2	-1.36	4.54	3.31	3.31	0.04	0.04	*
0.60	1	1/-	0.00	0.00	0.00	0.00	0.00	0.00	

### Stabilität

Festhaltungen  
 Kragarm links  
 Feld 1  
 Kragarm rechts

Nachweis der Stabilität  
 x-Koordinaten [m] bzgl. Feldanfang  
 0.60 GL  
 0.00 GL, 1.50, 3.00, 4.50, 6.00, 6.75 GL  
 0.00 GL  
 GL: Gabelträger

Globale Beiwerte

Bezugsschlankheitsgrad:  
 Tragheitsrad. des Gurtes:  $\lambda_1 = 93.91$   
 $i_{f,z} = 4.82$  cm

Vereinfachter Nachweis

Ek	Abs.	$I_{c,z}$	$k_c$	$\lambda_{c,z}$	$\lambda_{f,z}$	$\chi$	$\chi_{max}$	$\eta$
[m]							[kNm]	
2	1	1.20	0.59	0.16	25.43	-	-1.36	0.01
8	1	1.50	0.77	0.26	1.18	-	29.42	0.22
8	2	1.50	0.95	0.31	0.82	-	42.17	0.38
8	3	1.50	0.99	0.33	0.81	-	42.71	0.41
8	4	1.50	0.88	0.29	0.91	-	37.92	0.32
8	5	0.75	0.75	0.12	2.08	-	16.65	0.06

Kragarm rechts

3 1 1.20 0.59 0.16 25.43 - -1.36 0.01 \*

### Nachweise (GZG)

Nachweise im Grenzzustand der Gebrauchstauglichkeit nach DIN EN 1993

#### Verformungsnachweis

max. Verformungen		$w_z$		$w_{z,rel}$		$\eta$	
x	Ek	[mm]	[mm]	[mm]	[mm]	[mm]	[mm]
0.00	14	-3.24	3.24	1/150 =	4.00	0.81	0.81
3.38	14	11.47	11.47	1/300 =	22.50	0.51	0.51
0.60	14	-3.24	3.24	1/150 =	4.00	0.81	0.81

Kragarm links

Feld 1

Kragarm rechts

#### Auflagerkräfte

Char. Auflagerkr.

Charakteristische und Bemessungsauflagerkräfte

Aufl.	$F_{z,k,min}$		$F_{z,k,max}$		$F_{z,k,max}$	
	A	B	A	B	A	B
Einw. Gk	4.59	4.59	4.59	4.59	4.59	4.59
Einw. Qk-N	-0.10	-0.10	-0.10	-0.10	15.01	15.01
Einw. Qk-S	-0.10	-0.10	-0.10	-0.10	15.01	15.01
	1.99	1.99	1.99	1.99	1.99	1.99

Bem.-auflagerkräfte  
 ständig/vorübergeh.

Aufl.	$F_{z,d,min}$		$F_{z,d,max}$		$F_{z,d,max}$	
	A	B	A	B	A	B
	4.44	4.44	17	19	30.20	30.20
	18	20	18	20	18	20

Zusammenfassung der Nachweise

Nachweise im Grenzzustand der Tragfähigkeit

Nachweis	Feld		x		$\eta$	
	A	B	A	B	A	B
Nachweis E-E	3.38	3.38	OK	OK	0.62	0.62
Stabilität	3.38	3.38	OK	OK	0.62	0.62

### Nachweise (GZG)

Nachweise im Grenzzust. der Gebrauchstauglichkeit

Nachweis	Feld		x		$\eta$	
	A	B	A	B	A	B
Verformung	0.60	0.60	OK	OK	0.81	0.81

## T1a Brückenträger (Brücken 1, 2 und 4): HEA 180; S235

Lage- und Torsionssicherung der Träger „T1a“  
mittels Querträger „T2“  $e \leq 1,50\text{m}$ ; IPE 140; S235

- statisches System und Belastung

siehe EDV; max. rechnerische Stützweite 4,53m

Eigenlast programmintern

Streckenlasten [kN/m]

		G k	Q k
Einflußbreite: 1,50m /2 aus Geländer	0,75*0,5	0,375	3,750
	0,75*5,0	0,400	0,500
Summe		0,775	4,250
G k + Q k		5,03	kN/m

- Schnittkräfte und Bemessung siehe EDV folgende Seiten
- Ergebnis der EDV-Berechnung

$$\max \eta_{\sigma} = \underline{\underline{0,27 < 1,0}}$$

$$\max \eta_f = \underline{\underline{0,23 < 1,0}}$$

Unter den Auflagerpunkten ist eine Kontaktplatte 300x120x12mm angeordnet, die mit je 2x FAZ M12 auf dem Widerlager angedübelt werden.

Zum Toleranzausgleich wird eine Ausgleichsfuge aus Vergussmörtel C25/30 angeordnet.



Nachweise (GZG)

Nachweise im Grenzzustand der Gebrauchstauglichkeit nach DIN EN 1993

Verformungsnachweis

max. Verformungen

	x	Ek	wz	wres	wzul	η
	[m]		[mm]	[mm]	[mm]	[-]
Kragarm links	0.00	13	-1.14	1.14	1/150 =	5.00
Feld 1	2.27	13	2.21	2.21	1/300 =	0.23
Kragarm rechts	0.75	13	-1.14	1.14	1/150 =	0.15
						5.00
						0.23

Auflagerkräfte

Charakteristische und Bemessungslagerkräfte

Aufl.	Fz,k,min	Ek	Fz,k,max
	[kN]		[kN]
Einw. Gk	3.48		3.48
	3.48		3.48
Einw. Qk,N	-0.23		11.54
	-0.23		11.54
Einw. Qk,S			1.51
			1.51

Bem.-auflagerkräfte ständig/vorüberg.

Aufl.	Fz,d,min	Ek	Fz,d,max
	[kN]		[kN]
A	3.13	16	23.14
B	3.13	18	23.14

Zusammenfassung

Zusammenfassung der Nachweise

Nachweise (GZT)

Nachweise im Grenzzustand der Tragfähigkeit

Nachweis	Feld	x	η
		[m]	[-]
Nachweis E-E	Feld 1	2.27	OK
Stabilität	Feld 1	3.06	OK

Nachweise (GZG)

Nachweise im Grenzzust. der Gebrauchstauglichkeit

Nachweis	Feld	x	η
		[m]	[-]
Verformung	Kragarm rechts	0.75	OK
			0.23

Nachweise (GZT)

Nachweise im Grenzzustand der Tragfähigkeit nach DIN EN 1993

Quersch.-klasse

Maßgebende Querschnittsklasse: Klasse 1

Nachweis E-E

Abs. 6.2

	x	Ek	QS/Pkt	M <sub>y,d</sub>	V <sub>z,d</sub>	α <sub>d</sub>	τ <sub>d</sub>	η
	[m]			[kNm]	[kN]		[N/mm <sup>2</sup> ]	[-]
Kragarm links	0.00	2	1/1	0.00	0.00	0.00	0.00	0.00
						0.00	0.00	

(L = 0.75 m)

	0.75	2	1/2	-2.13	-5.67	5.17	5.68	0.05*
						0.00	11.11	

Feld 1

(L = 4.53 m)

	0.00	6	1/1	-2.13	17.47	0.00	0.00	0.14
						18.80	32.55	
	2.27	8	1/3	18.85	0.00	64.11	0.00	0.27*
						0.00	64.11	
	4.53	9	1/1	-2.13	-17.47	0.00	0.00	0.14
						18.80	32.55	

Kragarm rechts

(L = 0.75 m)

	0.00	3	1/2	-2.13	5.67	5.17	5.68	0.05*
						0.00	11.11	
	0.75	1	1/-	0.00	0.00	0.00	0.00	0.00
						0.00	0.00	

Stabilität

Nachweis der Stabilität

Festhaltungen	x-Koordinaten [m] bzgl. Feldanfang	λ <sub>1</sub> =	93.91
Kragarm links	0.75 GL	i <sub>t,z</sub> =	4.82
Feld 1	0.00 GL, 1.50, 3.00, 4.50, 4.53 GL		
Kragarm rechts	0.00 GL		

GL: Gabellager

Globale Beiwerte

Bezugsschlankheitsgrad:

Trägheitsst. des Gurt:

Vereinfachter Nachweis	Ek	Abs.	I <sub>c</sub>	k <sub>c</sub>	vorhλ	zulλ	χ	maxM	η
			[m]					[kNm]	
Kragarm links	2	1	1.50	0.59	0.20	16.28	-	-2.13	0.01*

Feld 1

	8	1	1.50	0.79	0.26	2.08	-	16.63	0.13
	8	2	1.50	0.99	0.33	1.84	-	18.84	0.18*
	8	3	1.53	0.80	0.27	2.06	-	16.80	0.13

Kragarm rechts

	3	1	1.50	0.59	0.20	16.28	-	-2.13	0.01*
--	---	---	------	------	------	-------	---	-------	-------

## T01.1 geschraubter Anschluss der Koppelstange an T1; vorgespannt

### Koppelstange IPE 140 (konstruktiv)

Stirnplatten 190x90x15mm, alle Doppelkehlnähte 4mm  
Rippen t=10mm  
4x Schrauben M12 10.9 - vorgespannt

- System und Belastung

s. EDV-Ausdruck

Abstand der Koppelstangen	max a =	1,60 m		
<b>Eigenlast</b>				
Geländer	0,40 kN/m		Vg =	0,64 kN
Moment aus außermittigem Anschluss	0,15 m		Mg =	0,10 kNm
<b>Nutzlast</b>				
Geländer v	0,50 kN/m		Vq1 =	0,80 kN
Moment aus außermittigem Anschluss	0,15 m		Mq1 =	0,12 kNm
<b>alternativ</b>				
Geländer h	1,00 kN/m		Hq2 = ±	1,60 kN
Moment aus horizontaler Holmlast	1,25 m		Mq2 = ±	2,00 kNm
Berücksichtigung Stabilisierungskräfte pauschal:			Hs3 = ±	0,20 kN
			Ms3 = ±	0,20 kNm
aus Querträger T02				
			Vg =	0,52 kN
			Mg =	0,18 kNm
			Vq1 =	4,85 kN
			Mq1 =	1,82 kNm
<b>Bemessungsschnittgrößen</b>				
Kombination 1 - nicht maßgebend:			Vd1 =	10,04 kN
			Hd1 =	0,30 kN
			Md1 =	3,58 kNm
Kombination 2 - maßgebend:			Vd2 =	1,57 kN
			Hd2 =	2,70 kN
			Md2 =	6,40 kNm

- Schnittkräfte und Bemessung siehe EDV folgende Seiten

$$\max \eta_{\sigma} = \underline{\underline{0,55 < 1,0}}$$

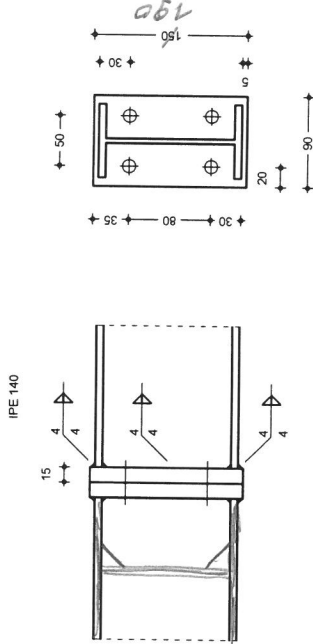
Pos. T1.1

Geometrie

M 1:5

Anschluss Koppelstange an Hauptträger

Bündige Stirnplatte nach DIN EN 1993-1-1



Mat./Querschnitt

Bauteil	Material	Querschnitt
Profil	S 235	IPE 140
Stirnplatte	S 235	b/h/t = 90/150/15

Verbindungsmittel

Verbindung	Schraube/	n	d <sub>0</sub> /l <sub>w</sub>	a <sub>w</sub>
Stirnplatten	M12-10.9	2x2	13.0	-
Steg	Kehlnaht	2	-	4.0
Flansch	Kehlnaht	-	-	4.0

Belastungen auf das System

Komm.	N <sub>x</sub>	V <sub>z</sub>	M <sub>y</sub>
LFK 2	2.70	1.75	6.50

Kombinationsbildung nach DIN EN 1990

Darstellung der maßgebenden Kombinationen

Ek	Σ (γ*ψ*EW)
1	1.00*Ed.1

ständig/vorüberg.

Bem.-schnittgrößen

Ek	N <sub>x,Ed</sub>	V <sub>z,Ed</sub>	M <sub>y,Ed</sub>
1	2.70	1.75	6.50

Mat./Querschnitt

Material- und Querschnittsangaben nach DIN EN 1993-1-1 und DIN EN 1993-1-8

Material

Material	f <sub>y</sub>	f <sub>u</sub>	E
S 235	235.0	360.0	210000

Profile

Bauteil	b <sub>to/u</sub>	t <sub>to/u</sub>	r	h <sub>w</sub>	t <sub>w</sub>
IPE 140	73.00	6.90	7.00	126.00	4.70

Bleche

Bauteil	b	h	d
Stirnplatten	90	150	15

Lochmaße

Bauteil	p <sub>2</sub>	e <sub>2</sub>	e <sub>1</sub>	p <sub>1</sub>	a <sub>2</sub>	ü
Stirnpl.	50	20	35	80	30	5

Mindestlochmaße

Bauteil	p <sub>2</sub>	e <sub>2</sub>	e <sub>1</sub>	p <sub>1</sub>	a <sub>2</sub>	ü
Stirnpl.	47	16	-	29	-	-

Nachweise (GZT)

Nachweise im Grenzzustand der Tragfähigkeit nach DIN EN 1993-1-1 und DIN EN 1993-1-8

Nachweis E-E

EK	Ort	N <sub>x,d</sub>	M <sub>y,d</sub>	V <sub>z,d</sub>	σ <sub>d</sub>	τ <sub>d</sub>
1		2.7	6.5	1.8	85.7	0.36

Träger

1		[kN]	[kNm]	[kN]	[N/mm <sup>2</sup> ]	[-]
		2.7	6.5	1.8	85.7	0.36
					3.0	
					85.7	

Zug

EK	Bauteil	F <sub>t,Ed</sub>	F <sub>t,Ed</sub>	η
1	Schrauben unten	31.18	60.70	0.51

Abscheren

EK	Bauteil	F <sub>v,Ed</sub>	F <sub>v,Ed</sub>	η
1	Schrauben oben	0.88	54.29	0.02

Lochleibung

EK	Bauteil	F <sub>ab,d</sub>	k <sub>l,z</sub>	F <sub>ab,Ed</sub>	η
1	Pl. oben	0.88	0.90	2.50	116.31

Platte unten

plastische Momente	M <sub>r</sub>	M <sub>r</sub>	M <sub>r</sub>	M <sub>r</sub>	M <sub>r</sub>	M <sub>r</sub>
	0.09	0.79	0.79	0.93	0.85	1

rechnerische Hebelarme	C <sub>1</sub>	C <sub>2</sub>	C <sub>1</sub>	C <sub>2</sub>	C <sub>1</sub>	C <sub>2</sub>
	0.96	2.70	0.96	2.70	0.96	2.70

Schubtragfähigkeit	V <sub>pl,d</sub>	V <sub>pl,d</sub>	V <sub>pl,d</sub>	V <sub>pl,d</sub>	V <sub>pl,d</sub>	V <sub>pl,d</sub>
	183.16	183.16	183.16	183.16	183.16	183.16

Zug im Trägerflansch	Z <sub>pl,d</sub>	Z <sub>pl,d</sub>	Z <sub>pl,d</sub>	Z <sub>pl,d</sub>	Z <sub>pl,d</sub>	Z <sub>pl,d</sub>
	118.37	118.37	118.37	118.37	118.37	118.37

M <sub>r</sub> /(V <sub>pl,d</sub> *C <sub>2</sub> )	0.79 / 4.95	0.79 / 4.95	0.79 / 4.95	0.79 / 4.95	0.79 / 4.95	0.79 / 4.95
	0.16	0.16	0.16	0.16	0.16	0.16

Grenztragkraft	Z <sub>R,d</sub>	Z <sub>R,d</sub>	Z <sub>R,d</sub>	Z <sub>R,d</sub>	Z <sub>R,d</sub>	Z <sub>R,d</sub>
	91.98	91.98	91.98	91.98	91.98	91.98

Minimale Grenztragkraft	min Z <sub>R,d</sub>	min Z <sub>R,d</sub>	min Z <sub>R,d</sub>	min Z <sub>R,d</sub>	min Z <sub>R,d</sub>	min Z <sub>R,d</sub>
	91.98	91.98	91.98	91.98	91.98	91.98

Anschlussmoment und Längskraft,	M <sub>y,Ed</sub>	M <sub>y,Ed</sub>	M <sub>y,Ed</sub>	M <sub>y,Ed</sub>	M <sub>y,Ed</sub>	M <sub>y,Ed</sub>
	50.19	50.19	50.19	50.19	50.19	50.19

Zusammenfassung

Nachweise (GZT)

Zusammenfassung der Nachweise

Nachweise im Grenzzustand der Tragfähigkeit

Nachweis	Bauteil	$\eta$ [-]
Nachweis E-E		OK 0.36
Schraubenzug	Schrauben unten	OK 0.51
Abscheren	Schrauben oben	OK 0.02
Lochleibung	Stirnpl. oben	OK 0.01
Stirnplatte	Stirnpl.	OK 0.55



**T2 Querträger; l<sub>max</sub> ≤ 1,50m; IPE 140; S235**

- statisches System und Belastung

siehe EDV

Eigenlast programmintern

Einzellasten [kN]

	G k	Q k
mittige Einzellast aus Bel02 (B)	0,850	9,630
Summe	0,850	9,630
G k + Q k	10,48	kN

- Schnittkräfte und Bemessung siehe EDV folgende Seiten
- Ergebnis der EDV-Berechnung

$$\begin{aligned} \max \eta_{\sigma} &= \underline{\underline{0,21 < 1,0}} \\ \max \eta_f &= \underline{\underline{0,01 < 1,0}} \end{aligned}$$

## Pos. T2

### System

M 1:100

Einfeldträger

System z-Richtung



Abmessungen	Mat./Querschnitt	l	Lage	Achsen	Material	Profil
		[m]	[°]			
Feld		1.50	0.0	fest	S 235	IPE 140
Auflager						
		x	b		Art	K <sub>x,z</sub>
		[m]	[cm]			[kNm/rad]
Lager		0.00	0.0	fest		K <sub>x,y</sub>
A		1.50	0.0	frei		frei
B				frei		frei
Endeinspannungen						
		Einspannung links				
		Ersatzlänge				
		Einspannung rechts				
		Ersatzlänge				
		E <sub>11</sub> = 100.00				
		I <sub>e</sub> = 0.00				
		E <sub>re</sub> = 100.00				
		I <sub>e</sub> = 0.00				

Belastungen auf das System

Feld	Profil	A	g
		[cm²]	[kN/m]
1	IPE 140	16.4	0.13

Belastungsgrafiken (einwirkungsbezogen)

Gk Qk.N



### Streckenlasten

Feld	Komm.	a	s	q <sub>11</sub>	q <sub>re</sub>	e
		[m]	[m]	[kN/m]	[kN/m]	[cm]
1	Eigengew.	0.00	1.50		0.13	0.0

### Punktlasten

Feld	Komm.	a	F <sub>z</sub>	e
		[m]	[kN]	[cm]
1	Einw. Gk	0.75	0.85	0.0
1	Einw. Qk.N	0.75	9.70	0.0

### Kombinationen

Kombinationsbildung nach DIN EN 1990

Ek	Σ (γ*ψ*EW)
1	1.00*Gk
2	1.35*Gk
3	1.00*Gk
4	1.00*Gk
5	1.15*Gk
6	1.00*Gk
7	1.35*Gk

ständig/vorüberg.

quasi-ständig

st./vor. Auflagerkr.

+1.50\*Qk.N  
 +0.30\*Qk.N  
 +1.50\*Qk.N

## Bem.-schnittgrößen

### Tabelle

Bemessungsschnittgrößen

Schnittgrößen (Umhüllende)

Feld	x	M <sub>y,d,min</sub>	Ek	M <sub>y,d,max</sub>	Ek	V <sub>z,d,min</sub>	Ek	V <sub>z,d,max</sub>	Ek
	[m]	[kNm]		[kNm]		[kN]		[kN]	
Feld 1	0.00	-2.98	2	-0.18	1	0.52	1	7.98	2
	0.75	0.17	1	2.96	2	0.43	1	7.85	2
	0.75	0.17	1	2.96	2	-7.85	2	-0.43	1
	1.50	-2.98	2	-0.18	1	-7.98	2	-0.52	1

Material- und Querschnittswerte nach DIN EN 1993

Querschnitt	Feld	QS	Profil	W <sub>y</sub>	S <sub>y</sub>	I <sub>y</sub>	I <sub>t</sub>
				[cm³]	[cm³]	[cm⁴]	[cm⁴]
1	1	IPE 140		77.3	44.2	541.0	2.5
				12.3	9.5	44.9	
Material							E
						f <sub>yk</sub>	
S 235						235.00	210000.00

M 1:10



## Nachweise (GZT)

### Quersch.-klasse

c/t-Verhältnis

### Nachweis E-E

Abs. 6.2

Nachweise im Grenzzustand der Tragfähigkeit nach DIN EN 1993

Maßgebende Querschnittsklasse: Klasse 1

Nachweis der Biege- und Querkrafttragfähigkeit

x Ek QS/ M<sub>y,d</sub> V<sub>z,d</sub> σ<sub>d</sub> τ<sub>d</sub> η

Feld	x	Ek	QS/	M <sub>y,d</sub>	V <sub>z,d</sub>	σ <sub>d</sub>	τ <sub>d</sub>	η
	[m]			[kNm]	[kN]	[N/mm²]		
Feld 1	(L = 1.50 m)							
	0.00	2	1/1	-2.98	7.98	38.50	0.17	*
	0.75	2	1/1	2.96	7.85	38.29	0.16	
	1.50	2	1/1	-2.98	-7.98	38.77	0.17	
						3.58		
						38.99		
						3.52		
						38.50		
						3.58		

### Stabilität

Festhaltungen

Feld 1

Nachweis der Stabilität

x-Koordinaten [m] bzgl. Feldanfang

0.00 GL, 1.50 GL

G<sub>1</sub>: Gabelträger

Globale Beiwerte

Bezugsschlenkheitsgrad:

Trägheitsrad. des Gurtes:

λ<sub>1</sub> = 93.91

i<sub>f,z</sub> = 1.87

cm

Vereinfachter Nachweis	EK	Abs.	$I_c$ [m]	$k_c$	$v_{oth}\lambda$	$z_{ul}\lambda$	$\chi$	$\max M$ [kNm]	$\eta$
Feld 1	2	1	1.50	0.76	0.65	3.17	-	-2.98	0.21*

**Nachweise (GZG)**  
Nachweise im Grenzzustand der Gebrauchstauglichkeit nach DIN EN 1993

Verformungsnachweis	$x$ [m]	$E_k$	$w_z$ [mm]	$w_{res}$ [mm]	$w_{zul}$ [mm]	$\eta$ [-]
Feld 1	0.75	4	0.06	0.06	1/300 =	5.00
						0.01

**Auflagerkräfte**  
Char. Auflagerkr.

Aufl.	$F_{z,k,min}$ [kN]	$F_{z,k,max}$ [kN]	$M_{y,k,min}$ [kNm]	$M_{y,k,max}$ [kNm]
A	0.52	0.52	-0.18	-0.18
B	0.52	0.52	0.18	0.18
A		4.85		-1.82
B		4.85		1.82

Bem.-auflagerkräfte ständig/vorüberg.	Aufl.	$F_{z,d,min}$ [kN]	EK	$F_{z,d,max}$ [kN]	EK	$M_{y,d,min}$ [kNm]	EK	$M_{y,d,max}$ [kNm]	EK
	A	0.52	6	7.98	7	-2.98	7	-0.18	6
	B	0.52	6	7.98	7	0.18	6	2.98	7

**Zusammenfassung**  
**Nachweise (GZT)**  
Nachweise im Grenzzustand der Tragfähigkeit

Nachweis	Feld	$x$ [m]	$\eta$ [-]
Nachweis E-E Stabilität	Feld 1 Feld 1	0.00 0.00	OK OK
Nachweise im Grenzzust. der Gebrauchstauglichkeit			
Nachweis	Feld	$x$ [m]	$\eta$ [-]
Verformung	Feld 1	0.75	OK
			0.01

**Nachweise (GZG)**

## W01 Widerlager „Brücke 1“ als Gabionenwand

**Gabionenwand mit Natursteinen  $\gamma \geq 20 \text{ kN/m}^3$**

**Breite 2,50m, Gesamthöhe der Gabionen 1,80m, Dicke 1,50m**

**Gründung Höhe 1,10m; Breite 2,50m Beton unbewehrt C25/30**

- System und Belastung

s. EDV-Ausdruck

$$V = 2 \cdot [4,59 \mid 17,00] / 2,50\text{m} = [3,67 \mid 13,60]\text{kN/m}$$

Versatzmoment infolge Lastausmitte von max. 0,25m

$$M = 0,25\text{m} \cdot [3,67 \mid 13,60]\text{kN/m} = [0,92 \mid 3,40]\text{kN/m}$$

Aus programmtechnischen Gründen wird eine Höhendifferenz von 2,06m angesetzt. Der Erdwiderstand luftseitig wird auf der sicheren Seite liegend für die bodenmechanischen Nachweise zu 50% berücksichtigt.

- Schnittkräfte und Bemessung siehe EDV folgende Seiten

$$\text{Nachweise GZT: } \max \eta = \underline{\underline{0,97}} < 1,0$$

$$\text{Nachweise GZN: } \max \eta = \underline{\underline{0,99}} < 1,0$$

Stahlbeton-Auflagerbalken an OK Gabione integriert:

25x25cm, L= 2,0m; C25/30

As,oben= As,unten: 2Ø12mm;

Bügel: Ø8-15cm

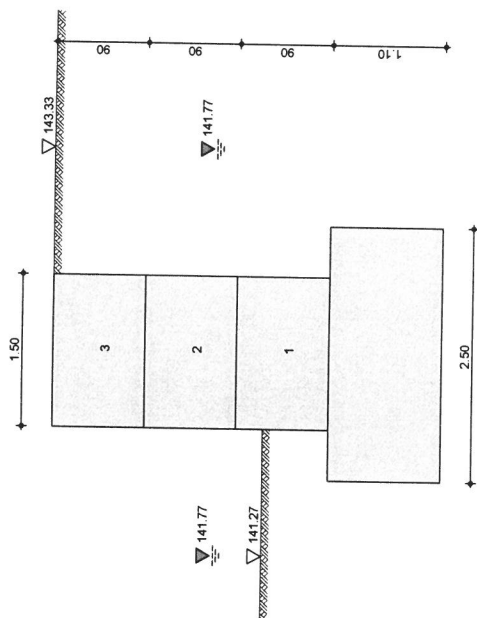
# Pos. W01

## System

M 1:50

## Widerlager (B1)

Gabionen nach FGSV, DIN EN 1997-1:2014-03



## Wandelemente

Nr.	b[m]	h[m]	n	Lage	$\delta_{sk}$ [°]	Kommentar
1	1.50	0.90	1	links	32.50	
2	1.50	0.90	1	links	32.50	
3	1.50	0.90	1	links	32.50	

Wichte

$$Y = 20.00 \text{ kN/m}^3$$

Breite

$$b = 2.50 \text{ m}$$

Höhe

$$h = 1.10 \text{ m}$$

Versatz

$$e = -0.50 \text{ m}$$

Sohlneigung

$$\delta_s = 0.00$$

Wichte

$$Y = 23.00 \text{ kN/m}^3$$

ebene Geländeoberfläche

Abstand OK Gelände-Wandkopf

$$\begin{aligned} Z_{\text{luft}} &= 2.06 \text{ m} \\ Z_{\text{erd}} &= 0.00 \text{ m} \end{aligned}$$

## Gelände

## Baugrund

Boden

h	Y	Y'	$\phi$	C <sub>a</sub>	C <sub>p</sub>	$\delta_a$	$\delta_p$	$\delta_0$
[m]	[kN/m <sup>2</sup> ]	[kN/m <sup>2</sup> ]	[°]	[kN/m <sup>2</sup> ]	[kN/m <sup>2</sup> ]	[°]	[°]	[°]
999.0	16.0	6.0	25.0	-	-	16.7	-8.3	0.0

Einwirkungen nach DIN EN 1990:2010-12

## Einwirkungen

Gk

Eigenlasten

Gk.H

Ständige Einwirkungen

Wasserdruck

Ständiger Wasserdruck

Qk.N

Nutzlasten

Kategorie A – Wohn- und Aufenthaltsräume

# Ständige Einwirkungen

Gk.H.S

# Ständige Einwirkungen

# Die Einwirkung wurde automatisch generiert.

## Belastungen

Gleichlasten luftseitig

Nr.	EW	P
		[kN/m <sup>2</sup> ]
1	Gk	2.50
2	Gk.H	5.00

Großflächige Auflast

Nr.	EW	P
		[kN/m <sup>2</sup> ]
1		2.50

Gleichlasten erdseitig

Nr.	EW	P
		[kN/m <sup>2</sup> ]
1	Qk.N	5.00

Linienlasten an Wand

Nr.	EW	av	H	V	M
		[m]	[kN/m]	[kN/m]	[kNm/m]
1	Gk	0.00	0.00	3.70	-1.00
2	Qk.N	0.00	0.00	13.60	-3.40

## Erddruck

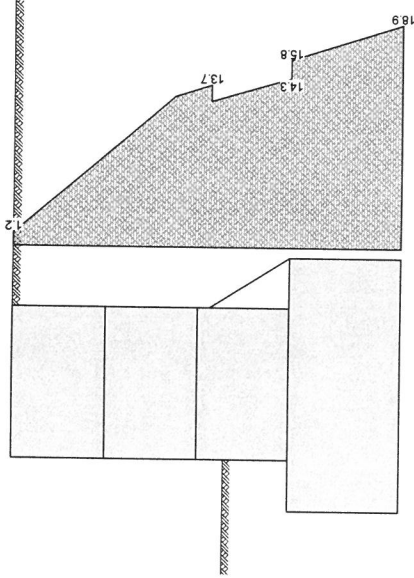
Berechnung gem. DIN 4085:2011-05

EW Gk.E.A

erhöhter aktiver Erddruck  
 Erddruckermittlung für nicht ebene Wandflächen

Mittlerer Reibungswinkel  $\varphi = 25.00^\circ$   
 Gleitflächenwinkel  $\vartheta_{ag} = 57.50^\circ$   
 Winkel Gegengleitfl.-Vertikale  $\alpha_{max} = 32.50^\circ$   
 Schnitt Gegengleitfl.-Wand  $z = 1.92$  m  
 Anteil aktiver Erddruck  $\mu = 0.50$   
 großflächige Auflast  $\leq 10$  kN/m<sup>2</sup>  $p_v = 2.50$  kN/m<sup>2</sup>

M 1:50



Grundwasser  $z_{gw} = 1.56$  m

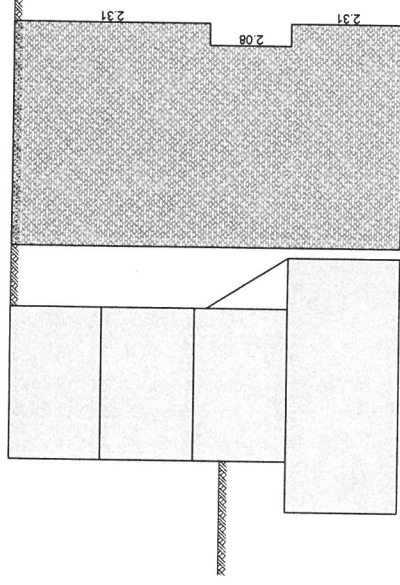
Resultierende Erddruckspannungen	z [m]	$\Sigma e'_{ah}$ [kN/m <sup>2</sup> ]
	0.00	1.15
	1.56	12.67
	1.92	13.66
	2.70	12.31
	2.70	14.27
	3.80	15.83
		18.87

erhöhte aktive Erddruckkraft  
 $E'_{ah} = 44.98$  kN/m  
 $E'_{av} = 21.45$  kN/m

EW Gk.N  
 M 1:50

Gleichlast erdseitig

$p = 5.00$  kN/m<sup>2</sup>



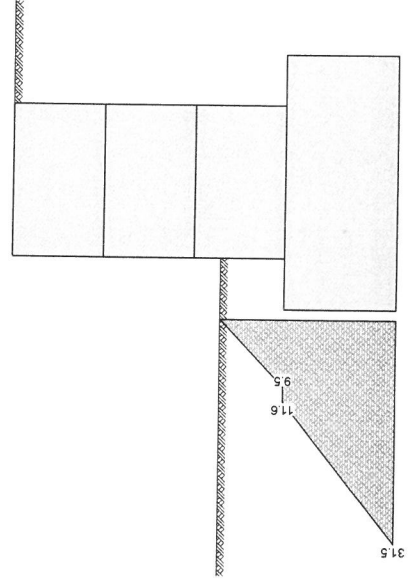
z [m]	$K'_{aph}$ [-]	$e'_{aph}$ [kN/m <sup>2</sup> ]
0.00	0.461	2.31
1.56	0.461	2.31
1.92	0.461	2.31
2.70	0.416	2.08
3.80	0.461	2.31

erhöhte aktive Erddruckkraft

$E'_{ah} = 8.59$  kN/m  
 $E'_{av} = 3.58$  kN/m

passiver Erddruck

EW Gk.E.P  
 M 1:50



Grundwasser  $z_{gw} = 1.56$  m

Resultierende Erddruckspannungen

z [m]	$\Sigma E_{ph}$ [kN/m <sup>2</sup> ]
2.06	0.00
2.70	9.46
2.70	11.58
3.80	31.48

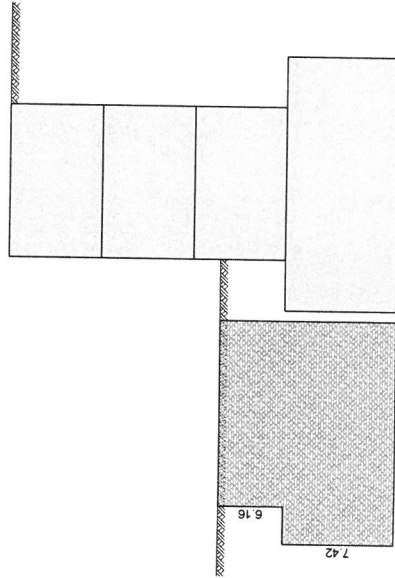
Erdwiderstand

$E_{ph} = 26.71$  kN/m  
 $E_{pv} = -3.47$  kN/m

Gleichlast luftseitig

$p = 2.50$  kN/m<sup>2</sup>

EW Gk  
M 1:50

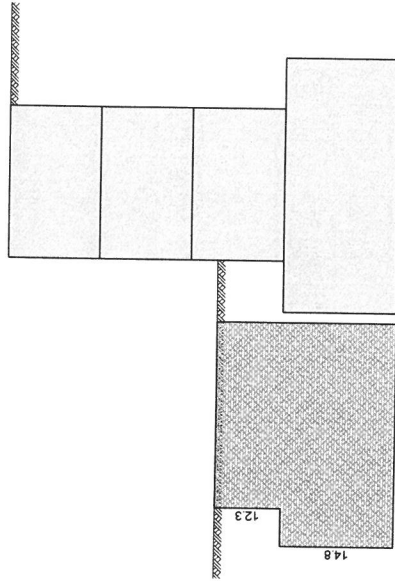


z [m]	$K_{eph}$ [-]	$E_{ph}$ [kN/m <sup>2</sup> ]
2.06	2.464	6.16
2.70	2.464	6.16
3.80	2.969	7.42
Erdwiderstand		
		$E_{ph} = 12.11$ kN/m
		$E_{pv} = -1.20$ kN/m

EW Gk.H  
M 1:50

Gleichlast luftseitig

$p = 5.00$  kN/m<sup>2</sup>



z [m]	$K_{eph}$ [-]	$E_{ph}$ [kN/m <sup>2</sup> ]
2.06	2.464	12.32
2.70	2.464	12.32
3.80	2.969	14.84
Erdwiderstand		
		$E_{ph} = 24.21$ kN/m
		$E_{pv} = -2.39$ kN/m

### Wasserdruck

luftseitig		$W_h$ [kN/m]	$W_{v, Druck}$ [kN/m]	$W_{v, Auftrieb}$ [kN/m]
GW-Stand	1.56	25.09	5.70	28.00
erdseitig		$W_h$ [kN/m]	$W_{v, Druck}$ [kN/m]	$W_{v, Auftrieb}$ [kN/m]
GW-Stand	1.56	25.09	5.70	28.00

### Kombinationen

GZ EQU: Verlust der Lagesicherheit

Ek	Typ	$\Sigma (y \cdot \psi \cdot EW)$
33	BS-P	$0.90 \cdot Gk + 1.10 \cdot Gk.H + 1.10 \cdot Gk.E.A$ $+ 1.10 \cdot Gk.H.S + 1.10 \cdot Gk.E.P + 1.50 \cdot Qk.N$

GZ SLS: Gebrauchstauglichkeit (1. Kernweite)

Ek	Typ	$\Sigma (y \cdot \psi \cdot EW)$
1	BS-P	$1.00 \cdot Gk + 1.00 \cdot Gk.H + 1.00 \cdot Gk.E.A$ $+ 1.00 \cdot Gk.H.S + 1.00 \cdot Gk.E.P$

GZ SLS: Gebrauchstauglichkeit (2. Kernweite)

Ek	Typ	$\Sigma (y \cdot \psi \cdot EW)$
1	BS-P	$1.00 \cdot Gk + 1.00 \cdot Gk.H + 1.00 \cdot Gk.E.A$ $+ 1.00 \cdot Gk.H.S + 1.00 \cdot Gk.E.P + 1.00 \cdot Qk.N$

GZ STR/GEO-2: Versagen von Bauwerken und Bauteilen (Gleiten)  
Ek Typ  $\Sigma (y \cdot \psi \cdot EW)$   
1 BS-P  $1.35 \cdot Gk + 1.35 \cdot Gk \cdot H + 1.35 \cdot Gk \cdot E \cdot A$   
 $+ 1.35 \cdot Gk \cdot H \cdot S + 1.35 \cdot Gk \cdot E \cdot P + 1.50 \cdot Qk \cdot N$   
GZ STR/GEO-2: Versagen von Bauwerken und Bauteilen  
Ek Typ  $\Sigma (y \cdot \psi \cdot EW)$   
1 BS-P  $1.35 \cdot Gk + 1.35 \cdot Gk \cdot H + 1.28 \cdot Gk \cdot E \cdot A$   
 $+ 1.35 \cdot Gk \cdot H \cdot S + 1.35 \cdot Gk \cdot E \cdot P + 1.50 \cdot Qk \cdot N$

Standardsicherheit  
Fundament  
Kippen

nach DIN 1054:2010-12, GZ EQU

Ek	$M_{Ed}$ [kNm]	$V_{Ed}$ [kN]	e/b	zul e/b	$\eta$
33	-78.34	128.20	-0.244	1/2	0.49

nach DIN EN 1997-1:2014-03, GZ SLS

Ek	$M_{Ed}$ [kNm]	$V_{Ed}$ [kN]	e/b	zul e/b	$\eta$
1	-49.43	120.24	-0.164	1/6	0.99

nach DIN EN 1997-1:2014-03, GZ SLS

Ek	$M_{Ed}$ [kNm]	$V_{Ed}$ [kN]	e/b	zul e/b	$\eta$
1	-65.71	137.43	-0.191	1/3	0.57

Mittlerer Sohldruck

Ek	$M_k$ [kNm/m]	$V_k$ [kN/m]	e	b'	$V_d$ [kN/m²]	$\sigma_{R,d}$ [kN/m²]	$\alpha_{R,d}$ [°]	$\eta$
1	-65.7	137.4	-0.48	1.54	186.4	120.75	126.00	0.96

in Sohlfuge nach DIN EN 1997-1:2014-03, GZ GEO-2

Sohlrreibungswinkel  $\delta_k = 25.00$  °

Ek	$R_k$ [kN/m]	$V_{R,h}$ [kN/m]	$R_{p,k}$ [kN/m]	$V_{R,e}$ [kN/m]	$H_d$ [kN/m]	$R_d$ [kN/m]	$\eta$
1	64.08	1.10	31.51	1.40	73.60	80.77	0.91

nach DIN EN 1997-1:2014-03, GZ GEO-2

Grundrissform: Rechteck

a'	b'	d	$\alpha$	$\beta$
[m]	[m]	[m]	[°]	[°]
2.50	1.92	1.74	0.00	0.00
$Z_{max}$	$\phi$	C	$Y_1$	$Y_2$
[m]	[°]	[kN/m²]	[kN/m³]	[kN/m³]
1.79	25.00	0.00	6.00	6.00
$T_a$	$T_b$	N	$\delta$	$\omega$
[kN]	[kN]	[kN]	[°]	[°]
0.00	22.05	133.90	9.35	90.00
				1.57

Einfluß	$N_0$	$v$	i	$\lambda$	$\xi$
Breite	4.51	0.769	0.630	1.000	1.000
Tiefe	10.66	1.325	0.754	1.000	1.000
Kohäsion	20.72	1.359	0.729	1.000	1.000
Ek	$V_d$ [kN]	$R_k$ [kN]	$V_{R,v}$ [kN]	$R_d$ [kN]	$\eta$
1	454.11	655.87	1.40	468.48	0.97

nach DIN 1054:2010-12, GZ EQU

Ek	$M_{Ed}$ [kNm]	$V_{Ed}$ [kN]	e/b	zul e/b	$\eta$
33	-23.48	121.96	-0.128	1/2	0.26

nach DIN EN 1997-1:2014-03, GZ SLS

Ek	$M_{Ed}$ [kNm]	$V_{Ed}$ [kN]	e/b	zul e/b	$\eta$
1	-9.67	103.34	-0.062	1/6	0.37

nach DIN EN 1997-1:2014-03, GZ SLS

Ek	$M_{Ed}$ [kNm]	$V_{Ed}$ [kN]	e/b	zul e/b	$\eta$
1	-18.36	120.16	-0.102	1/3	0.31

in Sohlfuge nach DIN EN 1997-1:2014-03, GZ GEO-2  
Sohlrreibungswinkel  $\delta_k = 32.50$  °

Ek	$R_k$ [kN/m]	$V_{R,h}$ [kN/m]	$R_{p,k}$ [kN/m]	$V_{R,e}$ [kN/m]	$H_d$ [kN/m]	$R_d$ [kN/m]	$\eta$
1	76.55	1.10	7.43	1.40	44.03	74.89	0.59

nach DIN 1054:2010-12, GZ EQU

Ek	$M_{Ed}$ [kNm]	$V_{Ed}$ [kN]	e/b	zul e/b	$\eta$
33	-19.18	75.49	-0.169	1/2	0.34

nach DIN EN 1997-1:2014-03, GZ SLS

Ek	$M_{Ed}$ [kNm]	$V_{Ed}$ [kN]	e/b	zul e/b	$\eta$
1	-8.50	59.74	-0.095	1/6	0.57

nach DIN EN 1997-1:2014-03, GZ SLS

Ek	$M_{Ed}$ [kNm]	$V_{Ed}$ [kN]	e/b	zul e/b	$\eta$
1	-15.19	73.95	-0.137	1/3	0.41

in Sohlfuge nach DIN EN 1997-1:2014-03, GZ GEO-2  
Sohlrreibungswinkel  $\delta_k = 32.50$  °

Ek	$R_k$ [kN/m]	$V_{R,h}$ [kN/m]	$R_{p,k}$ [kN/m]	$V_{R,e}$ [kN/m]	$H_d$ [kN/m]	$R_d$ [kN/m]	$\eta$
1	47.11	1.10	0.00	1.40	25.00	42.83	0.58



Element 3  
Kippen

nach DIN 1054:2010-12, GZ EQU

Ek	M <sub>Ed</sub> [kNm]	V <sub>Ed</sub> [kN]	e/b [-]	zul e/b [-]	η
33	-8.07	49.14	-0.110	1/2	0.22

1. kernweite

nach DIN EN 1997-1:2014-03, GZ SLS

Ek	M <sub>Ed</sub> [kNm]	V <sub>Ed</sub> [kN]	e/b [-]	zul e/b [-]	η
1	-1.92	31.29	-0.041	1/6	0.25

2. kernweite

nach DIN EN 1997-1:2014-03, GZ SLS

Ek	M <sub>Ed</sub> [kNm]	V <sub>Ed</sub> [kN]	e/b [-]	zul e/b [-]	η
1	-6.03	45.20	-0.089	1/3	0.27

Gleiten

in Sohlfuge nach DIN EN 1997-1:2014-03, GZ GEO-2  
Sohlstreitungswinkel δ<sub>k</sub> = 32.50 °

Ek	R <sub>k</sub> [kN/m]	Y <sub>Ed,h</sub> [-]	R <sub>p,k</sub> [kN/m]	Y <sub>Ed,e</sub> [-]	H <sub>d</sub> [kN/m]	R <sub>d</sub> [kN/m]	η
1	28.79	1.10	0.00	1.40	8.55	26.18	0.33

Zusammenfassung

Nachweise (GZT)

Zusammenfassung der Nachweise

Nachweise im Grenzzustand der Tragfähigkeit

Nachweis	Element	η
Kippen	Fundament	OK 0.49
Sohldruck	Fundament	OK 0.96
Gleiten	Fundament	OK 0.91
Grundbruch	Fundament	OK 0.97

Nachweise (GZG)

Nachweise im Grenzzust. der Gebrauchstauglichkeit

Nachweis	Element	η
1. Kernweite	Fundament	OK 0.99
2. Kernweite	Fundament	OK 0.57

## W01a Widerlager „Brücken 2+4“ als Gabionenwand

**Gabionenwand mit Natursteinen  $\gamma \geq 20 \text{ kN/m}^2$**

**Breite 2,50m, Gesamthöhe der Gabionen 1,65m, Dicke 1,0m**

**Gründung Höhe 0,50m; Breite 1,75m Beton unbewehrt C25/30**

- System und Belastung

s. EDV-Ausdruck

$$V = 2 \cdot [3,33 \mid 13,05] / 2,50\text{m} = [2,66 \mid 10,44]\text{kN/m}$$

Versatzmoment infolge Lastausmitte von max. 0,25m

$$M = 0,25\text{m} \cdot [2,66 \mid 10,44]\text{kN/m} = [0,67 \mid 2,61]\text{kN/m}$$

Aus programmtechnischen Gründen wird eine Höhendifferenz von 1,04m angesetzt. Der Erdwiderstand luftseitig wird auf der sicheren Seite liegend für die bodenmechanischen Nachweise zu 50% berücksichtigt.

- Schnittkräfte und Bemessung siehe EDV folgende Seiten

$$\text{Nachweise GZT: } \max \eta = \underline{\underline{0,73}} < \underline{\underline{1,0}}$$

$$\text{Nachweise GZG: } \max \eta = \underline{\underline{0,80}} < \underline{\underline{1,0}}$$

Stahlbeton-Auflagerbalken an OK Gabione integriert:

25x25cm, L= 2,0m; C25/30

As,oben= As,unten: 2Ø12mm;

Bügel: Ø8-15cm

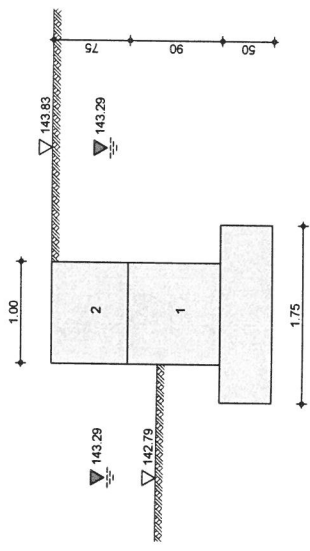
Pos. W01a

System

M 1:50

Widerlager (B2+4)

Gabionen nach FGSV, DIN EN 1997-1:2014-03



Nr.	b[m]	h[m]	n	Lage	$\delta_{s,k} [^\circ]$	Kommentar
1	1.00	0.90	1	links	32.50	
2	1.00	0.75	1	links	32.50	

Wichte  $\gamma = 20.00 \text{ kN/m}^3$

Breite  $b = 1.75 \text{ m}$

Höhe  $h = 0.50 \text{ m}$

Versatz  $e = -0.38 \text{ m}$

Sohlneigung  $\delta_s = 0.00^\circ$

Wichte  $\gamma = 23.00 \text{ kN/m}^3$

ebene Geländeoberfläche

Abstand OK Gelände-Wandkopf  $Z_{\text{Luft}} = 1.04 \text{ m}$   
 $Z_{\text{Zerd}} = 0.00 \text{ m}$

Gelände

Baugrund

Boden

$h$ [m]	$\gamma$ [kN/m <sup>3</sup> ]	$\gamma'$ [kN/m <sup>3</sup> ]	$\phi$ [ $^\circ$ ]	$c_a$ [kN/m <sup>2</sup> ]	$c_p$ [kN/m <sup>2</sup> ]	$\delta_a$ [ $^\circ$ ]	$\delta_p$ [ $^\circ$ ]	$\delta_0$ [ $^\circ$ ]
999.0	16.0	6.0	25.0	-	-	16.7	-8.3	0.0

Einwirkungen

Einwirkungen nach DIN EN 1990:2010-12

Gk	Eigenlasten
Gk.H	Ständige Einwirkungen
W	Wasserdruck
Wd	Ständiger Wasserdruck
N	Nutzlasten
A	Kategorie A - Wohn- und Aufenthaltsräume
E	Ständige Einwirkungen
H	Ständige Einwirkungen
S	Ständige Einwirkungen
P	Ständige Einwirkungen
# Die Einwirkung wurde automatisch generiert.	

Belastungen

Gleichlasten luftseitig

Nr.	EW	P
1	Gk	[kN/m <sup>2</sup> ]
2	Gk.H	2.50
		5.00

Großflächige Auflast

Nr.	EW	P
1		[kN/m <sup>2</sup> ]
		2.50

Gleichlasten erdseitig

Nr.	EW	P
1	Qk.N	[kN/m <sup>2</sup> ]
		5.00

Linienlasten an Wand

Nr.	EW	av	H	V	M
		[m]	[kN/m]	[kN/m]	[kNm/m]
1	Gk	0.00	0.00	2.75	-0.75
2	Qk.N	0.00	0.00	10.50	-2.75

Erddruck

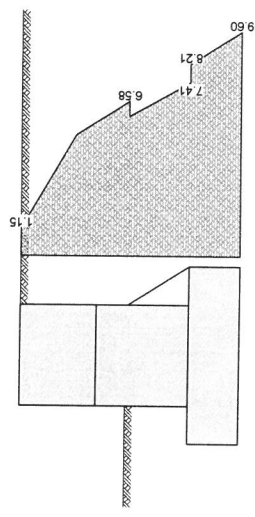
Berechnung gem. DIN 4085:2011-05

EW Gk.E.A

erhöhter aktiver Erddruck  
Erddruckermittlung für nicht ebene Wandflächen

Mittlerer Reibungswinkel  $\phi = 25.00^\circ$   
Gleitflächenwinkel  $\phi_{ag} = 57.50^\circ$   
Winkel Gegengleitfl.-Vertikale  $\phi_{max} = 32.50^\circ$   
Schnitt Gegengleitfl.-Wand  $z = 1.06 \text{ m}$   
Anteil aktiver Erddruck  $\mu = 0.50$   
großflächige Auflast  $p_v = 2.50 \text{ kN/m}^2$

M 1:50



Grundwasser

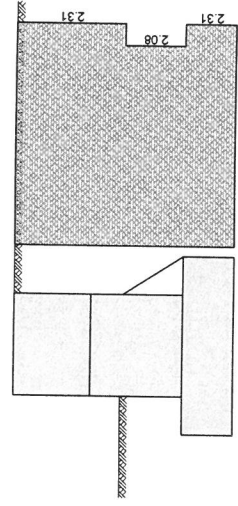
$Z_{gw} = 0.54 \text{ m}$

Resultierende Erddruckspannungen

$z$ [m]	$\Sigma e'_{ah}$ [kN/m <sup>2</sup> ]
0.00	1.15
0.54	5.14
1.06	6.58
1.06	5.94
1.65	7.41
1.65	8.21
2.15	9.60

erhöhte aktive Erddruckkraft  $E'_{ah} = 13.14 \text{ kN/m}$   
 $E'_{av} = 7.52 \text{ kN/m}$   
Gleichlast erdseitig  $p = 5.00 \text{ kN/m}^2$

EW Gk.N  
M 1:50

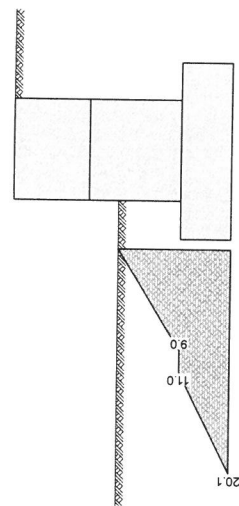


z	K' aPh	e' aPh
[m]	[-]	[kN/m²]
0.00	0.461	2.31
0.54	0.461	2.31
1.06	0.461	2.31
1.65	0.416	2.08
2.15	0.461	2.31

erhöhte aktive Erddruckkraft  $E'_{ah} = 4.83 \text{ kN/m}$   
 $E'_{av} = 2.45 \text{ kN/m}$

EW Gk.E.P  
M 1:50

passiver Erddruck

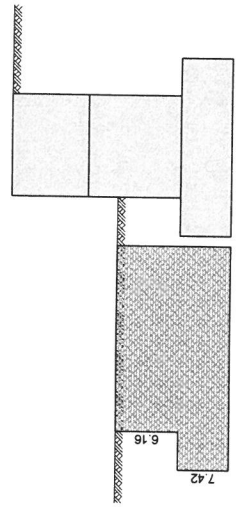


z	K' aPh	e' aPh
[m]	[-]	[kN/m²]
0.00	0.461	2.31
0.54	0.461	2.31
1.06	0.461	2.31
1.65	0.416	2.08
2.15	0.461	2.31

erhöhte aktive Erddruckkraft  $E'_{ah} = 10.53 \text{ kN/m}$   
 $E'_{av} = -1.14 \text{ kN/m}$

Gleichlast luftseitig  $p = 2.50 \text{ kN/m}^2$

EW Gk  
M 1:50

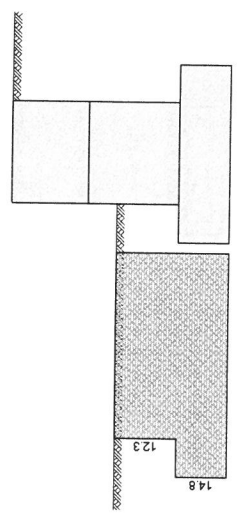


z	K' aPh	e' aPh
[m]	[-]	[kN/m²]
0.00	0.461	2.31
0.54	0.461	2.31
1.06	0.461	2.31
1.65	0.416	2.08
2.15	0.461	2.31

erhöhte aktive Erddruckkraft  $E'_{ah} = 7.47 \text{ kN/m}$   
 $E'_{av} = -0.54 \text{ kN/m}$

EW Gk.H  
M 1:50

Gleichlast luftseitig



z	K' aPh	e' aPh
[m]	[-]	[kN/m²]
0.00	0.461	2.31
0.54	0.461	2.31
1.06	0.461	2.31
1.65	0.416	2.08
2.15	0.461	2.31

erhöhte aktive Erddruckkraft  $E'_{ah} = 14.94 \text{ kN/m}$   
 $E'_{av} = -1.09 \text{ kN/m}$

Wasserdruck  
luftseitig

z	K' aPh	e' aPh
[m]	[-]	[kN/m²]
0.00	0.461	2.31
0.54	0.461	2.31
1.06	0.461	2.31
1.65	0.416	2.08
2.15	0.461	2.31

erhöhte aktive Erddruckkraft  $E'_{ah} = 14.94 \text{ kN/m}$   
 $E'_{av} = -1.09 \text{ kN/m}$

erdseitig

### Kombinationen

GZ EQU: Verlust der Lagesicherheit	
Ek Typ	$\Sigma (y \cdot \psi \cdot EW)$
33 BS-P	$0.90 \cdot Gk + 1.10 \cdot Gk.H + 1.10 \cdot Gk.E.A$ $+ 1.10 \cdot Gk.H.S + 1.10 \cdot Gk.E.P + 1.50 \cdot Qk.N$
GZ SLS: Gebrauchstauglichkeit (1. Kernweite)	
Ek Typ	$\Sigma (y \cdot \psi \cdot EW)$
1 BS-P	$1.00 \cdot Gk + 1.00 \cdot Gk.H + 1.00 \cdot Gk.E.A$ $+ 1.00 \cdot Gk.H.S + 1.00 \cdot Gk.E.P$
GZ SLS: Gebrauchstauglichkeit (2. Kernweite)	
Ek Typ	$\Sigma (y \cdot \psi \cdot EW)$
1 BS-P	$1.00 \cdot Gk + 1.00 \cdot Gk.H + 1.00 \cdot Gk.E.A$ $+ 1.00 \cdot Gk.H.S + 1.00 \cdot Gk.E.P + 1.00 \cdot Qk.N$
GZ STR/GEO-2: Versagen von Bauwerken und Bauteilen (Gleiten)	
Ek Typ	$\Sigma (y \cdot \psi \cdot EW)$
1 BS-P	$1.35 \cdot Gk + 1.35 \cdot Gk.H + 1.35 \cdot Gk.E.A$ $+ 1.35 \cdot Gk.H.S + 1.35 \cdot Gk.E.P + 1.50 \cdot Qk.N$
GZ STR/GEO-2: Versagen von Bauwerken und Bauteilen	
Ek Typ	$\Sigma (y \cdot \psi \cdot EW)$
1 BS-P	$1.35 \cdot Gk + 1.35 \cdot Gk.H + 1.28 \cdot Gk.E.A$ $+ 1.35 \cdot Gk.H.S + 1.35 \cdot Gk.E.P + 1.50 \cdot Qk.N$

### Standardsicherheit

#### Fundament Kippen

Standardsicherheitsnachweise nach DIN EN 1997-1:2014-03

nach DIN 1054:2010-12, GZ EQU

Ek	$M_{Ed}$	$V_{Ed}$	$e/b$	zul $e/b$	$\eta$
33	$[-]$	$[kN]$	$[-]$	$[-]$	$[-]$
	-19.51	52.13	-0.214	1/2	0.43

#### 1. Kernweite

Ek	$M_{Ed}$	$V_{Ed}$	$e/b$	zul $e/b$	$\eta$
1	$[-]$	$[kN]$	$[-]$	$[-]$	$[-]$
	-9.36	40.06	-0.134	1/6	0.80

#### 2. Kernweite

Ek	$M_{Ed}$	$V_{Ed}$	$e/b$	zul $e/b$	$\eta$
1	$[-]$	$[kN]$	$[-]$	$[-]$	$[-]$
	-15.69	53.01	-0.169	1/3	0.51

### Mittlerer sohlldruck

Ek	$M_k$	$V_k$	$e$	$b'$	$V_d$	$\sigma_{R,d}$	$\sigma_{R,d}$	$\eta$
1	$[kNm/m]$	$[kN/m]$	$[m]$	$[m]$	$[kN/m]$	$[kN/m^2]$	$[kN/m^2]$	$[-]$
	-15.7	53.0	-0.30	1.16	72.9	62.95	126.00	0.50

### Gleiten

in Sohlfluge nach DIN EN 1997-1:2014-03, GZ GEO-2							
Sohlreibungswinkel							
$\delta_k = 25.00$							
Ek	$R_k$	$Y_{R,h}$	$R_{p,k}$	$Y_{R,e}$	$H_d$	$R_d$	$\eta$
	[kN/m]	[-]	[kN/m]	[-]	[kN/m]	[kN/m]	[-]
1	24.72	1.10	16.47	1.40	24.97	34.24	0.73

### Grundbruch

nach DIN EN 1997-1:2014-03, GZ GEO-2									
Grundrissform: Rechteck									
$a'$	$b'$	$d$	$\alpha$	$\beta$					
[m]	[m]	[m]	[°]	[°]					
2.50	1.49	1.11	0.00	0.00					
$z_{max}$	$\varphi$	$c$	$Y_1$	$Y_2$					
[m]	[°]	[kN/m <sup>2</sup> ]	[kN/m <sup>3</sup> ]	[kN/m <sup>3</sup> ]					
1.90	25.00	0.00	6.00	6.00					
$T_a$	$T_b$	$N$	$\delta$	$\omega$					
[kN]	[kN]	[kN]	[°]	[°]					
0.00	1.50	51.63	1.66	90.00					
Einfluß		$v$	$i$	$\lambda$	$\xi$				
Breite		$N_0$	0.926	1.000	1.000	3.42			
Tiefe		4.51	0.821	1.000	1.000	12.72			
Kohäsion		10.66	1.252	1.000	1.000	25.12			
		20.72	1.278	1.000	1.000				
$E_k$	$V_d$	$R_k$	$Y_{R,v}$	$R_d$	$\eta$				
	[kN]	[kN]	[-]	[kN]	[-]				
1	177.57	429.84	1.40	307.03	0.58				

### Element 1 Kippen

nach DIN 1054:2010-12, GZ EQU

Ek	$M_{Ed}$	$V_{Ed}$	$e/b$	zul $e/b$	$\eta$
33	$[kNm]$	$[kN]$	$[-]$	$[-]$	$[-]$
	-8.63	58.90	-0.146	1/2	0.29

#### 1. Kernweite

nach DIN EN 1997-1:2014-03, GZ SLS

Ek	$M_{Ed}$	$V_{Ed}$	$e/b$	zul $e/b$	$\eta$
1	$[kNm]$	$[kN]$	$[-]$	$[-]$	$[-]$
	-2.05	42.61	-0.048	1/6	0.29

nach DIN EN 1997-1:2014-03, GZ SLS

Ek	$M_{Ed}$	$V_{Ed}$	$e/b$	zul $e/b$	$\eta$
1	$[kNm]$	$[kN]$	$[-]$	$[-]$	$[-]$
	-6.40	55.39	-0.115	1/3	0.35

### Gleiten

in Sohlfluge nach DIN EN 1997-1:2014-03, GZ GEO-2							
Sohlreibungswinkel							
$\delta_k = 32.50$							
$E_k$	$R_k$	$Y_{R,h}$	$R_{p,k}$	$Y_{R,e}$	$H_d$	$R_d$	$\eta$
	[kN/m]	[-]	[kN/m]	[-]	[kN/m]	[kN/m]	[-]
	35.29	1.10	7.01	1.40	17.23	37.09	0.46

### Element 2 Kippen

nach DIN 1054:2010-12, GZ EQU

Ek	$M_{Ed}$	$V_{Ed}$	$e/b$	zul $e/b$	$\eta$
33	$[kNm]$	$[kN]$	$[-]$	$[-]$	$[-]$
	-6.27	32.56	-0.193	1/2	0.39

1. Kernweite

nach DIN EN 1997-1:2014-03, GZ SLS

Ek	M <sub>Ed</sub> [kNm]	V <sub>Ed</sub> [kN]	e/b [-]	zul e/b [-]	η
1	-1.38	18.17	-0.076	1/6	0.46

2. kernweite

nach DIN EN 1997-1:2014-03, GZ SLS

Ek	M <sub>Ed</sub> [kNm]	V <sub>Ed</sub> [kN]	e/b [-]	zul e/b [-]	η
1	-4.65	28.92	-0.161	1/3	0.48

Gleiten

in Sohlfuge nach DIN EN 1997-1:2014-03, GZ GEO-2  
Sohlstreitungswinkel

$\delta_k = 32.50^\circ$

Ek	R <sub>k</sub> [kN/m]	Y <sub>g,h</sub> [-]	R <sub>p,k</sub> [kN/m]	Y <sub>g,e</sub> [-]	H <sub>d</sub> [kN/m]	R <sub>d</sub> [kN/m]	η
1	18.42	1.10	0.00	1.40	6.43	16.75	0.38

Zusammenfassung

Zusammenfassung der Nachweise

Nachweise (GZT)

Nachweise im Grenzzustand der Tragfähigkeit

Nachweis	Element	η
Kippen	Fundament	OK 0.43
Sohldruck	Fundament	OK 0.50
Gleiten	Fundament	OK 0.73
Grundbruch	Fundament	OK 0.58

Nachweise (GZG)

Nachweise im Grenzzust. der Gebrauchstauglichkeit

Nachweis	Element	η
1. Kernweite	Fundament	OK 0.80
2. Kernweite	Fundament	OK 0.51

61

### W01b Widerlager „Brücke 5“ als Gabionenwand

**Gabionenwand mit Natursteinen  $\gamma \geq 20 \text{ kN/m}^3$**

**Breite 2,50m, Gesamthöhe der Gabionen 2,25m, Dicke 1,50m**

**Gründung Höhe 0,50m; Breite 2,20m Beton unbewehrt C25/30**

- System und Belastung

s. EDV-Ausdruck

$$V = 2 \cdot [4,59 \mid 17,00] / 2,50\text{m} = [3,67 \mid 13,60]\text{kN/m}$$

Versatzmoment infolge Lastausmitte von max. 0,25m

$$M = 0,25\text{m} \cdot [3,67 \mid 13,60]\text{kN/m} = [0,92 \mid 3,40]\text{kN/m}$$

Aus programmtechnischen Gründen wird eine Höhendifferenz von 1,04m angesetzt. Der Erdwiderstand luftseitig wird auf der sicheren Seite liegend für die bodenmechanischen Nachweise zu 50% berücksichtigt.

- Schnittkräfte und Bemessung siehe EDV folgende Seiten

$$\text{Nachweise GZT: } \max \eta = \underline{\underline{0,95}} < \underline{\underline{1,0}}$$

$$\text{Nachweise GZG: } \max \eta = \underline{\underline{0,70}} < \underline{\underline{1,0}}$$

Stahlbeton-Auflagerbalken an OK Gabione integriert:

25x25cm, L= 2,0m; C25/30

As,oben= As,unten: 2Ø12mm;

Bügel: Ø8-15cm

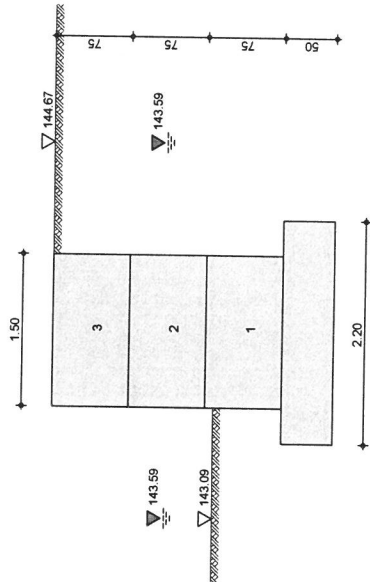
# Pos. W01b

## System

M 1:50

## Widerlager (B5)

Gabionen nach FGSV, DIN EN 1997-1:2014-03



## Wandelemente

Nr.	b[m]	h[m]	n	Lage	$\delta_s, k[^\circ]$	Kommentar
1	1.50	0.75	1	links	32.50	
2	1.50	0.75	1	links	32.50	
3	1.50	0.75	1	links	32.50	

## Wichte

Breite	b =	2.20	m
Höhe	h =	0.50	m
Versatz	e =	-0.35	m
Sohlneigung	$\delta_s =$	0.00	°
Wichte	Y =	23.00	kN/m <sup>3</sup>

## ebene Geländeoberfläche

Abstand OK Gelände-Wandkopf	Z <sub>luft</sub> =	1.58	m
	Z <sub>erd</sub> =	0.00	m

## Gelände

## Baugrund

### Boden

h [m]	Y [kN/m <sup>3</sup> ]	Y' [kN/m <sup>3</sup> ]	$\varphi [^\circ]$	C <sub>a</sub> [kN/m <sup>2</sup> ]	C <sub>p</sub> [kN/m <sup>2</sup> ]	$\delta_a [^\circ]$	$\delta_p [^\circ]$	$\delta_0 [^\circ]$
999.0	16.0	6.0	25.0	-	-	16.7	-8.3	0.0

## Einwirkungen

Einwirkungen nach DIN EN 1990:2010-12

Eigenlasten	
Ständige Einwirkungen	
Wasserdruck	
Ständiger Wasserdruck	
Nutzlasten	
Kategorie A - Wohn- und Aufenthaltsräume	
# Ständige Einwirkungen	
Gk.H.S	
# Ständige Einwirkungen	
Gk.E.P	
# Ständige Einwirkungen	
# Die Einwirkung wurde automatisch generiert.	

## Belastungen

Gleichlasten luftseitig

Nr.	EW	P [kN/m <sup>2</sup> ]
1	Gk	2.50
2	Gk.H	5.00

Großflächige Auflast

Nr.	EW	P [kN/m <sup>2</sup> ]
1		2.50

Gleichlasten erdseitig

Nr.	EW	P [kN/m <sup>2</sup> ]
1	Gk.N	5.00

Linienlasten an Wand

Nr.	EW	av [m]	H [kN/m]	V [kN/m]	M [kNm/m]
1	Gk	0.00	0.00	3.70	-1.00
2	Gk.N	0.00	0.00	13.60	-3.40

## Erddruck

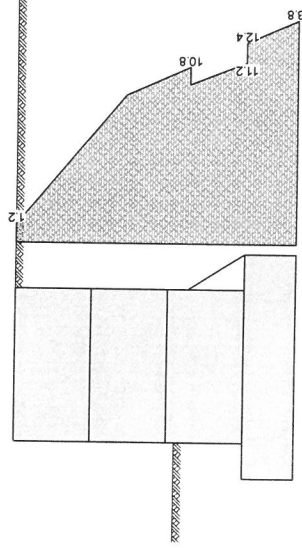
Berechnung gem. DIN 4085:2011-05

EW Gk.E.A

erhöhter aktiver Erddruck  
 Erddruckermittlung für nicht ebene Wandflächen

Mittlerer Reibungswinkel  $\varphi = 25.00$  °  
 Gleitflächenwinkel  $\varphi_{ag} = 57.50$  °  
 Winkel Gegengleitfl.-Vertikale  $\alpha_{max} = 32.50$  °  
 Schnitt Gegengleitfl.-Wand  $z = 1.70$  m  
 Anteil aktiver Erddruck  $\mu = 0.50$  -  
 großflächige Auflast  $\leq 10$  kN/m<sup>2</sup>  $P_v = 2.50$  kN/m<sup>2</sup>

M 1:50



Grundwasser

Z	Z <sub>gw</sub> =	1.08	m
---	-------------------	------	---

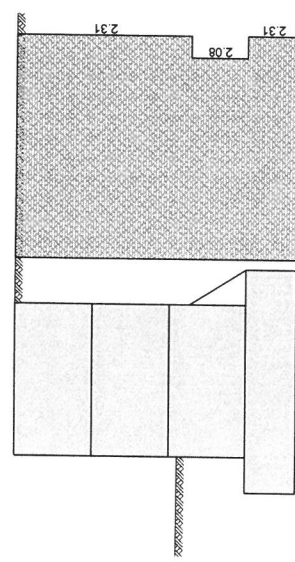
Resultierende Erddruckspannungen

Z [m]	$\Sigma e'_{ah}$ [kN/m <sup>2</sup> ]
0.00	1.15
1.08	9.13
1.70	10.85
2.25	9.78
2.25	11.15
2.25	12.37



z	Σe'ah
[m]	[kN/m²]
2.75	13.75
erhöhte aktive Erddruckkraft	E'ah = 24.03 kN/m
	E'av = 11.71 kN/m
Gleichlast erdseitig	p = 5.00 kN/m²

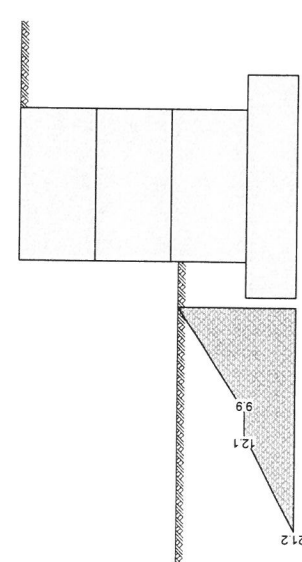
EW Gk.N  
M 1:50



z	K'aph	e'aph
[m]	[-]	[kN/m²]
0.00	0.461	2.31
1.08	0.461	2.31
1.70	0.461	2.31
2.25	0.416	2.08
2.75	0.461	2.31
erhöhte aktive Erddruckkraft	E'ah = 6.22 kN/m	E'av = 2.54 kN/m

EW Gk.E.P  
M 1:50

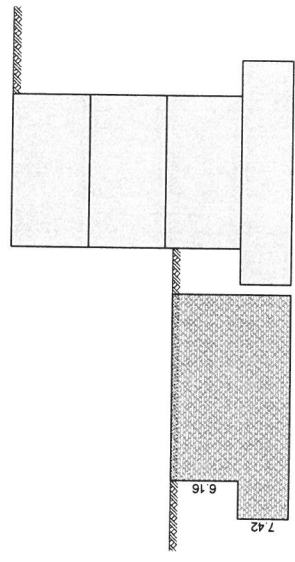
passiver Erddruck



Grundwasser  
zgw = 1.08 m

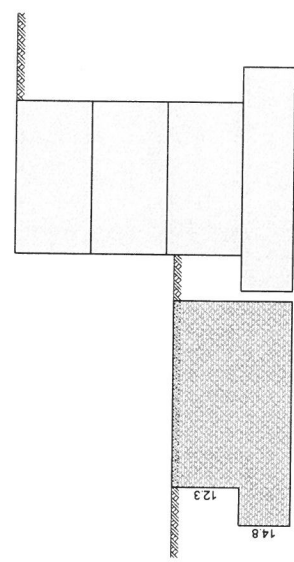
Resultierende Erddruckspannungen	z	$\Sigma E_{ph}$
	[m]	[kN/m <sup>2</sup> ]
	1.58	0.00
	2.25	9.90
	2.25	12.12
	2.75	21.16
Erdwiderstand	$E_{ph} =$	11.64 kN/m
	$E_{gv} =$	-1.22 kN/m
Gleichlast luftseitig	p =	2.50 kN/m <sup>2</sup>

EW Gk  
M 1:50



z [m]	K <sub>aph</sub> [-]	e <sub>aph</sub> [kN/m <sup>2</sup> ]
1.58	2.464	6.16
2.25	2.464	6.16
2.75	2.969	7.42
Erdwiderstand	E <sub>ph</sub> = 7.84 kN/m <sup>2</sup> E <sub>pv</sub> = -0.54 kN/m <sup>2</sup>	
Gleichlast luftseitig	p = 5.00 kN/m <sup>2</sup>	

EW Gk.H  
M 1:50



Z	K <sub>pph</sub>	E <sub>pph</sub>
[m]	[kN/m²]	[kN/m²]
1.58	2.464	12.32
2.25	2.464	12.32
2.75	2.969	14.84
Erdwiderstand		
		E <sub>ph</sub> = 15.68 kN/m
		E <sub>pv</sub> = -1.09 kN/m

## Wasserdruck luftseitig

GW-Stand	W <sub>h</sub>	W <sub>v, Druck</sub>	W <sub>v, Auftrieb</sub>
[m]	[kN/m]	[kN/m]	[kN/m]
1.08	13.94	4.10	18.37
erdseitig			
GW-Stand	W <sub>h</sub>	W <sub>v, Druck</sub>	W <sub>v, Auftrieb</sub>
[m]	[kN/m]	[kN/m]	[kN/m]
1.08	13.94	4.10	18.37

## Kombinationen

GZ EQU: Verlust der Lagesicherheit	
Ek Typ	Σ (γ*ψ * EW)
33 BS-P	0.90*Gk+1.10*Gk.H+1.10*Gk.E.A
	+1.10*Gk.H.S+1.10*Gk.E.P+1.50*Qk.N
GZ SLS: Gebrauchstauglichkeit (1. Kernweite)	
Ek Typ	Σ (γ*ψ * EW)
1 BS-P	1.00*Gk+1.00*Gk.H+1.00*Gk.E.A
	+1.00*Gk.H.S+1.00*Gk.E.P
GZ SLS: Gebrauchstauglichkeit (2. Kernweite)	
Ek Typ	Σ (γ*ψ * EW)
1 BS-P	1.00*Gk+1.00*Gk.H+1.00*Gk.E.A
	+1.00*Gk.H.S+1.00*Gk.E.P+1.00*Qk.N
GZ STR/GEO-2: Versagen von Bauwerken und Bauteilen (Gleiten)	
Ek Typ	Σ (γ*ψ * EW)
1 BS-P	1.35*Gk+1.35*Gk.H+1.35*Gk.E.A
	+1.35*Gk.H.S+1.35*Gk.E.P+1.50*Qk.N
GZ STR/GEO-2: Versagen von Bauwerken und Bauteilen	
Ek Typ	Σ (γ*ψ * EW)
1 BS-P	1.35*Gk+1.35*Gk.H+1.28*Gk.E.A
	+1.35*Gk.H.S+1.35*Gk.E.P+1.50*Qk.N

## Standortsicherheit

### Fundament kippen

Standortsicherheitsnachweise nach DIN EN 1997-1:2014-03

nach DIN 1054:2010-12, GZ EQU				
Ek	M <sub>Ed</sub>	V <sub>Ed</sub>	e/b	zul e/b
	[kNm]	[kN]	[-]	[-]
33	-35.59	88.42	-0.183	1/2 0.37
nach DIN EN 1997-1:2014-03, GZ SLS				
Ek	M <sub>Ed</sub>	V <sub>Ed</sub>	e/b	zul e/b
	[kNm]	[kN]	[-]	[-]
1	-19.39	76.08	-0.116	1/6 0.70

## 1. Kernweite

## 2. Kernweite

nach DIN EN 1997-1:2014-03, GZ SLS

Ek	M <sub>Ed</sub>	V <sub>Ed</sub>	e/b	zul e/b
	[kNm]	[kN]	[-]	[-]
1	-29.14	92.22	-0.144	1/3 0.43

nach DIN 1054:2010-12

Ek	M <sub>k</sub>	V <sub>k</sub>	e	b'	V <sub>d</sub>	σ <sub>R,d</sub>	σ <sub>R,d</sub>
	[kNm/m]	[kN/m]	[m]	[m]	[kN/m]	[kN/m²]	[kN/m²]
1	-29.1	92.2	-0.32	1.57	126.0	80.35	126.00

## gleiten

in Sohlfuge nach DIN EN 1997-1:2014-03, GZ GEO-2  
Sohlfugeigungswinkel δ<sub>k</sub> = 25.00 °

Ek	R <sub>k</sub>	γ <sub>a,h</sub>	R <sub>o,k</sub>	γ <sub>R,e</sub>	H <sub>d</sub>	R <sub>d</sub>
	[kN/m]	[-]	[kN/m]	[-]	[kN/m]	[kN/m]
1	43.00	1.10	17.58	1.40	41.77	51.65

## Grundbruch

nach DIN EN 1997-1:2014-03, GZ GEO-2

Grundrissform: Rechteck

a'	b'	d	α	β
[m]	[m]	[m]	[°]	[°]
2.50	1.78	1.17	0.00	0.00
Z <sub>max</sub>	φ	c	Y <sub>1</sub>	Y <sub>2</sub>
[m]	[°]	[kN/m²]	[kN/m³]	[kN/m³]
1.77	25.00	0.00	6.00	6.00
T <sub>a</sub>	T <sub>b</sub>	N	δ	ω
[kN]	[kN]	[kN]	[°]	[°]
0.00	12.67	90.79	7.95	90.00
Einfluß				
	N <sub>0</sub>	v	i	λ
Breite	4.51	0.786	0.678	1.000
Tiefe	10.66	1.302	0.788	1.000
Kohäsion	20.72	1.333	0.766	1.000
Ek	V <sub>d</sub>	R <sub>k</sub>	γ <sub>R,v</sub>	R <sub>d</sub>
	[kN]	[kN]	[-]	[kN]
1	310.17	457.23	1.40	326.59

## Element 1 kippen

nach DIN 1054:2010-12, GZ EQU

Ek	M <sub>Ed</sub>	V <sub>Ed</sub>	e/b	zul e/b
	[kNm]	[kN]	[-]	[-]
33	-18.02	99.86	-0.120	1/2 0.24

## 1. Kernweite

nach DIN EN 1997-1:2014-03, GZ SLS

Ek	M <sub>Ed</sub>	V <sub>Ed</sub>	e/b	zul e/b
	[kNm]	[kN]	[-]	[-]
1	-6.86	81.95	-0.056	1/6 0.33

## 2. Kernweite

nach DIN EN 1997-1:2014-03, GZ SLS

Ek	M <sub>Ed</sub> [kNm]	V <sub>Ed</sub> [kN]	e/b	zul	e/b	η
1	-13.98	97.92	-0.095	1/3	0.29	

## Gleiten

in Sohlfuge nach DIN EN 1997-1:2014-03, GZ GEO-2  
 Schlreibungswinkel δ<sub>k</sub> = 32.50 °

Ek	R <sub>k</sub> [kN/m]	Y <sub>R,h</sub> [-]	R <sub>p,k</sub> [kN/m]	Y <sub>R,e</sub> [-]	H <sub>d</sub> [kN/m]	R <sub>d</sub> [kN/m]	η
1	62.38	1.10	7.85	1.40	31.22	62.32	0.50

## Element 2 Kippen

nach DIN 1054:2010-12, GZ EQU

Ek	M <sub>Ed</sub> [kNm]	V <sub>Ed</sub> [kN]	e/b	zul	e/b	η
33	-14.09	66.55	-0.141	1/2	0.28	

## 1. Kernweite

nach DIN EN 1997-1:2014-03, GZ SLS

Ek	M <sub>Ed</sub> [kNm]	V <sub>Ed</sub> [kN]	e/b	zul	e/b	η
1	-5.33	50.11	-0.071	1/6	0.43	

## 2. Kernweite

nach DIN EN 1997-1:2014-03, GZ SLS

Ek	M <sub>Ed</sub> [kNm]	V <sub>Ed</sub> [kN]	e/b	zul	e/b	η
1	-10.95	64.22	-0.114	1/3	0.34	

## Gleiten

in Sohlfuge nach DIN EN 1997-1:2014-03, GZ GEO-2  
 Schlreibungswinkel δ<sub>k</sub> = 32.50 °

Ek	R <sub>k</sub> [kN/m]	Y <sub>R,h</sub> [-]	R <sub>p,k</sub> [kN/m]	Y <sub>R,e</sub> [-]	H <sub>d</sub> [kN/m]	R <sub>d</sub> [kN/m]	η
1	40.91	1.10	0.00	1.40	18.19	37.19	0.49

## Element 3 Kippen

nach DIN 1054:2010-12, GZ EQU

Ek	M <sub>Ed</sub> [kNm]	V <sub>Ed</sub> [kN]	e/b	zul	e/b	η
33	-7.26	44.84	-0.108	1/2	0.22	

## 1. Kernweite

nach DIN EN 1997-1:2014-03, GZ SLS

Ek	M <sub>Ed</sub> [kNm]	V <sub>Ed</sub> [kN]	e/b	zul	e/b	η
1	-1.52	26.63	-0.038	1/6	0.23	

## 2. Kernweite

nach DIN EN 1997-1:2014-03, GZ SLS

Ek	M <sub>Ed</sub> [kNm]	V <sub>Ed</sub> [kN]	e/b	zul	e/b	η
1	-5.38	40.49	-0.089	1/3	0.27	

## Gleiten

in Sohlfuge nach DIN EN 1997-1:2014-03, GZ GEO-2  
 Schlreibungswinkel δ<sub>k</sub> = 32.50 °

Ek	R <sub>k</sub> [kN/m]	Y <sub>R,h</sub> [-]	R <sub>p,k</sub> [kN/m]	Y <sub>R,e</sub> [-]	H <sub>d</sub> [kN/m]	R <sub>d</sub> [kN/m]	η
1	25.79	1.10	0.00	1.40	6.57	23.45	0.28

## Zusammenfassung

Zusammenfassung der Nachweise

## Nachweise (GZT)

Nachweise im Grenzzustand der Tragfähigkeit

Nachweis	Element	η
Kippen	Fundament	OK 0.37
Sohlndruck	Fundament	OK 0.64
Gleiten	Fundament	OK 0.81
Grundbruch	Fundament	OK 0.95

## Nachweise (GZG)

Nachweise im Grenzzust. der Gebrauchstauglichkeit

Nachweis	Element	η
1. Kernweite	Fundament	OK 0.70
2. Kernweite	Fundament	OK 0.43

## **Brücke 3**

Brücke aus Stahlbeton-Fertigteilen mit Nutzung durch ein Wartungsfahrzeug; kein Belag

### **PL01 Fertigteil-Brückenplatte: d=30cm, $l_{\max} \leq 5,75\text{m}$ ; b=3,0m; C35/45**

von oben: XC4; XD1; XF4; XM2; WA

von unten: XC3; XF1

#### **Allgemeines:**

Im nachfolgenden wird der statische Nachweis für eine Brückenplatte mit der lichten Spannweite von 5,00m erbracht. Es sind nachfolgende Elemente nachzuweisen:

**Pos. PL01: Brückenplatte:**  $l/b \times h = 6,00 / 3,0 / 0,30 \text{ m}$  (Verjüngung am Rand)

**Pos. W02: Stützwand:**  $l/b \times h = 1,25 / 3,0 / 1,50 \text{ m}$  zzgl. Fundament 1,0/ 2,50/ 3,0m

Die vertikalen Verkehrslasten werden entsprechend der

DIN EN 1991-2:2010-12 „Einwirkung für Tragwerke auf Brücken“ berücksichtigt.

Die Deckenplatte verfügt über keinen Straßenaufbau. Als vertikale Verkehrslast

wird das Lastmodell 4 berücksichtigt sowie eine Unplanmäßige Anwesenheit von Fahrzeugen.

Die Deckenplatten lagert auf einer Stützwand, sie ist mittels Verdollung mit der Stützwand in ihrer Lage gesichert.

Die Abdichtungsmaßnahmen der Fertigteile untereinander liegen in der Verantwortung des Auftraggebers.

#### **zu Pos. W02 Gründung / Bodenkennwerte**

##### **Gründung / Bodenkennwerte:**

Es liegt kein Baugrundgutachten vor.

Die Bemessung erfolgt mit nachfolgenden Bodenkennwerten:

cal  $\gamma = 16,0 \text{ kN/m}^3$

cal  $\gamma' = 6,0 \text{ kN/m}^3$

cal  $\phi = 25,0^\circ$

Grundwasser wird für die Bemessung bis 143,07NN angesetzt.

Die Gründungssohle ist für den Einbau der Stützwände so herzurichten, dass ein Sohldruck von  $\min \sigma_{R,d} = 126 \text{ kN/m}^2$  nach Baugrundgutachten aufgenommen werden kann.

Der Baugrund ist hinsichtlich der Vorgabe und der Tragfähigkeit zu überprüfen. Bei schlecht tragfähigem Baugrund ist eine Baugrundverbesserung erforderlich. Diese ist aus rolligem Erdstoff von mindestens 60 cm Dicke herzustellen. Der einzubauende Unterbau sollte aus Kies  $d = 2$  bis 60 mm,  $U \geq 7$  mm Feinsandanteilen  $< 5 \%$  bestehen.

Vor der Bauausführung ist der Baugrund auf Übereinstimmung mit den in der statischen Berechnung getroffenen Annahmen verantwortlich vom Auftraggeber zu überprüfen.

#### **Vorschriften:**

DIN EN 1990:2010-12, DIN EN 1990/NA/A1:2012-08 Grundlagen der Tragwerksplanung

DIN EN 1991-1-1:2010-12 DIN EN 1991-1-1/NA:2010-12 Allgemeine Einwirkungen auf Tragwerke

DIN EN 1991-2:2010-12, DIN EN 1991-2/NA:2012-08 Verkehrslasten auf Brücken

DIN EN 1992-1-1:2011-01 DIN EN 1992-1-1/NA:2011-01 Stahlbeton Bemessung und Konstruktion

DIN EN 1997-1: 2009-09 DIN EN 1997-1/NA:2010-12 Berechnung u. Bemessung in der Geot.

DIN 4085:2011-05 Baugrund - Berechnung des Erddrucks

DIN 1054:2010-12 Sicherheitsnachw. im Erd- und Grundbau

Auf spezielle Literatur wird im Text direkt verwiesen.

### Expositionsklassen / Betondeckung:

*Abminderung von  $\Delta C_{dev}$  um 5 mm nach DIN EN 1992-1-1 / 4.4.1.3 (3) möglich, wenn dies durch eine entsprechende Qualitätskontrolle bei Planung, Entwurf, Herstellung und Bauausführung gerechtfertigt werden kann (siehe z. B. DBV-Merkblätter „Betondeckung und Bewehrung“, „Unterstützungen“ und „Abstandhalter“).*

*Abminderung von  $\min c$  um 5 mm nach DIN 1045-1 / 6.3 (3) möglich, da die vorhandene Druckfestigkeit (C35/45) um 2 Klassen höher ist als die erforderliche Mindestdruckfestigkeit (C25/30). Nicht bei XC1 möglich.*

### Platte:

*Expositionsklassen  $\min c$   $C_{min,dur}$*

XC4 wechselnd nass und trocken C25/30: 2,5 cm

XD3 wechselnd nass und Trocken C35/45 4,0 cm

XF4 mäßige Wassers. mit Taumittel C30/37

XM2 starker Verschleiß C35/45

WA zusätzl. zu WF häufige o. langzeitige Alkalizufuhr

*Betondeckung / Verlegemaß*

DIN EN 1992:  $C_v = C_{nom} = C_{min} + \Delta C_{dev} = (4,0 - 0,5) + (1,5 - 0,5) = 4,5 \text{ cm}$

### Kappe:

*Expositionsklassen  $\min c$   $C_{min,dur}$*

XC4 wechselnd nass und trocken C25/30 2,5 cm

XD3 wechselnd nass und trocken C35/45 4,0 cm

XF2 mäßige Wassers. mit Taumittel C35/45

WA zusätzl. zu WF häufige o. langzeitige Alkalizufuhr

*Betondeckung / Verlegemaß*

DIN EN 1992:  $C_v = C_{nom} = C_{min} + \Delta C_{dev} = 4,0 + (1,5 - 0,5) = 5,0 \text{ cm}$

### Unterbau:

*Expositionsklassen  $\min c$   $C_{min,dur}$*

XC4 wechselnd nass und trocken C25/30 2,5 cm

XD2 Nass, selten trocken C35/45 4,0 cm

XF2 mäßige Wassers. mit Taumittel C35/45

WA zusätzl. zu WF häufige o. langzeitige Alkalizufuhr

nach ZTV- Ing

*Betondeckung / Verlegemaß*

$C_v = C_{nom} = 4,5 \text{ cm}$  (Luftberührt)

$C_v = C_{nom} = 5,5 \text{ cm}$  (Erdberührt)

- statisches System und Belastung

siehe EDV

Flächenlasten [kN/m²]

			G k	Q k
ständig aus Platte	0,30 * 25		7,50	
Lastmodell 4, begehbar	DIN EN 1991-2 / 4.3.2 (1)	LM 4		5,00
Summe			7,50	5,00
G k + Q k			12,50	kN/m²

Streckenlasten [kN/m]

		G k	Q k
aus Geländer	mit Auflehnlast	0,40	0,50
Summe		0,40	0,50
G k + Q k		0,90	kN/m

**zusätzliche Veränderliche Einwirkung:**

**Unplanmäßige Anwesenheit von Fahrzeugen auf der Brücke LM 1-1:**  
als Wanderlast

Entsprechend DIN EN 1991-2 / 5.6.3 (2)

Rad- / Achsabstand: 3,00 / 1,30 m

Aufstandsfläche: 0,20 x 0,20 m

Flächenlasten

Lastverteilung eines Rades bis Deckenplattenachse

$t = 0,20 + 2 \times 0,30 / 2 = 0,50 \text{ m}$

Einzelachse 1:  $Q_{sv1k} = 80 \text{ kN}$

Radlast:  $0,5 \times Q_{sv1k} = 40 \text{ kN}$

Ersatzflächenlast:  $40 / (0,50 \times 0,50) = 160 \text{ kN/m}^2$

Einzelachse 2:  $Q_{sv2k} = 40 \text{ kN}$

Radlast:  $0,5 \times Q_{sv2k} = 20 \text{ kN}$

Ersatzflächenlast:  $20 / (0,50 \times 0,50) = 80 \text{ kN/m}^2$

- Schnittkräfte und Bemessung siehe EDV folgende Seiten

- Bewehrungswahl

Rißbreitenbeschränkung auf  $w_{cal} = 0,20\text{mm}$

Grundbewehrung:

**As, längs =** Ø14- 10cm; d.h.  $15,39\text{cm}^2/\text{m}$  + Zulagen

**As, quer =** Ø12- 10cm; d.h.  $11,31\text{cm}^2/\text{m}$

- Lastweiterleitung

vertikale Auflagerkräfte [kN/m]

		W1 = W2 [kN/m]
$G_{k,1}$	=	28,08
$Q_{k,1}$	= LM 1-1	30,52
$Q_{k,2}$	= LM4	14,38
gesamt		<b>72,98</b>

- Auflager

„Calenberg Compactlager S65“ o.glw;  $t=15\text{mm}$   
maßgebend: LM1-1

$V_{E,d} = 1,35 \cdot 28,08 + 1,5 \cdot 30,52 = 83,69 \text{ kN/m}$

$V_{R,d} = 1500 \text{ kN/m} > 83,69 \text{ kN/m}$

↓

Compactlager S 65; Streifenlager										
Elastomer- breite b [mm]	Lagerdicken									
	t = 5 mm		t = 8 mm		t = 10 mm		t = 15 mm		t = 20 mm	
	zul. V [kN/m]	zul. α [‰]	zul. V [kN/m]	zul. α [‰]	zul. V [kN/m]	zul. α [‰]	zul. V [kN/m]	zul. α [‰]	zul. V [kN/m]	zul. α [‰]
25	188	40	–	–	–	–	–	–	–	–
40	400	25	300	40	–	–	–	–	–	–
50	500	20	534	32	375	40	–	–	–	–
60	600	17	600	27	600	33	–	–	–	–
70	700	14	700	23	700	29	–	–	–	–
75	750	13	750	21	750	27	563	40	–	–
80	800	13	800	20	800	25	663	38	–	–
90	900	11	900	18	900	22	900	33	–	–
100	1000	10	1000	16	1000	20	1000	30	750	40
110	1100	9	1100	15	1100	18	1100	27	957	36
120	1200	8	1200	13	1200	17	1200	25	1200	33
130	1300	8	1300	12	1300	15	1300	23	1300	31
140	1400	7	1400	11	1400	14	1400	21	1400	29
150	1500	7	1500	11	1500	13	1500	20	1500	27
160	1600	6	1600	10	1600	13	1600	19	1600	25
170	1700	6	1700	9	1700	12	1700	18	1700	24
180	1800	6	1800	9	1800	11	1800	17	1800	22
190	1900	5	1900	8	1900	11	1900	16	1900	21
200	2000	5	2000	8	2000	10	2000	15	2000	20

Einsatz in Ortbeton: Einbettung in Polystyrol  
 Einsatz in Feuerwiderstandsklasse F 90/F120: Einbettung in Cifflamon-Brandschutzplatte

Horizontallastaufnahme:

$$H_k = 0,60 \cdot 120,0 \text{ kN} = 72,0 \text{ kN}$$

4 Dorne je Seite

$$H_{k,1} = 72,0 \text{ kN} / 4 = 18,0 \text{ kN}$$

$$H_{d,1} = 1,5 \cdot 18,0 \text{ kN} = 27,0 \text{ kN}$$

min Randabstand (W02a) = 125 mm

Mindestbetongüte C30/37

- Schnittkräfte und Bemessung siehe EDV folgende Seiten

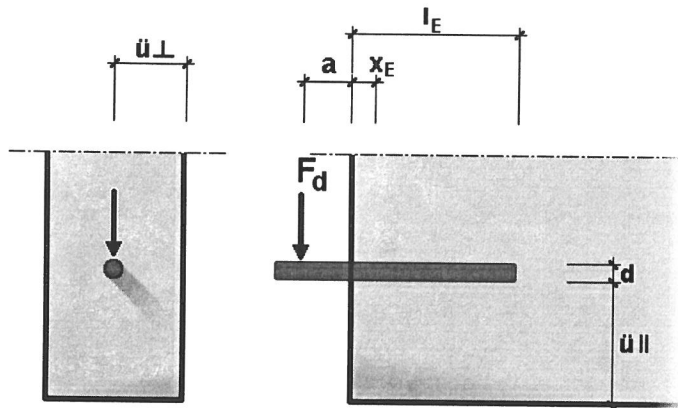
Scherbolzen Ø 30 mm; BSt 500B  
DH 33 Fa. Müller o. glw.

Scherbolzen:  $\max \eta = \underline{\underline{0,66 < 1,0}}$

Beton:  $\max \eta = \underline{\underline{0,76 < 1,0}}$



Position: W02-1



### Scherbolzen nach EC2:

$$a = 10 \text{ mm}$$

$$l_E = 300 \text{ mm}$$

$$x_E = 25 \text{ mm}$$

$$\bar{u}_\perp = 125 \text{ mm}$$

$$\bar{u}_\parallel = 125 \text{ mm}$$

$$d = 30 \text{ mm}$$

C30/37 ( $f_{ck} = 30,00 \text{ N/mm}^2$ ,  $f_{ck,cube} = 37,00 \text{ N/mm}^2$ ) --> bewehrt  
B500 (A, B)

$$F_{Ed} = 27,000 \text{ kN (vorwiegend ruhend)}$$

Nachweise: (gemäß Verfahren DBV)

### Nachweis Scherbolzen:

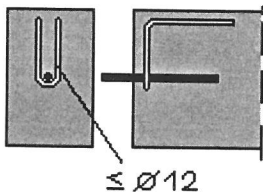
$$F_{Ed} = 27,00 \text{ kN} \leq F_{Rd,s} = 41,159 \text{ kN}$$

### Nachweis Beton:

$$F_{Ed} = 27,000 \text{ kN} \leq F_{Rd,c} = 35,734 \text{ kN}$$

Aufgrund der geringen Randabstände ( $< 8 \cdot d$ ) wird eine zusätzliche Bewehrung notwendig!

$$\text{erf. } A_s = 0,62 \text{ cm}^2 \text{ (als Bügelschlaufe)} \rightarrow \Psi = 1,00$$



gewählt: DH33, Fa. Müller o. glw.

# Mindestbewehrung von Stahlbetonbauteilen für vorgegebene Rißbreite bei Zwang nach Heft 400 DAfStb und EC 2

## Eingabe

Bezeichnung	Abkürzung	Einheit	Wert	
Beton-Nennfestigkeit	ßWN	MN/m²	45	(auch von DIN 1045 abweichend)
Bauteildicke	d	m	0,30	
Betondeckung	c	cm	6,0	
Stabdurchmesser	ds	mm	14,0	
Rechenwert der Rißbreite	wkcal	mm	0,20	
Faktor für Betonalter	kzt		0,5	("Hydratation": s. Heft 400, S.171 )

## Ergebnisse

			Heft 400 bzw. [1]		EC 2 bzw. [1]	
nach Heft 400: für $0,30 < d < 0,80$ kE linear interpoliert			mittiger Zwang	Biegezwang	mittiger Zwang	Biegezwang
Bezeichnung	Abkürzung	Einheit				
Nutzhöhe	h	m	0,233	0,233	0,233	0,233
Wirkungszone der Bewehrung	hw	m	0,15	0,0801	0,15	0,0801
mittlere Betonzugfestigkeit	ßbzm	MN/m²	1,90	1,90	1,90	1,90
wirksame Betonzugfestigkeit	ßbzw	MN/m²	1,52	1,52	1,52	1,52
Rißlaststahlspannung ( $< 0,8 \beta_s$ !)	sigsR	MN/m²	166,84	200,04	193,01	232,01
Mindestbewehrung	as1=as2; as	cm²/m	13,65	4,55	11,80	3,93
Stababstand	s	cm	11,3	33,8	13,0	39,2
[ für indirekten Zwang ( $kE=1,0$ ) (1)	as1=as2; as	cm²/m	17,06	5,69	14,75	4,91
[ für abliegende Bauteile ( $kE=0,6$ ) (2)	as1=as2	cm²/m	10,24	3,42	8,85	2,94
nach [1]: für $0,30 < d < 0,80$ as1 bzw. as linear interpoliert (4)					(3)	(3)
Mindestbewehrung	as1=as2; as	cm²/m	13,65	4,55	11,80	3,93
Stababstand	s	cm	11,3	33,8	13,0	39,2

[1] Meyer, G.: Rissbreitenbeschränkung nach DIN 1045, Beton-Verlag, 1989

(1) Zwang wird durch andere Bauteile hervorgerufen, z. B. Stützensenkung;  
i.a. keine Überlagerung von Eigen- und Zwangsspannungen

(2) Heft 400, S.170 fordert:  $kR(=kzt \cdot kE)=0,6$ ; das ergibt für kleine kzt-Werte unvernünftige Ergebnisse

(3) nach EC 2 kann  $0,5 < kE < 1,0$  angesetzt werden; hier wird der gleiche Ansatz wie nach Heft 400 verwendet

(4) ergibt für  $0,30 < d < 0,80$  kleinere Mindestbewehrung als nach Heft 400  
gegebenenfalls kann gemäß [1], Seite 18, Abschnitt 1.6 eine weitere Reduzierung der Mindestbewehrung durch Ansatz einer wirksamen Bauteildicke  $d'$  gerechtfertigt sein; dabei ist statt der tatsächlichen Bauteildicke (im m):

$$d = \boxed{0,800 \text{ m}} \quad \text{anzusetzen: } d' = \boxed{0,682 \text{ m}}$$

Version 2.0

(Diese und die folgenden Zeilen können gelöscht bzw. überschrieben werden)

Änderungen :

V 2.0, 26.01.94

Ergänzung Biegezwang u. EC 2 für [ ] - Fälle

Fußnote (2) neu

Fußnote (3) neu

Fußnote (4) erweitert, bei Eingabe von d in Zeile 46 wird  $d'$  berechnet

Längsbewehrung

$$\phi 14 - 10 \text{ cm} \hat{=} 15,39 \text{ cm}^2/\text{m}$$

# Mindestbewehrung von Stahlbetonbauteilen für vorgegebene Rißbreite bei Zwang nach Heft 400 DAfStb und EC 2

## Eingabe

Bezeichnung	Abkürzung	Einheit	Wert	
Beton-Nennfestigkeit	βWN	MN/m²	45	(auch von DIN 1045 abweichend)
Bauteildicke	d	m	0,30	
Betondeckung	c	cm	5,0	
Stabdurchmesser	ds	mm	12,0	
Rechenwert der Rißbreite	wkcal	mm	0,20	("Hydratation": s. Heft 400, S.171 )
Faktor für Betonalter	kzt		0,5	

## Ergebnisse

			Heft 400 bzw. [1]		EC 2 bzw. [1]	
nach Heft 400: für 0,30<d<0,80 kE linear interpoliert			mittiger Zwang	Biege- zwang	mittiger Zwang	Biege- zwang
Bezeichnung	Abkürzung	Einheit				
Nutzhöhe	h	m	0,244	0,244	0,244	0,244
Wirkungszone der Bewehrung	hw	m	0,14	0,0801	0,14	0,0801
mittlere Betonzugfestigkeit	βbzm	MN/m²	1,90	1,90	1,90	1,90
wirksame Betonzugfestigkeit	βbzw	MN/m²	1,52	1,52	1,52	1,52
Rißlaststahlspannung (< 0,8 βs !)	sigsR	MN/m²	184,51	214,13	213,75	248,63
Mindestbewehrung	as1=as2; as	cm²/m	12,34	4,25	10,65	3,66
Stababstand	s	cm	9,2	26,6	10,6	30,9
[ für indirekten Zwang (kE=1,0) (1)	as1=as2; as	cm²/m	15,43	5,32	13,32	4,58
[ für abliegende Bauteile (kE=0,6) (2)	as1=as2	cm²/m	9,26	3,19	7,99	2,75
nach [1]: für 0,30<d<0,80 as1 bzw. as linear interpoliert (4)					(3)	(3)
Mindestbewehrung	as1=as2; as	cm²/m	12,34	4,25	10,65	3,66
Stababstand	s	cm	9,2	26,6	10,6	30,9

[1] Meyer, G.: Rissbreitenbeschränkung nach DIN 1045, Beton-Verlag, 1989

(1) Zwang wird durch andere Bauteile hervorgerufen, z. B. Stützensenkung;  
i.a. keine Überlagerung von Eigen- und Zwangsspannungen

(2) Heft 400, S.170 fordert:  $kR(=kzt \cdot kE)=0,6$ ; das ergibt für kleine kzt-Werte unvernünftige Ergebnisse

(3) nach EC 2 kann  $0,5 < kE < 1,0$  angesetzt werden; hier wird der gleiche Ansatz wie nach Heft 400 verwendet

(4) ergibt für  $0,30 < d < 0,80$  kleinere Mindestbewehrung als nach Heft 400  
gegebenenfalls kann gemäß [1], Seite 18, Abschnitt 1.6 eine weitere Reduzierung der  
Mindestbewehrung durch Ansatz einer wirksamen Bauteildicke d' gerechtfertigt sein; dabei ist  
statt der tatsächlichen Bauteildicke (im m):

$$d = \boxed{0,800 \text{ m}} \quad \text{anzusetzen: } d' = \boxed{0,682 \text{ m}}$$

Version 2.0

(Diese und die folgenden Zeilen können gelöscht bzw. überschrieben werden)

Änderungen :

V 2.0, 26.01.94

Ergänzung Biegezwang u. EC 2 für [ ] - Fälle

Fußnote (2) neu

Fußnote (3) neu

Fußnote (4) erweitert, bei Eingabe von d in Zeile 46 wird d' berechnet

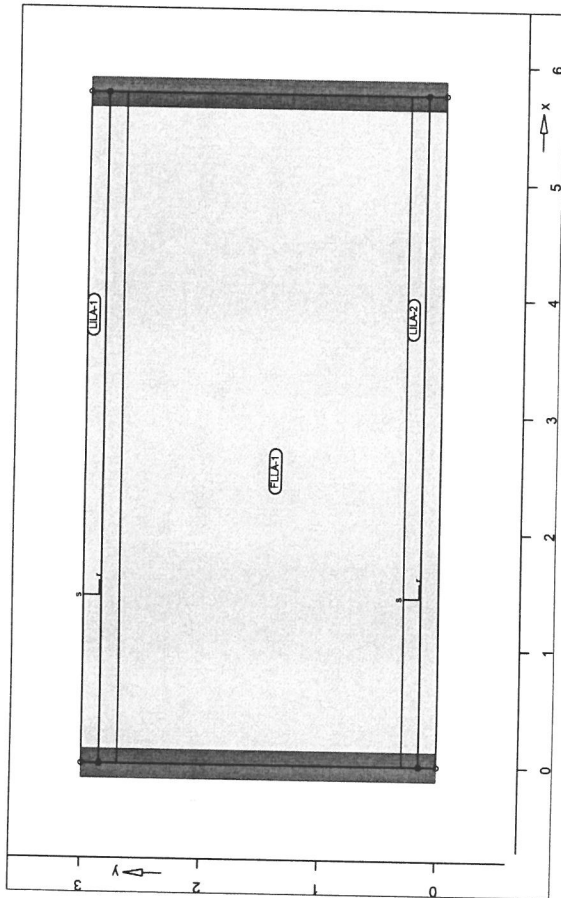
Querbewehrung

$$\phi 12 - 10 \text{ cm} \hat{=} 11,31 \text{ cm}^2/\text{m}$$





LF-1 Lastplan Lasten im Lastfall LF-1



### Linienlasten lokal

Position	Lastfall	Art	$F_A/M_A$ [kNm/m] / [kNm/m]	$F_E/M_E$
LILA-1, LILA-2	Linienlast			
LF-1				

### Koordinaten

Position	Lastfall	Art	$F_A/M_A$ [kNm/m] / [kNm/m]	$F_E/M_E$
LILA-1				
LILA-2				

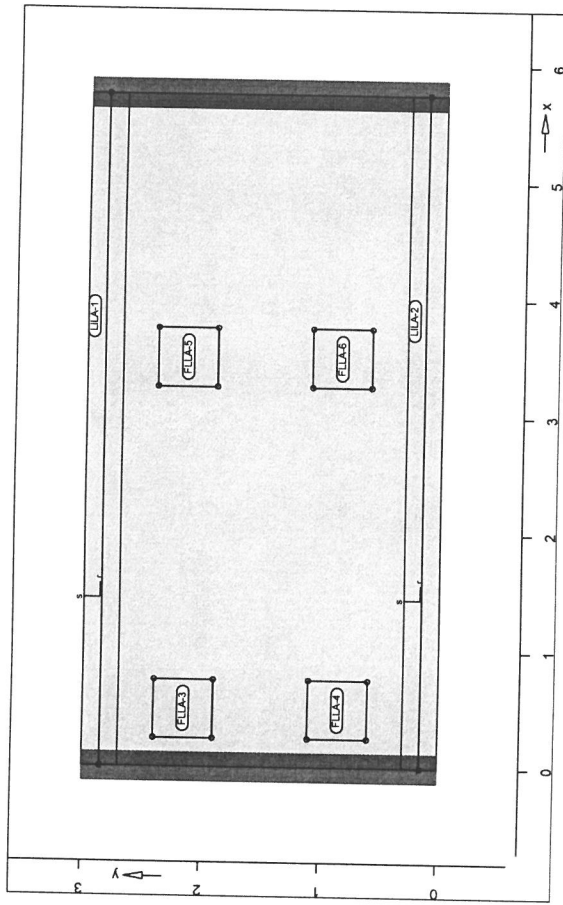
### Flächenlasten lokal, t-Richt.

Position	Lastfall	Art	$F_A/M_A$ [kNm/m] / [kNm/m]	$F_E/M_E$
FLA-1				

### Koordinaten

Position	Lastfall	Art	$F_A/M_A$ [kNm/m] / [kNm/m]	$F_E/M_E$
FLA-1				

LF-2 Lastplan Lasten im Lastfall LF-2



### Linienlasten lokal

Position	Lastfall	Art	$F_A/M_A$ [kNm/m] / [kNm/m]	$F_E/M_E$
LILA-1, LILA-2	Linienlast			
LF-2				

### Koordinaten

Position	Lastfall	Art	$F_A/M_A$ [kNm/m] / [kNm/m]	$F_E/M_E$
LILA-1				
LILA-2				

### Flächenlasten lokal, t-Richt.

Position	Lastfall	Art	$F_A/M_A$ [kNm/m] / [kNm/m]	$F_E/M_E$
FLA-3, FLA-4				
FLA-5, FLA-6				

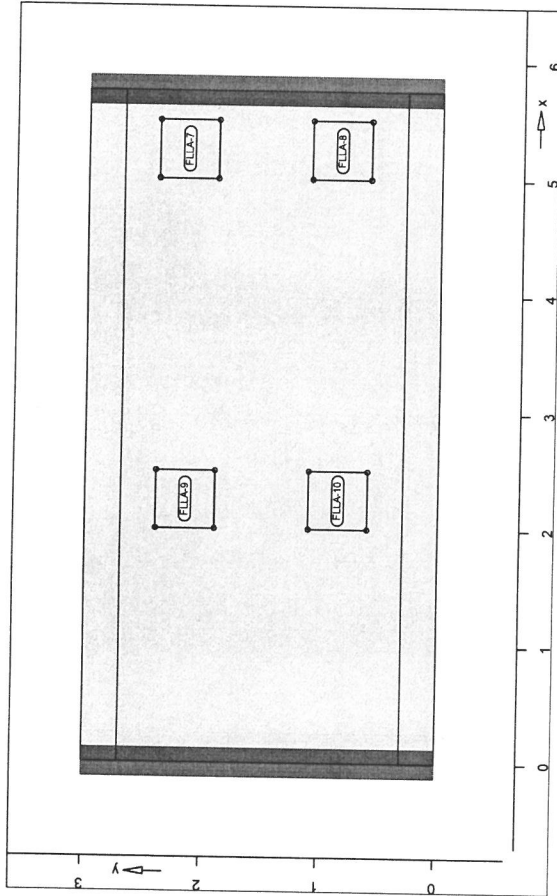
### Koordinaten

Position	Lastfall	Art	$F_A/M_A$ [kNm/m] / [kNm/m]	$F_E/M_E$
FLA-3				
FLA-4				
FLA-5				
FLA-6				

Position	x [m]	y [m]
	0.75	1.10
	0.25	1.10
FLIA-5	3.25	1.90
	3.75	1.90
	3.75	2.40
	3.25	2.40
FLIA-6	3.25	0.60
	3.75	0.60
	3.75	1.10
	3.25	1.10

Lasten im Lastfall LF-3

LF-3  
 Lastplan



Flächenlasten  
 lokal, t-Richt.

Position	Lastfall	p [kN/m²]
FLIA-7,	LF-3	-80.00
FLIA-8		
FLIA-9,	LF-3	-160.00
FLIA-10		

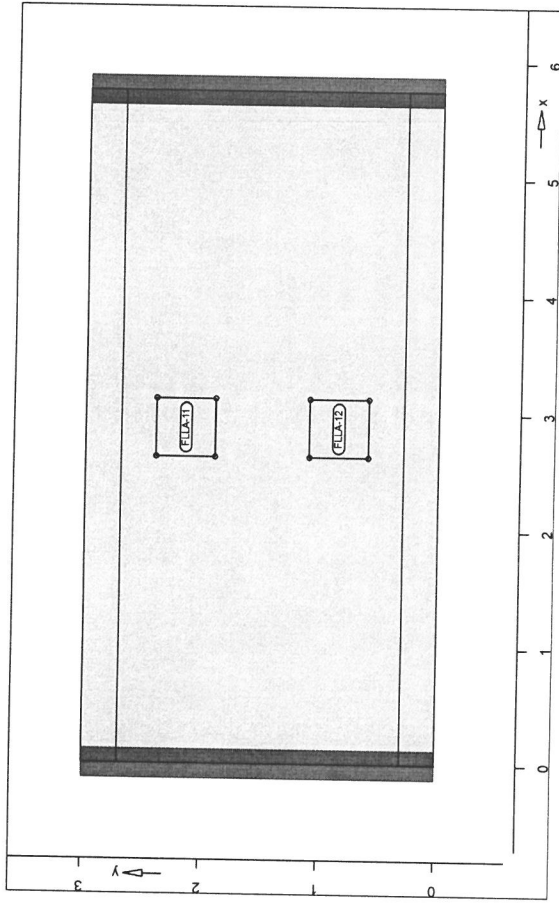
Koordinaten

Position	x [m]	y [m]
FLIA-7	5.00	1.90
	5.50	1.90
	5.50	2.40
	5.00	2.40
FLIA-8	5.00	0.60
	5.50	0.60

Position	x [m]	y [m]
	5.50	1.10
	5.00	1.10
FLIA-9	2.00	1.90
	2.50	1.90
	2.50	2.40
	2.00	2.40
FLIA-10	2.00	0.60
	2.50	0.60
	2.50	1.10
	2.00	1.10

Lasten im Lastfall LF-4

LF-4  
 Lastplan



Flächenlasten  
 lokal, t-Richt.

Position	Lastfall	p [kN/m²]
FLIA-11,	LF-4	-160.00
FLIA-12		

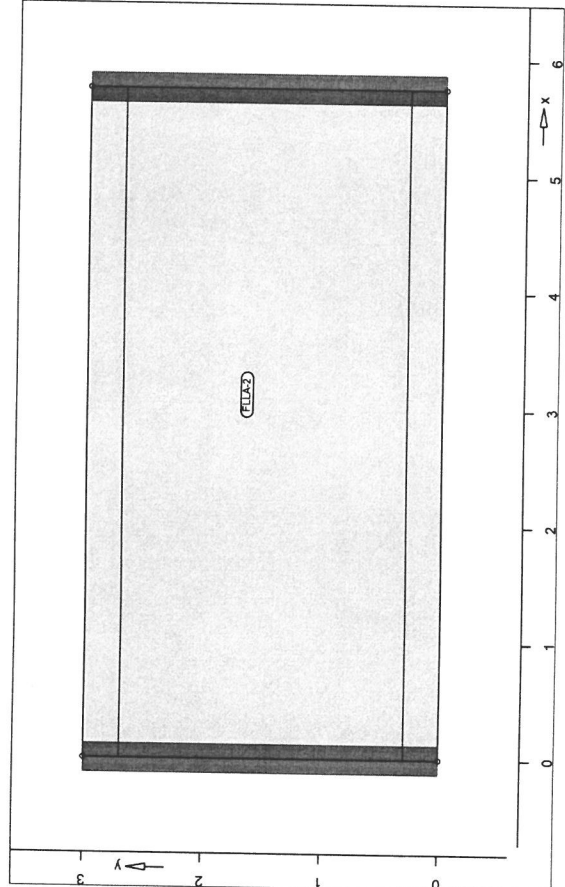
Koordinaten

Position	x [m]	y [m]
FLIA-11	2.63	1.90
	3.13	1.90
	3.13	2.40
	2.63	2.40
FLIA-12	2.63	0.60
	3.13	0.60
	3.13	1.10
	2.63	1.10



LF-5  
Lastplan

Lasten im Lastfall LF-5




**Flächenlasten**  
lokal, t-Richt.

Position	Lastfall	P [kN/m²]
FLA-2	LF-5	-5.00

**Koordinaten**

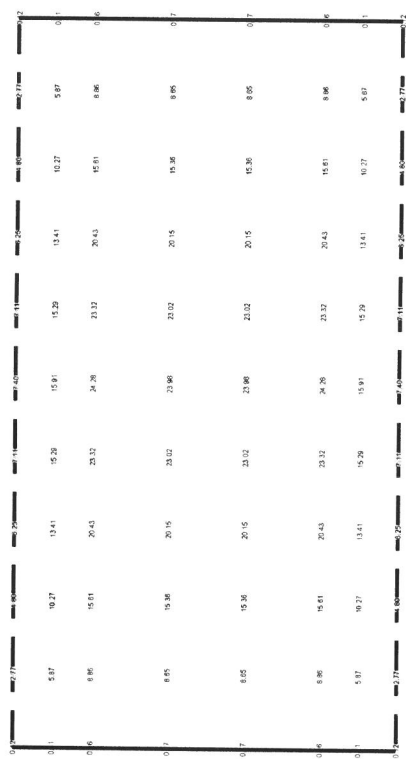
Position	x [m]	y [m]
FLA-2	0.00	0.00
	5.75	0.00
	5.75	3.00
	0.00	3.00


**Schnittgrößen**

Plattenschnittgrößen		Moment m <sub>r</sub> in [kNm/m]		
einwirkungsweise dargestellt Maximum aus Einwirkung G <sub>k</sub> (Eigenlasten) Max = 47.44 (Kn. 56), Min = 0.23 (Kn. 5)				
	Modell	PL1 Brückenplatte		Maßstab: 1:40
	Bauvorhaben	18-37 Brücken Mockritzer Bad 18-37 Mockritzer Bad		
		Geriplan - Ingenieurbüro für Bauplanung Dipl.-Ing. J. Gerisch		Datum
				Seite 10

MicroFe 2018.03





		
Plattenschnittgrößen	Moment $m_r$ in $[kNm/m]$	
einwirkungsweise dargestellt Maximum aus Einwirkung Ok LM4 (Lastmodell 4) Max = 24.28 (Kn. 56), Min = 0.11 (Kn. 8)		
	Modell PL1 Brückenplatte Bauvorhaben 18-37 Brücken Mockritzer Bad 18-37 Mockritzer Bad	Maßstab: 1:40 Datum

# Nachweise (GZG)

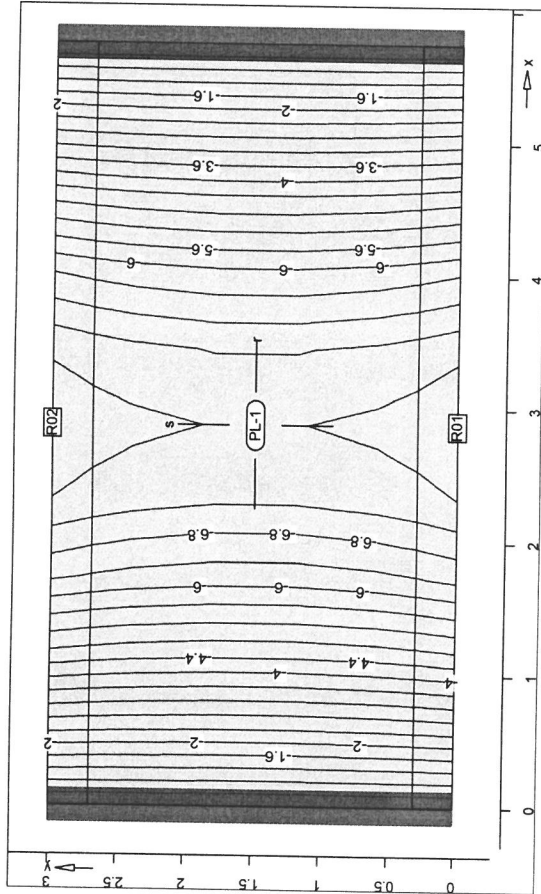
## Platte-Verformung

PL-1

Verformung Plattenbereiche

Plattenverformung

aus Lastkombination LK-1



Isolinienstufen = 0.40 mm

Markierung der lokalen Extrema erst ab Verformungen > 0.20 mm

Punkt	x [m]	y [m]	max [mm]	min [mm]
R01	2.88	0.00	-7.95	-7.95
R02	2.88	3.00	-7.95	-7.95

# Nachweise (GZT)

## Auflagerkräfte

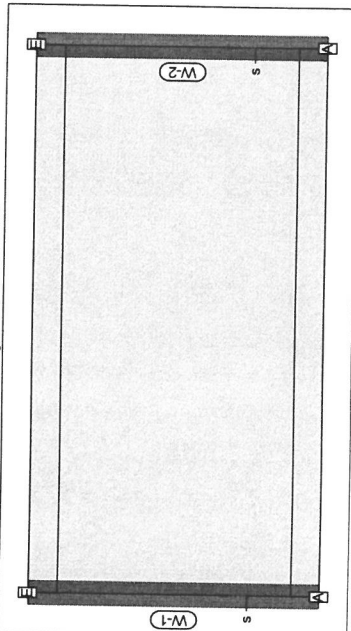
Linienlager-Auflager (EW)

Auflagerkräfte des Modells

- charakteristische Auflagerkräfte je Einwirkung
- min/max Überlagerung der Lastfälle je Einwirkung

## Positionen

Grafische Übersicht der Lager-Positionen



## Tabelle

### lokal, F, t-Achse

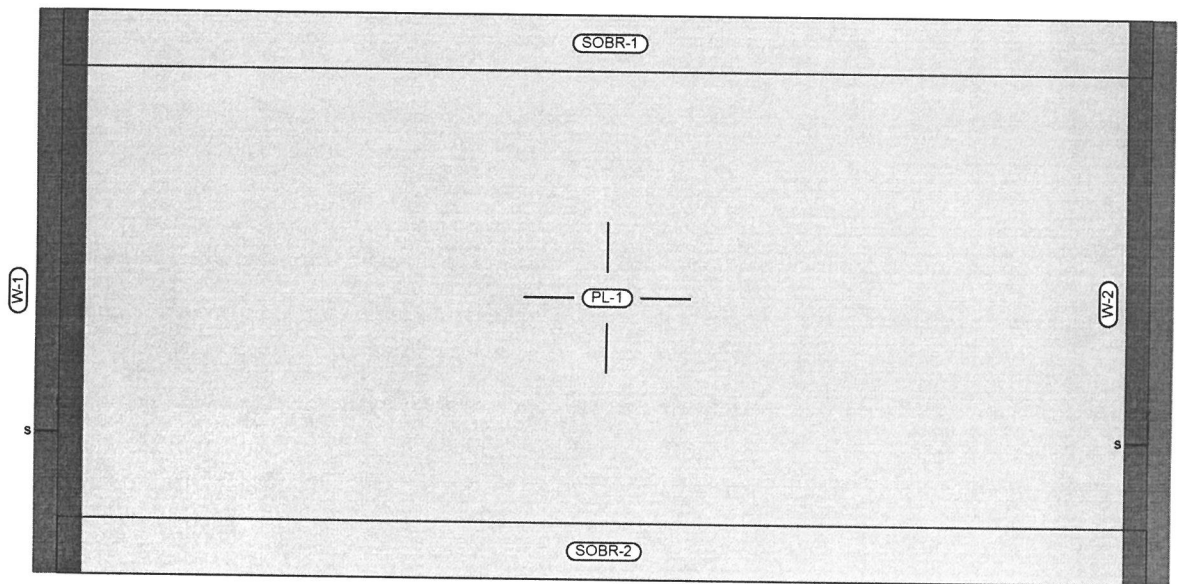
W-1

W-2


Tabellarische Ausgabe der Auflagerkräfte

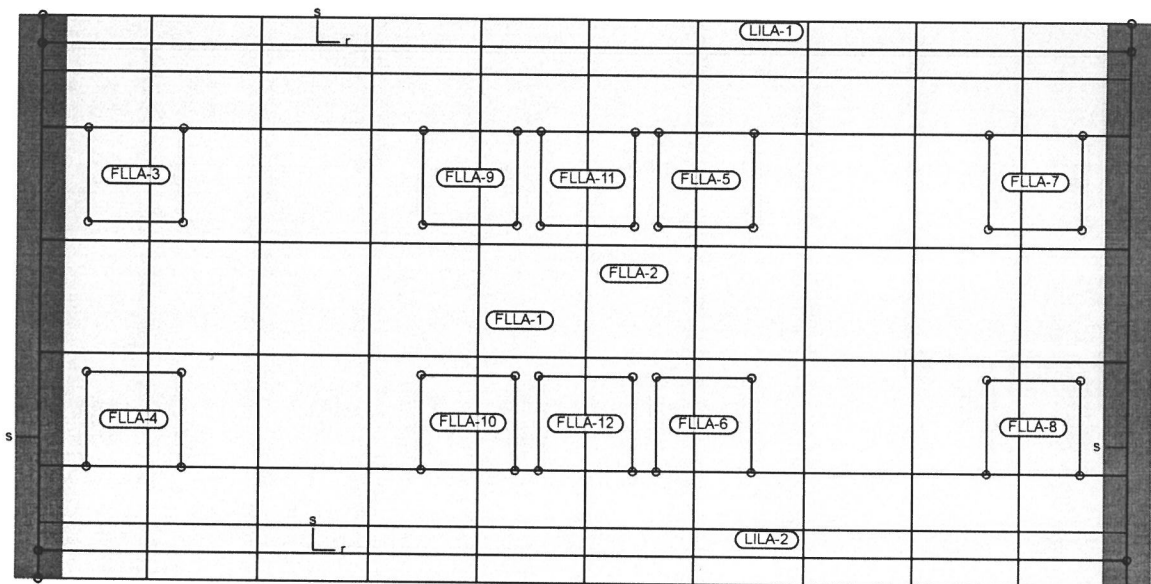
EW	F <sub>t, A, min</sub> [kN/m]	F <sub>t, A, max</sub> [kN/m]	F <sub>t, E, min</sub> [kN/m]	F <sub>t, E, max</sub> [kN/m]	F <sub>t, min</sub> [kN]	F <sub>t, max</sub> [kN]	E <sub>max</sub> [m]
(L = 3.00 m)							
Gk	28.08	28.08	28.08	28.08	84.24	84.24	0.00
Qk, LM1-1	0.00	0.00	0.00	0.00	0.00	0.00	0.00
Qk, LM4	30.52	30.52	30.52	30.52	91.57	91.57	0.00
Qk, LM4	0.00	0.00	0.00	0.00	0.00	0.00	0.00
(L = 3.00 m)	14.37	14.37	14.37	14.37	43.12	43.12	0.00
Gk	28.08	28.08	28.08	28.08	84.24	84.24	0.00
Qk, LM1-1	0.00	0.00	0.00	0.00	0.00	0.00	0.00
Qk, LM4	22.61	22.61	22.61	22.61	67.83	67.83	0.00
Qk, LM4	0.00	0.00	0.00	0.00	0.00	0.00	0.00
Qk, LM4	14.37	14.37	14.37	14.37	43.13	43.13	0.00


## Ergebnis-Plots

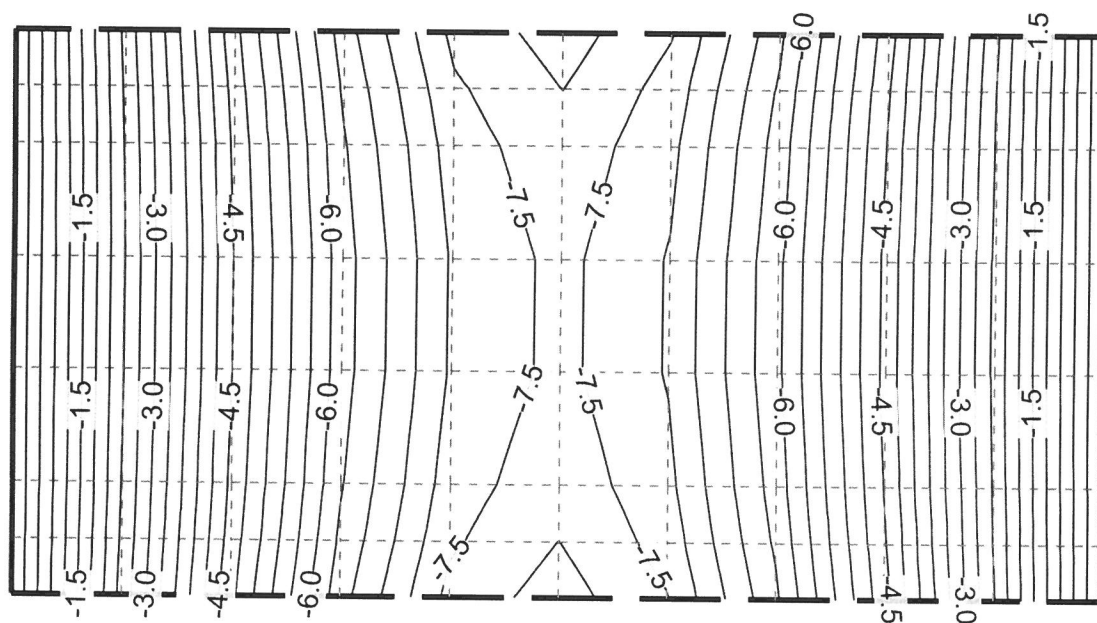


#### Bauteil-Positionen

	Modell	PL1 Brückenplatte	Maßstab: 1:40
	Bauvorhaben	18-37 Brücken Mockritzer Bad 18-37 Mockritzer Bad	Datum
	Geriplan - Ingenieurbüro für Bauplanung Dipl.-Ing. J. Gerisch		Seite



Last-Positionen		Lastpositionen
lastfallweise dargestellt aus allen Lastfällen		
	Modell	PL1 Brückenplatte
	Bauvorhaben	18-37 Brücken Mockritzer Bad 18-37 Mockritzer Bad
	Geriplan - Ingenieurbüro für Bauplanung Dipl.-Ing. J. Gerisch	
		Maßstab: 1:40
		Datum
		Seite



# Verformungen

in [mm]

lastkombinationsweise dargestellt

aus Lastkombination LK-1

in normierter Darstellung

uz: Max = -0.0 (Kn. 50), Min = -7.9 (Kn. 66), Step = 0.3



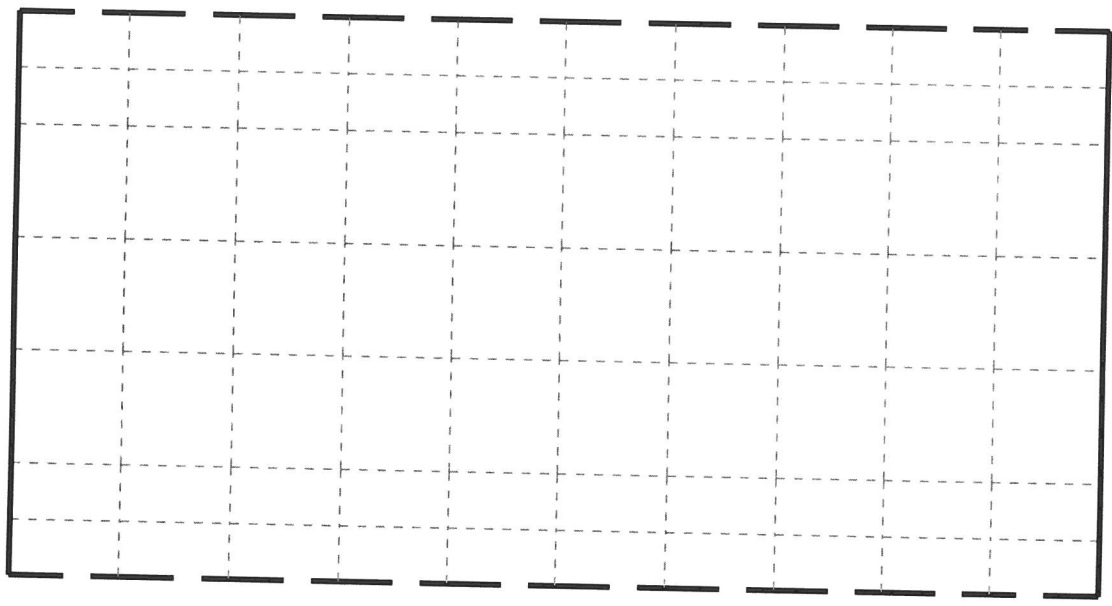
Modell PL1 Brückenplatte  
 Bauvorhaben 18-37 Brücken Mockritzer Bad  
 18-37 Mockritzer Bad

Maßstab: 1:40


Datum

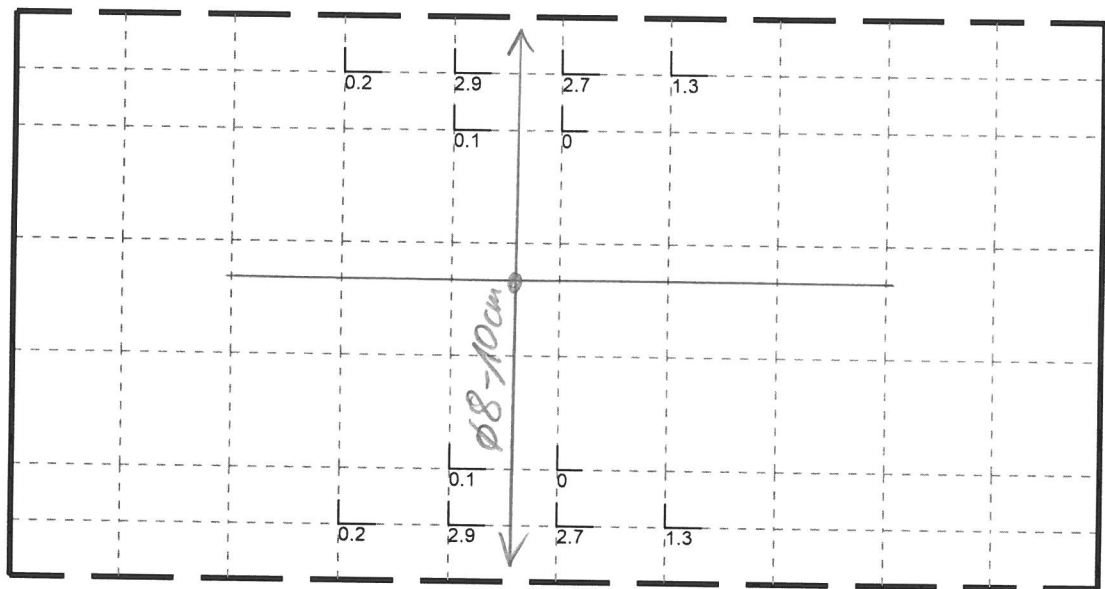
Geriplan - Ingenieurbüro für Bauplanung Dipl.-Ing. J. Gerisch

Seite



$A_{s, oben}$   
 $r: \phi 14 - 10cm \rightarrow$   
 $s: \phi 12 - 10cm \downarrow$

Flächenbemessung		Erforderliche Bewehrung $a_{s, erf}$ (Differenzbewehrung)
$r/s$ : Vorh. Bewehrung $a_{s, vorh} = 15.3 / 11.3$ (Grund+Zulagen) Beton C 35/45 $r/s$ : Bew.-Abstand $d' = 5.0 / 6.0$ cm Bauteildicke $h = 20.00 \dots 30.00$ cm		aus allen Nachweisen Oberseite in $[cm^2/m]$ $r/s$ : Min = 0 / 0, Max = 0 / 0
	Modell PL1 Brückenplatte Bauvorhaben 18-37 Brücken Mockritzer Bad 18-37 Mockritzer Bad	Maßstab: 1:40 Datum
	Geriplan - Ingenieurbüro für Bauplanung Dipl.-Ing. J. Gerisch	
		Seite



Randeinfassung:

Ø12-10cm



2Ø12cm

$A_{s, \text{unten}}$

→  $\gamma: \text{Ø}14-10\text{cm} + \text{ZL}$

↓  $\delta: \text{Ø}12-10\text{cm}$

#### Flächenbemessung

Erforderliche Bewehrung  $a_{s, \text{erf}}$  (Differenzbewehrung)

r/s: Vorh. Bewehrung  $a_{s, \text{vorh}} = 15.3 / 11.3$  (Grund+Zulagen)

Beton C 35/45

aus allen Nachweisen

r/s: Bew.-Abstand  $d' = 5.0 / 6.0$  cm

Unterseite in  $[\text{cm}^2/\text{m}]$

Bauteildicke  $h = 20.00 \dots 30.00$  cm

r/s: Min = 0 / 0, Max = 2.9 / 0



Modell

PL1 Brückenplatte

Bauvorhaben

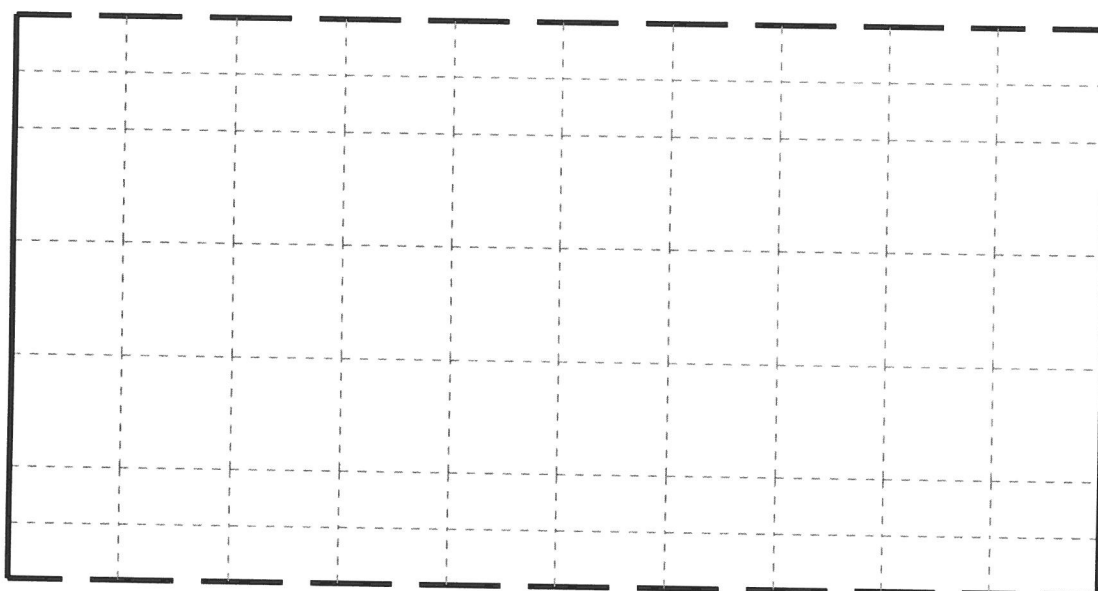
18-37 Brücken Mockritzer Bad  
18-37 Mockritzer Bad

Maßstab: 1:40

Datum

Geriplan - Ingenieurbüro für Bauplanung Dipl.-Ing. J. Gerisch


Seite



**Querkraftbemessung**

Querkraftbewehrung asw/sw aus allen Nachweisen in [cm<sup>2</sup>/m<sup>2</sup>]

Max = 0, Min = 0

	Modell	PL1 Brückenplatte	Maßstab: 1:40
	Bauvorhaben	18-37 Brücken Mockritzer Bad 18-37 Mockritzer Bad	
	Geriplan - Ingenieurbüro für Bauplanung Dipl.-Ing. J. Gerisch		Datum
		Seite	



34.81	24.48	19.50	14.22	9.13	4.27	9.13	14.06	17.30	23.16	33.17
66.01	50.22	42.84	32.21	21.43	11.24	21.43	30.49	37.65	47.73	59.16
100.36	75.88	63.67	51.59	34.46	17.31	34.46	45.21	57.52	72.04	88.83
97.91	72.92	64.81	50.27	32.94	15.36	32.94	46.23	57.42	72.19	87.57
97.91	72.92	64.81	50.27	32.94	15.36	32.94	46.23	57.42	72.19	87.57
100.36	75.88	63.67	51.59	34.46	17.31	34.46	45.21	57.52	72.04	88.83
66.01	50.22	42.84	32.21	21.43	11.24	21.43	30.49	37.65	47.73	59.16
34.81	24.48	19.50	14.22	9.13	4.27	9.13	14.06	17.30	23.16	33.17

# Querkraftbemessung

Bemessungsquerkraft  $v_{Ed, res}$  aus Tragfähigkeitsnachweis in [kN/m]

Max = 100.36, Min = 4.27



Modell PL1 Brückenplatte  
 Bauvorhaben 18-37 Brücken Mockritzer Bad  
 18-37 Mockritzer Bad

Maßstab: 1:40

Datum

Geriplan - Ingenieurbüro für Bauplanung Dipl.-Ing. J. Gerisch

Seite

## W02 Widerlager „Brücke 3“ als Schwergewichtswand: C35/45

Breite 3,0m, Gesamthöhe des Widerlagers 1,50m, Dicke 1,25m

Gründung Höhe 1,0m; Breite 2,50m; Beton konstruktiv bewehrt C25/30

- System und Belastung

s. EDV-Ausdruck

aus Brückenplatte ( LM 1-1 maßgebend )

$V = [28,08 \mid 30,52] \text{ kN/m}$

Versatzmoment infolge Lastausmitte von max. 0,375m

$M = 0,375\text{m} \cdot [28,08 \mid 30,52] \text{ kN/m} = [10,53 \mid 11,45] \text{ kN/m}$

großflächige ständige Gelände-Auflast

konstr.  $g = 2,50 \text{ kN/m}^2$

Blocklast auf Gelände aus Wartungsfahrzeug

Summe der Achslasten:  $Q = 80 \text{ kN} + 40 \text{ kN} = 120 \text{ kN}$

Achsabstand:  $3,0 \text{ m} \times 1,30 \text{ m}$

Rad-Aufstandsfläche:  $0,20 \text{ m} \times 0,20 \text{ m}$

resultierende Blocklast:  $q_{\text{Erd}} = 120 \text{ kN} / (3,20 \text{ m} \times 1,50 \text{ m}) = 25,0 \text{ kN/m}^2$

Aus programmtechnischen Gründen wird eine Höhendifferenz von 0,97m angesetzt. Der Erdwiderstand luftseitig wird auf der sicheren Seite liegend für die bodenmechanischen Nachweise zu 50% berücksichtigt.

- Schnittkräfte und Bemessung siehe EDV folgende Seiten

Nachweise GZT:  $\max \eta = \underline{\underline{0,76}} < 1,0$

Nachweise GZG:  $\max \eta = \underline{\underline{0,90}} < 1,0$

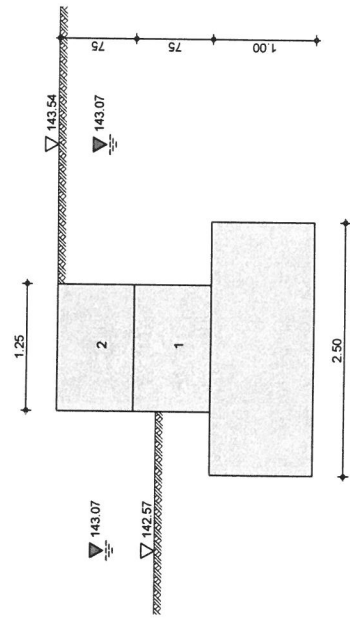
# Pos. W02

## System

M 1:50

# Widerlager (B3)

Betonfertigteil nach FGSV, DIN EN 1997-1:2014-03



## Wandelemente

Nr.	b[m]	h[m]	n	Lage	$\delta_{s,k}$ [°]	Kommentar
1	1.25	0.75	1	links	32.50	
2	1.25	0.75	1	links	32.50	

## Wichte

$\gamma = 25.00 \text{ kN/m}^3$

## Fundament

Breite	$b = 2.50 \text{ m}$
Höhe	$h = 1.00 \text{ m}$
Versatz	$e = -0.63 \text{ m}$
Sohlneigung	$\delta_s = 0.00$
Wichte	$\gamma = 23.00 \text{ kN/m}^3$

## Gelände

ebene Geländeoberfläche	
Abstand OK Gelände-Wandkopf	$Z_{luft} = 0.97 \text{ m}$
	$Z_{erd} = 0.00 \text{ m}$

## Baugrund

### Boden

h	Y	Y'	$\varphi$	$C_a$	$C_p$	$\delta_a$	$\delta_p$	$\delta_o$
[m]	[kN/m³]	[kN/m³]	[°]	[kN/m²]	[kN/m²]	[°]	[°]	[°]
999.0	16.0	6.0	25.0	-	-	16.7	-8.3	0.0

## Einwirkungen

Einwirkungen nach DIN EN 1990:2010-12

Gk	Eigenlasten
Gk.H	Ständige Einwirkungen
	Wasserdruck
Qk.IM1-1	Ständiger Wasserdruck
	Lastmodell 1
Qk.IM1-2	Kategorie F - Fahrzeuglast bis 30 kN
	Lastmodell 1
Gk.E.A	Kategorie F - Fahrzeuglast bis 30 kN
Gk.H.S	# Ständige Einwirkungen
Gk.E.P	# Ständige Einwirkungen
	# Die Einwirkung wurde automatisch generiert.

# Belastungen

Gleichlasten  
luftseitig

Nr.	EW	P
1	Gk	[kN/m²]
2	Gk.H	2.50
		5.00

Großflächige Auflast

Nr.	EW	P
1		[kN/m²]
		2.50

Blocklasten

Nr.	EW	ah	s	le	ve
		[m]	[m]	[m]	[kN/m²]
1	Qk.IM1-1	0.00	3.20	1.50	25.00

Linienlasten an Wand

Nr.	EW	av	H	V	M
		[m]	[kN/m]	[kN/m]	[kNm/m]
1	Gk	0.00	0.00	28.08	-10.53
2	Qk.IM1-2	0.00	0.00	30.55	-11.45

# Erddruck

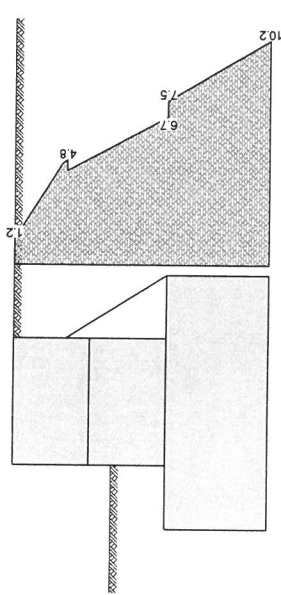
Berechnung gem. DIN 4085:2011-05

EW Gk.E.A

erhöhter aktiver Erddruck  
Erddruckermittlung für nicht ebene Wandflächen

Mittlerer Reibungswinkel	$\varphi = 25.00$
Gleitflächenwinkel	$\varphi_{ag} = 57.50$
Winkel Gegengleitfl.-Vertikale	$\varphi_{max} = 32.50$
Schnitt Gegengleitfl.-Wand	$Z = 0.52$
Anteil aktiver Erddruck	$\mu = 0.50$
großflächige Auflast $\leq 10 \text{ kN/m}^2$	$p_v = 2.50 \text{ kN/m}^2$

M 1:50



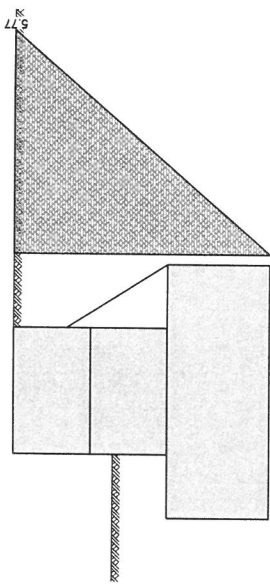
Grundwasser	$Z_{gw} = 0.47 \text{ m}$
Resultierende Erddruckspannungen	$\Sigma e'_{ah}$
Z	[m]
0.00	1.15
0.47	4.62
0.52	4.76
0.52	4.29
1.50	6.74
1.50	7.48
2.50	10.24

erhöhte aktive Erddruckkraft

$E'_{ah} = 15.86 \text{ kN/m}$   
 $E'_{av} = 10.03 \text{ kN/m}$   
 $ve = 25.00 \text{ kN/m}^2$

Blocklast (Nr. 1)

EW Gk.LM1-1  
M 1:50



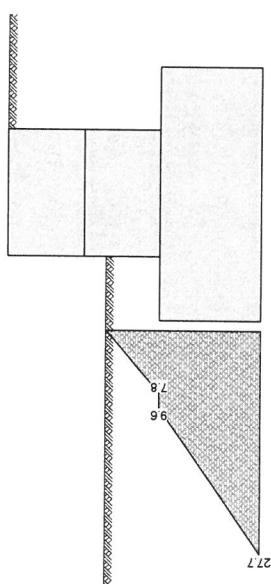
z <sub>q</sub> [m]	z <sub>q</sub> [m]	ψ [°]	K <sub>ah</sub> [-]	e <sub>ah,0</sub> [kN/m²]	e <sub>ah,u</sub> [kN/m²]
0.00	2.50	56.35	0.505	5.77	0.00

erhöhte aktive Erddruckkraft

$E'_{ah} = 7.21 \text{ kN/m}$   
 $E'_{av} = 3.78 \text{ kN/m}$

passiver Erddruck

EW Gk.E.P  
M 1:50



z	z <sub>gw</sub>	0.47	m
z	z	Σe <sub>ph</sub> [kN/m²]	
0.97		0.00	
1.50		7.84	
1.50		9.59	
2.50		27.68	

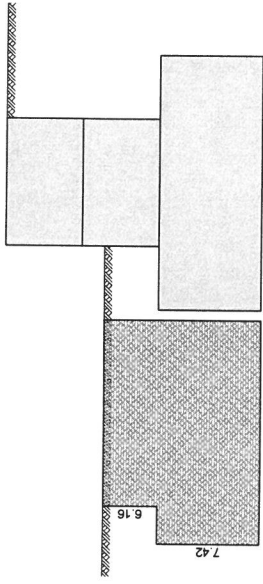
Erddruck

$E_{ph} = 20.71 \text{ kN/m}$   
 $E_{pv} = -2.73 \text{ kN/m}$

Gleichlast luftseitig

$p = 2.50 \text{ kN/m}^2$

EW Gk.  
M 1:50



z	K <sub>ph</sub> [-]	e <sub>ph</sub> [kN/m²]
0.97	2.464	6.16
1.50	2.464	6.16
2.50	2.969	7.42

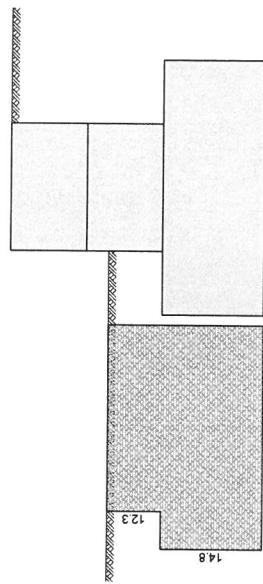
Erddruck

$E_{ph} = 10.69 \text{ kN/m}$   
 $E_{pv} = -1.09 \text{ kN/m}$

Gleichlast luftseitig

$p = 5.00 \text{ kN/m}^2$

EW Gk.H  
M 1:50



z	K <sub>ph</sub> [-]	e <sub>ph</sub> [kN/m²]
0.97	2.464	12.32
1.50	2.464	12.32
2.50	2.969	14.84

Erddruck

$E_{ph} = 21.37 \text{ kN/m}$   
 $E_{pv} = -2.17 \text{ kN/m}$

Wasserdruck  
luftseitig

GW-Stand  
[m]

$W_{w,Druck} = 6.44$   
 $W_{w,Auftrieb} = 25.38$

erdseitig	GW-Stand [m]	W <sub>h</sub> [kN/m]	W <sub>v</sub> Druck [kN/m]	W <sub>v</sub> Auftrieb [kN/m]
	0.47	20.60	6.44	25.38

## Kombinationen

GZ EQU: Verlust der Lagesicherheit

Ek	Typ	Σ (y*ψ * EW)
102	BS-P	0.90*Gk+1.10*Gk.H+0.90*Gk.E.A +1.10*Gk.H.S+1.10*Gk.E.P+1.50*Qk.IM1-1
103	BS-P	0.90*Gk+1.10*Gk.H+0.90*Gk.E.A +1.10*Gk.H.S+1.10*Gk.E.P+1.05*Qk.IM1-1 +1.50*Qk.IM1-2
104	BS-P	0.90*Gk+1.10*Gk.H+0.90*Gk.E.A +1.10*Gk.H.S+1.10*Gk.E.P+1.50*Qk.IM1-2

GZ SLS: Gebrauchstauglichkeit (1. Kernweite)

Ek	Typ	Σ (y*ψ * EW)
1	BS-P	1.00*Gk+1.00*Gk.H+1.00*Gk.E.A +1.00*Gk.H.S+1.00*Gk.E.P

GZ SLS: Gebrauchstauglichkeit (2. Kernweite)

Ek	Typ	Σ (y*ψ * EW)
1	BS-P	1.00*Gk+1.00*Gk.H+1.00*Gk.E.A +1.00*Gk.H.S+1.00*Gk.E.P+1.00*Qk.IM1-1 +0.70*Qk.IM1-2
3	BS-P	1.00*Gk+1.00*Gk.H+1.00*Gk.E.A +1.00*Gk.H.S+1.00*Gk.E.P+0.70*Qk.IM1-1 +1.00*Qk.IM1-2
4	BS-P	1.00*Gk+1.00*Gk.H+1.00*Gk.E.A +1.00*Gk.H.S+1.00*Gk.E.P+1.00*Qk.IM1-2

GZ STR/GEO-2: Versagen von Bauwerken und Bauteilen (Gleiten)

Ek	Typ	Σ (y*ψ * EW)
2	BS-P	1.35*Gk+1.35*Gk.H+1.35*Gk.E.A +1.35*Gk.H.S+1.35*Gk.E.P+1.50*Qk.IM1-1

GZ STR/GEO-2: Versagen von Bauwerken und Bauteilen

Ek	Typ	Σ (y*ψ * EW)
3	BS-P	1.35*Gk+1.35*Gk.H+1.28*Gk.E.A +1.35*Gk.H.S+1.35*Gk.E.P+1.05*Qk.IM1-1 +1.50*Qk.IM1-2
4	BS-P	1.35*Gk+1.35*Gk.H+1.28*Gk.E.A +1.35*Gk.H.S+1.35*Gk.E.P+1.50*Qk.IM1-2

## Standardsicherheit

### Fundament Kippen

Standardsicherheitsnachweise nach DIN EN 1997-1:2014-03

nach DIN 1054:2010-12, GZ EQU

Ek	M <sub>Ed</sub> [kNm]	V <sub>Ed</sub> [kN]	e/b [-]	zul e/b [-]	η [-]
102	-33.09	86.76	-0.153	1/2	0.31

nach DIN EN 1997-1:2014-03, GZ SLS

Ek	M <sub>Ed</sub> [kNm]	V <sub>Ed</sub> [kN]	e/b [-]	zul e/b [-]	η [-]
1	-20.86	100.25	-0.083	1/6	0.50

### 1. Kernweite

## 2. Kernweite

nach DIN EN 1997-1:2014-03, GZ SLS

Ek	M <sub>Ed</sub> [kNm]	V <sub>Ed</sub> [kN]	e/b [-]	zul e/b [-]	η [-]
1	-37.78	125.41	-0.121	1/3	0.36

nach DIN 1054:2010-12

Ek	M <sub>k</sub> [kNm/m]	V <sub>k</sub> [kN/m]	e [m]	b'	V <sub>d</sub> [kN/m]	σ <sub>E,d</sub> [kN/m <sup>2</sup> ]	σ <sub>R,d</sub> [kN/m <sup>2</sup> ]	η [-]
3	-38.5	133.4	-0.29	1.92	184.2	95.84	126.00	0.76

## Gleiten

in Schluffe nach DIN EN 1997-1:2014-03, GZ GEO-2  
 Schluffreibungswinkel  
 δ<sub>k</sub> = 25.00

Ek	R <sub>k</sub> [kN/m]	V <sub>Ed</sub> [kN]	R <sub>p,k</sub> [kN]	V <sub>Ed</sub> [kN]	H <sub>d</sub> [kN/m]	R <sub>d</sub> [kN/m]	η
2	48.51	1.10	26.38	1.40	32.22	62.94	0.51

nach DIN EN 1997-1:2014-03, GZ GEO-2

Grundrissform: Rechteck

a'	b'	d	α	β
3.00	2.32	1.53	0.00	0.00

Z <sub>max</sub> [m]	φ	c	Y <sub>1</sub> [kN/m³]	Y <sub>2</sub> [kN/m³]
2.64	25.00	0.00	6.00	6.00

T <sub>a</sub> [kN]	T <sub>b</sub> [kN]	N	δ	ω	m
0.00	-10.53	127.80	4.71	90.00	1.56

Einfluß	N <sub>0</sub>	v	i	λ	ξ
Breite	4.51	0.768	0.802	1.000	1.000
Tiefe	10.66	1.326	0.874	1.000	1.000
Kohäsion	20.72	1.360	0.861	1.000	1.000

## Element 1 Kippen

nach DIN 1054:2010-12, GZ EQU

Ek	M <sub>Ed</sub> [kNm]	V <sub>Ed</sub> [kN]	e/b [-]	zul e/b [-]	η [-]
103	-26.19	124.47	-0.168	1/2	0.34

nach DIN EN 1997-1:2014-03, GZ SLS

Ek	M <sub>k</sub> [kNm]	V <sub>k</sub> [kN]	e/b [-]	zul e/b [-]	η [-]
1	-6.57	83.68	-0.063	1/6	0.38

2. Kernweite

nach DIN EN 1997-1:2014-03, GZ SLS

Ek	M <sub>Ed</sub> [kNm]	V <sub>Ed</sub> [kN]	e/b [-]	zul e/b [-]	η [-]
3	-20.09	116.45	-0.138	1/3	0.41

Gleiten

in Sohlfuge nach DIN EN 1997-1:2014-03, GZ GEO-2  
Sohlschleibungswinkel δ<sub>k</sub> = 32.50 °

Ek	R <sub>k</sub> [kN/m]	Y <sub>R,h</sub> [-]	R <sub>p,k</sub> [kN/m]	Y <sub>R,e</sub> [-]	H <sub>d</sub> [kN/m]	R <sub>d</sub> [kN/m]	η [-]
2	55.33	1.10	5.94	1.40	18.53	54.54	0.34

Element 2  
Kippen

nach DIN 1054:2010-12, GZ EQU

Ek	M <sub>Ed</sub> [kNm]	V <sub>Ed</sub> [kN]	e/b [-]	zul e/b [-]	η [-]
104	-26.21	93.90	-0.223	1/2	0.45

1. Kernweite

nach DIN EN 1997-1:2014-03, GZ SLS

Ek	M <sub>Ed</sub> [kNm]	V <sub>Ed</sub> [kN]	e/b [-]	zul e/b [-]	η [-]
1	-10.04	53.41	-0.150	1/6	0.90

2. Kernweite

nach DIN EN 1997-1:2014-03, GZ SLS

Ek	M <sub>Ed</sub> [kNm]	V <sub>Ed</sub> [kN]	e/b [-]	zul e/b [-]	η [-]
4	-21.49	83.96	-0.205	1/3	0.61

Gleiten

in Sohlfuge nach DIN EN 1997-1:2014-03, GZ GEO-2  
Sohlschleibungswinkel δ<sub>k</sub> = 32.50 °

Ek	R <sub>k</sub> [kN/m]	Y <sub>R,h</sub> [-]	R <sub>p,k</sub> [kN/m]	Y <sub>R,e</sub> [-]	H <sub>d</sub> [kN/m]	R <sub>d</sub> [kN/m]	η [-]
2	35.25	1.10	0.00	1.40	9.09	32.05	0.28

Zusammenfassung

Nachweise (GZT)

Zusammenfassung der Nachweise

Nachweise im Grenzzustand der Tragfähigkeit

Nachweis	Element	η [-]
Kippen	Element 2	OK 0.45
Sohldruck	Fundament	OK 0.76
Gleiten	Fundament	OK 0.51
Grundbruch	Fundament	OK 0.70

Nachweise (GZG)

Nachweise im Grenzzust. der Gebrauchstauglichkeit

Nachweis	Element	η [-]
1. Kernweite	Element 2	OK 0.90
2. Kernweite	Element 2	OK 0.61

alternativ

### W02a Fertigteil-Winkelstützwand; d= 30cm; C30/37

Ansatz „erhöhter aktiver Erddruck“ für die Bemessung,  
Nachweis der Standsicherheit mit erhöhtem aktiven Erddruck

**Fundament** zur Baugrundverbesserung unter der Winkelstützwand  
3,0m x 3,0m; h = 0,50m; Beton C25/30 konstruktiv bewehrt

- statisches System und Belastung siehe EDV

aus Brückenplatte ( LM 1-1 maßgebend )  
 $V = [28,08 \mid 30,52] \text{ kN/m}$

Horizontallast am Wandkopf:  
 $H_k = 0,60 \cdot 120 \text{ kN} / (2 \cdot 3,0 \text{ m}) = 12,0 \text{ kN/m}$

großflächige ständige Gelände-Auflast  
 $g = 0,30 \text{ m} \cdot 18,0 \text{ kN/m}^3 = 5,40 \text{ kN/m}^2$

Blocklast auf Gelände aus Wartungsfahrzeug  
Summe der Achslasten:  $Q = 80 \text{ kN} + 40 \text{ kN} = 120 \text{ kN}$   
Achsabstand:  $3,0 \text{ m} \times 1,30 \text{ m}$   
Rad-Austandsfläche:  $0,20 \text{ m} \times 0,20 \text{ m}$   
resultierende Blocklast:  $q_{\text{Erd}} = 120 \text{ kN} / (3,20 \text{ m} \times 1,50 \text{ m}) = 25,0 \text{ kN/m}^2$

- Schnittkräfte und Bemessung siehe EDV folgende Seiten

$\max \eta = 0,98 < 1,0$  (Grundbruch)  
max. Bodenpressung:  
 $\sigma_{\text{E,d}} = 118,9 \text{ kN/m}^2 < \sigma_{\text{R,d}} = 126,0 \text{ kN/m}^2 \quad (= 1,4 \cdot 90,00 \text{ kN/m}^2)$

- Bewehrungswahl

Rißbreitenbeschränkung für  $w_{\text{cal}} = 0,20 \text{ mm}$

Wand:

$A_{s,i,E}: \quad \varnothing 12 \text{ e} \leq 10 \text{ cm}$   
 $A_{s,i,L}: \quad \varnothing 12 \text{ e} \leq 10 \text{ cm}$   
 $A_{s,q,i+a}: \quad \varnothing 12 \text{ e} \leq 10 \text{ cm}$   
alternativ Q524A i+a +  $\varnothing 10 \text{ e} \leq 15 \text{ cm}$

Sporn:

$A_{s,o}: \quad \varnothing 12 \text{ e} \leq 10 \text{ cm}$   
 $A_{s,u}: \quad \varnothing 12 \text{ e} \leq 10 \text{ cm}$   
 $A_{s,q}: \quad \varnothing 12 \text{ e} \leq 10 \text{ cm}$

**Mindestquerkraftbewehrung Wand + Sporn:  $9,28 \text{ cm}^2/\text{m}^2$**

Mindestbewehrung von Stahlbetonbauteilen für vorgegebene Rißbreite bei Zwang  
nach Heft 400 DAfStb und EC 2

Eingabe

Bezeichnung	Abkürzung	Einheit	Wert	
Beton-Nennfestigkeit	β <sub>WN</sub>	MN/m <sup>2</sup>	37	(auch von DIN 1045 abweichend)
Bauteildicke	d	m	0,30	
Betondeckung	c	cm	6,0	
Stabdurchmesser	ds	mm	12,0	
Rechenwert der Rißbreite	w <sub>kcal</sub>	mm	0,20	
Faktor für Betonalter	k <sub>zt</sub>		0,5	("Hydratation": s. Heft 400, S.171 )

Ergebnisse

			Heft 400 bzw. [1]		EC 2 bzw. [1]	
nach Heft 400: für 0,30<d<0,80 kE linear interpoliert			mittiger Zwang	Biege- zwang	mittiger Zwang	Biege- zwang
Bezeichnung	Abkürzung	Einheit				
Nutzhöhe	h	m	0,234	0,234	0,234	0,234
Wirkungszone der Bewehrung	hw	m	0,15	0,0801	0,15	0,0801
mittlere Betonzugfestigkeit	β <sub>bzm</sub>	MN/m <sup>2</sup>	1,67	1,67	1,67	1,67
wirksame Betonzugfestigkeit	β <sub>bzw</sub>	MN/m <sup>2</sup>	1,33	1,33	1,33	1,33
Rißlaststahlspannung (< 0,8 β <sub>s</sub> !)	sigsR	MN/m <sup>2</sup>	168,64	202,15	195,12	234,50
Mindestbewehrung	as <sub>1</sub> =as <sub>2</sub> ; as	cm <sup>2</sup> /m	11,85	3,95	10,24	3,41
Stababstand	s	cm	9,5	28,6	11,0	33,2
[ für indirekten Zwang (kE=1,0) (1)	as <sub>1</sub> =as <sub>2</sub> ; as	cm <sup>2</sup> /m	14,81	4,94	12,80	4,26 ]
[ für abliegende Bauteile (kE=0,6)	as <sub>1</sub> =as <sub>2</sub>	cm <sup>2</sup> /m	8,89	2,97	7,68	2,56 ]
(2)					(3)	(3)
nach [1]: für 0,30<d<0,80 as <sub>1</sub> bzw. as linear interpoliert (4)						
Mindestbewehrung	as <sub>1</sub> =as <sub>2</sub> ; as	cm <sup>2</sup> /m	11,85	3,95	10,24	3,41
Stababstand	s	cm	9,5	28,6	11,0	33,2

[1] Meyer, G.: Rissbreitenbeschränkung nach DIN 1045, Beton-Verlag, 1989

(1) Zwang wird durch andere Bauteile hervorgerufen, z. B. Stützensenkung;  
i.a. keine Überlagerung von Eigen- und Zwangsspannungen

(2) Heft 400, S.170 fordert:  $kR(=k_{zt} \cdot kE)=0,6$ ; das ergibt für kleine k<sub>zt</sub>-Werte unvernünftige Ergebnisse

(3) nach EC 2 kann 0,5<kE<1,0 angesetzt werden; hier wird der gleiche Ansatz wie nach Heft 400 verwendet

(4) ergibt für 0,30<d<0,80 kleinere Mindestbewehrung als nach Heft 400

gegebenenfalls kann gemäß [1], Seite 18, Abschnitt 1.6 eine weitere Reduzierung der Mindestbewehrung durch Ansatz einer wirksamen Bauteildicke d' gerechtfertigt sein; dabei ist statt der tatsächlichen Bauteildicke (im m):

d = 0,800 m anzusetzen: d' = 0,682 m

Version 2.0

(Diese und die folgenden Zeilen können gelöscht bzw. überschrieben werden)

Änderungen :

V 2.0, 26.01.94

Ergänzung Biegezwang u. EC 2 für [ ] - Fälle

Fußnote (2) neu

Fußnote (3) neu

Fußnote (4) erweitert, bei Eingabe von d in Zeile 46 wird d' berechnet

gewählt:  
Ø 12 - 10 cm #



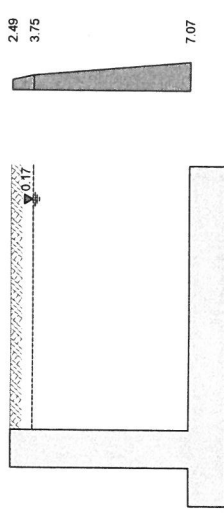


Bemessung  
EW Gk.E.A

erhöhter aktiver Erddruck  
Anteil aktiver Erddruck  
großflächige Auflast  $\leq 10 \text{ kN/m}^2$   
Grundwasser

$\mu = 0.50$   
 $p_v = 5.40 \text{ kN/m}^2$   
 $z_{gw} = 0.17 \text{ m}$

M 1:40

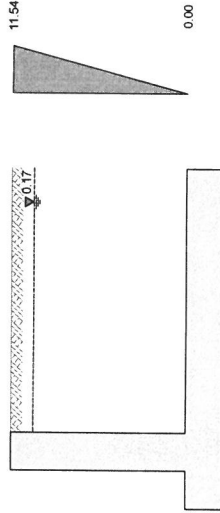


EW Qk.IM1-1

Blocklast (Nr. 1)

$v_e = 25.00 \text{ kN/m}^2$

M 1:40



$z\phi$ [m]	$z\phi$ [m]	$\phi$ [°]	$K_{av}$ [-]	$e_{aph,o}$ [kN/m²]	$e_{aph,u}$ [kN/m²]
0.00	1.37	53.00	0.612	11.54	0.00

erhöhte aktive Erddruckkraft  
 $E'_{ah} = 7.90 \text{ kN/m}$   
 $E'_{av} = 1.16 \text{ kN/m}$

### Wasserdruck

Stands. luftseitig

$W_v$ [m]	$W_v$ [kN/m]	$W_v$ [kN/m]	$W_v$ [kN/m]
0.17	11.25	3.60	20.25

Stands. erdseitig

$W_v$ [m]	$W_v$ [kN/m]	$W_v$ [kN/m]	$W_v$ [kN/m]
0.17	11.25	25.20	20.25

Bem. luftseitig

$W_v$ [m]	$W_v$ [kN/m]	$W_v$ [kN/m]	$W_v$ [kN/m]
0.17	7.20	0.00	0.00

Bem. erdseitig

$W_v$ [m]	$W_v$ [kN/m]	$W_v$ [kN/m]	$W_v$ [kN/m]
0.17	7.20	0.00	0.00

### Kombinationen

Kombinationsbildung nach DIN EN 1997-1  
Darstellung der maßgebenden Kombinationen

GZ EQU: Verlust der Lagesicherheit

Ek	Typ	$\Sigma (Y^* \psi * EW)$
143	BS-P	$0.90 * Gk + 0.90 * Gk.H + 0.90 * Gk.E.A$ $+ 1.10 * Gk.E.P + 1.10 * Gk.H.S + 1.05 * Qk.IM1-1$ $+ 1.50 * Qk.IM1-2$

GZ STR/GEO-2: Versagen von Bauwerken und Bauteilen (Gleiten)

Ek	Typ	$\Sigma (Y^* \psi * EW)$
1	BS-P	$1.35 * Gk + 1.35 * Gk.H + 1.35 * Gk.E.A$ $+ 1.35 * Gk.E.P + 1.35 * Gk.H.S + 1.50 * Qk.IM1-1$ $+ 1.05 * Qk.IM1-2$

GZ STR/GEO-2: Versagen von Bauwerken und Bauteilen

Ek	Typ	$\Sigma (Y^* \psi * EW)$
3	BS-P	$1.35 * Gk + 1.35 * Gk.H + 1.28 * Gk.E.A$ $+ 1.35 * Gk.E.P + 1.35 * Gk.H.S + 1.05 * Qk.IM1-1$ $+ 1.50 * Qk.IM1-2$

GZ SLS: Gebrauchstauglichkeit

Ek	Typ	$\Sigma (Y^* \psi * EW)$
1	BS-P	$1.00 * Gk + 1.00 * Gk.H + 1.00 * Gk.E.A$ $+ 1.00 * Gk.E.P + 1.00 * Gk.H.S$

GZ SLS: Gebrauchstauglichkeit

Ek	Typ	$\Sigma (Y^* \psi * EW)$
3	BS-P	$1.00 * Gk + 1.00 * Gk.H + 1.00 * Gk.E.A$ $+ 1.00 * Gk.E.P + 1.00 * Gk.H.S + 0.70 * Qk.IM1-1$ $+ 1.00 * Qk.IM1-2$

Bemessung

GZ STR/GEO-2: Versagen von Bauwerken und Bauteilen

Ek	Typ	$\Sigma (Y^* \psi * EW)$
2	BS-P	$1.35 * Gk + 1.35 * Gk.H + 1.28 * Gk.E.A$ $+ 1.35 * Gk.E.P + 1.35 * Gk.H.S + 1.50 * Qk.IM1-1$
3	BS-P	$1.35 * Gk + 1.35 * Gk.H + 1.28 * Gk.E.A$ $+ 1.35 * Gk.E.P + 1.35 * Gk.H.S + 1.05 * Qk.IM1-1$ $+ 1.50 * Qk.IM1-2$
4	BS-P	$1.35 * Gk + 1.35 * Gk.H + 1.28 * Gk.E.A$ $+ 1.35 * Gk.E.P + 1.35 * Gk.H.S + 1.50 * Qk.IM1-2$
5	BS-P	$1.35 * Gk + 1.35 * Gk.H + 1.28 * Gk.E.A$ $+ 1.35 * Gk.E.P + 1.35 * Gk.H.S$

### Bem.-schnittgrößen

### Standssicherheit

\*\*\*\* WARNUNG \*\*\*\*

Die resultierende H-Last luftseitig ist bei einer oder mehreren Kombinationen größer als die resultierende H-Last erdseitig.

### Standssicherheit

Standssicherheitsnachweise nach DIN EN 1997-1:2014-03  
ständige Situationen

nach DIN 1054:2010-12, GZ EQU

Ek	$M_{Ed}$ [kNm/m]	$V_{Ed}$ [kN/m]	e/b [-]	zul e/b [-]	$\eta$ [-]
143	-102.92	118.39	-0.322	1/2	0.64

Gleiten

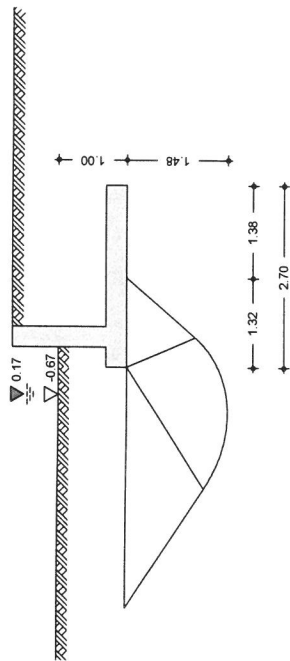
in Sohlfuge nach DIN EN 1997-1:2014-03, GZ GEO-2  
Sohlrreibungswinkel  $\delta_k = 25.00^\circ$

Ek	$R_k$ [kN]	$Y_{R,h}$ [-]	$R_{p,k}$ [kN]	$Y_{R,e}$ [-]	$H_d$ [kN]	$R_d$ [kN]	$\eta$ [-]
1	48.76	1.10	18.48	1.40	40.85	57.53	0.71

Grundbruch

nach DIN EN 1997-1:2014-03, GZ GEO-2

M 1 : 75



Grundrissform: Rechteck

$a'$ [m]	$b'$ [m]	$d$ [m]	$\alpha$ [°]	$\beta$ [°]
3.00	1.32	1.00	0.00	0.00
$Z_{max}$ [m]	$\varphi$ [°]	$c$ [kN/m²]	$Y_1$ [kN/m³]	$Y_2$ [kN/m²]
1.48	25.00	0.00	6.00	6.00
$T_a$ [kN]	$T_b$ [kN]	$N$ [kN]	$\delta$ [°]	$\omega$ [°]
0.00	30.90	340.95	5.18	90.00
Einfluß	$N_0$	$v$	$i$	$\lambda$
Breite	4.51	0.868	0.774	1.000
Tiefe	10.66	1.186	0.851	1.000
Kohäsion	20.72	1.205	0.836	1.000
Ek	$V_d$ [kN]	$R_k$ [kN]	$Y_{R,v}$ [-]	$R_d$ [kN]
3	471.49	671.59	1.40	479.71

1. Kernweite

nach DIN EN 1997-1:2014-03, GZ SLS

Ek	$M_{Ed}$ [kNm]	$V_{Ed}$ [kN]	e/b	zul	e/b	$\eta$ [-]
1	-23.18	82.92	-0.104	1/6	0.62	

2. Kernweite

nach DIN EN 1997-1:2014-03, GZ SLS

Ek	$M_{Ed}$ [kNm]	$V_{Ed}$ [kN]	e/b	zul	e/b	$\eta$ [-]
3	-78.32	113.65	-0.255	1/3	0.77	

Mittlerer sohldruck

nach DIN 1054:2010-12

Ek	$M_k$ [kNm/m]	$V_k$ [kN/m]	e	b'	$V_d$ [kN/m²]	$\sigma_{R,d}$ [kN/m²]	$\eta$ [-]
3	-78.3	113.7	-0.69	1.32	157.2	118.90	0.94

Bemessung (GZT)

Material

Normalbeton  
Betonstahl

C 30/37  
B 500SA

Achsabstände

Bauteil	Seite	d' [mm]	$c_{nom}$ [mm]
Wand	erdseitig	50	40
Wand	luftseitig	50	40
Sporn	oben	50	40
Sporn	unten	50	40

Biegebemessung

Berücksichtigung der Mindestlängsbewehrung nach DIN EN 1992-1-1/NA:2011-01, NDP Zu 9.2.1.1(1)

Wand

z	Seite	Ek	$M_{Ed}$ [kNm/m]	$N_{Ed}$ [kN/m]	$a_s$ [cm²/m]	min $a_s$ [cm²/m]
1.37	lufts.	2	-9.58	54.83	0.00	3.51
	erds.	3	-31.07	100.14	1.49	3.50

Sporn luftseitig

Seite	Ek	$M_{Ed}$ [kNm/m]	$N_{Ed}$ [kN/m]	$a_s$ [cm²/m]	min $a_s$ [cm²/m]
oben	5	2.23	-10.79	0.05	
unten	4	5.19	-14.40	0.27	

Sporn erdseitig

Seite	Ek	$M_{Ed}$ [kNm/m]	$N_{Ed}$ [kN/m]	$a_s$ [cm²/m]	min $a_s$ [cm²/m]
oben	3	25.45	1.55	2.25	
unten	5	-3.72	17.33	0.10	

Querkraftbemessung

Berücksichtigung der Mindestquerkraftbewehrung nach DIN EN 1992-1-1/NA:2011-01, NDP Zu 9.2.2(5)

Wand

z	Ek	$\theta$ [°]	$V_{Ed}$ [kN/m]	$V_{Ed,c}$ [kN/m]	$V_{Ed,max}$ [kN/m]	$a_{sw}$ [cm²/m²]
1.37	3	18.43	17.79	134.98	688.50	9.28

Sporn luftseitig

Ek	$\theta$ [°]	$V_{Ed}$ [kN/m]	$V_{Ed,c}$ [kN/m]	$V_{Ed,max}$ [kN/m]	$a_{sw}$ [cm²/m²]
3	18.43	-38.37	126.60	688.50	9.28

Ek	$\theta$ [°]	$V_{Ed}$ [kN/m]	$V_{Ed,c}$ [kN/m]	$V_{Ed,max}$ [kN/m]	$a_{sw}$ [cm <sup>2</sup> /m <sup>2</sup> ]
4	18.43	-25.38	125.58	688.50	9.28

Biege- und Querkraftbewehrung

z [m]	$a_{sl}$ [cm <sup>2</sup> /m]	$a_{se}$ [cm <sup>2</sup> /m]	$a_{sw}$ [cm <sup>2</sup> /m <sup>2</sup> ]
1.37	3.51	3.50	9.28

	$a_{so}$ [cm <sup>2</sup> /m]	$a_{su}$ [cm <sup>2</sup> /m]	$a_{sw}$ [cm <sup>2</sup> /m <sup>2</sup> ]
luftseitig	0.05	3.79	9.28
erdseitig	3.86	3.75	9.28

M Mindestlängsbewehrung nach DIN EN 1992-1-1/NA, NDP Zu 9.2.1.1(1)  
M Mindestquerkraftbewehrung nach DIN EN 1992-1-1/NA, NDP Zu 9.2.2(5)

Zusammenfassung der Nachweise

Nachweise im Grenzzustand der Tragfähigkeit

Nachweis	$\eta$ [-]
Kippen	OK 0.64
Sohldruck	OK 0.94
Gleiten Sohlfuge	OK 0.71
Grundbruch	OK 0.98

Nachweise im Grenzzust. der Gebrauchstauglichkeit

Nachweis	$\eta$ [-]
1. Kernweite	OK 0.62
2. Kernweite	OK 0.77

### **Schlussbemerkung**

Die konstruktive Ausbildung aller hier berechneten wie auch hier nicht berechneten Bauteile erfolgt nach derzeit geltenden Vorschriften und Bestimmungen. Nicht nachgewiesene Bauteile werden erfahrungsgemäß dimensioniert oder bei geringerer Beanspruchung gemäß der schon nachgewiesenen Bauteile konstruktiv ohne besonderen Nachweis ausgebildet.

Sollten sich im Zuge der Baumaßnahme Änderungen ergeben bzw. Bedingungen einstellen, die von den Grundlagen dieser statischen Berechnung abweichen, so ist in jedem Falle der Tragwerksplaner zur Prüfung des Erfordernisses einer Neuberechnung hinzuzuziehen.

An die Bauaufsichtsbehörde	Aktenzeichen der Bauaufsichtsbehörde	Eingangsstempel der Bauaufsichtsbehörde
----------------------------	--------------------------------------	-----------------------------------------

## Erklärung des Tragwerksplaners zur Prüfpflicht des Vorhabens nach § 12 Absatz 3 der Durchführungsverordnung zur SächsBO (DVOSächsBO)

zum Standsicherheitsnachweis

13.04.2018

- ☐ Genehmigungsfreistellung nach § 62 SächsBO
- ☐ Vereinfachtes Baugenehmigungsverfahren nach § 63 SächsBO
- ☒ Baugenehmigungsverfahren nach § 64 SächsBO

### 1. Bauherr

Name(n), Vorname(n) / Firma Landeshauptstadt Dresden Umweltamt	<input type="checkbox"/> Frau <input type="checkbox"/> Herr	Telefon (mit Vorwahl)
		E-Mail-Adresse
Straße, Hausnummer Grunaer Straße 2	PLZ 01069	Ort Dresden

### 2. Vorhaben

- ☐ Gebäude der Gebäudeklasse 1 - 3
- ☒ Behälter, Brücken, Stützmauern, Tribünen
- ☐ sonstige bauliche Anlagen, die keine Gebäude sind, mit einer Höhe von mehr als 10 m

Genaue Bezeichnung des Vorhabens:  
Naturnahe Umgestaltung des Kaitzbachs im Mockritzer Bad

### 3. Grundstück

Gemeinde, Ortsteil Dresden, Mockritz
Straße, Hausnummer Münzteichweg 22b; 01217 Dresden
Gemarkung, Flurstücksnummer Mockritz, 114/2

Zutreffendes bitte ankreuzen X oder ausfüllen!

Reicht der auf dem Vordruck vorgesehene Raum für die erforderlichen Angaben nicht aus, verwenden Sie bitte ein gesondertes Blatt und legen Sie dieses dem Formblatt bei.

Fortsetzung auf Seite 2



#### 4. Beurteilung des Gebäudes oder der baulichen Anlage in Bezug auf die Kriterien nach Anlage 2 zur DVOSächsBO

	ja	nein
4.1 Die Baugrundverhältnisse sind eindeutig und erlauben eine übliche Flachgründung entsprechend DIN 1054. Ausgenommen sind Gründungen auf setzungsempfindlichem Baugrund.	<input checked="" type="checkbox"/>	<input type="checkbox"/>
4.2 Bei erddruckbelasteten Gebäuden beträgt die Höhendifferenz zwischen Gründungssohle und Erdoberfläche maximal 4 m. Einwirkungen aus Wasserdruck müssen rechnerisch nicht berücksichtigt werden.	<input checked="" type="checkbox"/>	<input type="checkbox"/>
4.3 Angrenzende bauliche Anlagen oder öffentliche Verkehrsflächen werden nicht beeinträchtigt. Nachzuweisende Unterfangungen oder Baugrubensicherungen sind nicht erforderlich.	<input checked="" type="checkbox"/>	<input type="checkbox"/>
4.4 Die tragenden und aussteifenden Bauteile gehen im Wesentlichen bis zu den Fundamenten unversetzt durch. Ein rechnerischer Nachweis der Gebäudeaussteifung, auch für Teilbereiche, ist nicht erforderlich.	<input checked="" type="checkbox"/>	<input type="checkbox"/>
4.5 Die Geschossdecken sind linienförmig gelagert und dürfen für gleichmäßig verteilte Lasten (kN/m <sup>2</sup> ) und Linienlasten aus nichttragenden Wänden (kN/m) bemessen werden. Geschossdecken ohne ausreichende Querverteilung erhalten keine Einzellasten.	<input checked="" type="checkbox"/>	<input type="checkbox"/>
4.6 Die Bauteile der baulichen Anlage oder die bauliche Anlage selbst können mit einfachen Verfahren der Baustatik berechnet oder konstruktiv festgelegt werden. Räumliche Tragstrukturen müssen rechnerisch nicht nachgewiesen werden. Besondere Stabilitäts-, Verformungs- und Schwingungsuntersuchungen sind nicht erforderlich.	<input checked="" type="checkbox"/>	<input type="checkbox"/>
4.7 Außergewöhnliche sowie dynamische Einwirkungen sind nicht vorhanden. Beanspruchungen aus Erdbeben müssen rechnerisch nicht verfolgt werden.	<input checked="" type="checkbox"/>	<input type="checkbox"/>
4.8 Besondere Bauarten wie Spannbetonbau, Verbundbau, Leimholzbau und geschweißte Aluminiumkonstruktionen werden nicht angewendet.	<input checked="" type="checkbox"/>	<input type="checkbox"/>
4.9 Allgemeine Rechenverfahren zur Bemessung von Bauteilen und Tragwerken unter Brandeinwirkung werden nicht angewendet.	<input checked="" type="checkbox"/>	<input type="checkbox"/>

#### 5. Tragwerksplaner

Name(n), Vorname(n) / Firma <input type="checkbox"/> Frau <input checked="" type="checkbox"/> Herr		Telefon (mit Vorwahl) 0351-2630376
Dipl.-Ing. Joachim Gerisch		E-Mail-Adresse info@geriplan.com
Straße, Hausnummer Ullersdorfer Platz 2	PLZ 01324	Ort Dresden
<input checked="" type="checkbox"/> qualifizierter Tragwerksplaner gemäß § 66 Absatz 2 Satz 1 oder 2 SächsBO <input type="checkbox"/> Prüfenieur/Prüfsachverständiger für Standsicherheit gemäß § 13 Absatz 1 Satz 1 Nummer 1 oder § 22 Absatz 1 Satz 1 DVOSächsBO <input type="checkbox"/> Personen, die in einem anderen Mitgliedstaat der Europäischen Union, einem anderen Vertragsstaat des Abkommens über den Europäischen Wirtschaftsraum oder der Schweiz zur Erstellung von Standsicherheitsnachweisen niedergelassen sind		Listennummer: 60216  Verzeichnisnummer: 

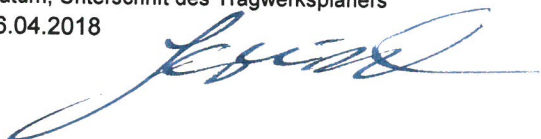
#### 6. Erklärung des Tragwerksplaners

Die Kriterien nach Ziffer 4 sind

- ☒ ausnahmslos erfüllt. Eine Prüfung des Standsicherheitsnachweises ist nicht erforderlich.
- ☐ nicht ausnahmslos erfüllt. Eine Prüfung des Standsicherheitsnachweises ist erforderlich.

#### 7. Unterschrift

Datum, Unterschrift des Tragwerksplaners  
26.04.2018



  
**Ingenieurbüro für Bauplanung**  
 Dipl. Ing. Joachim Gerisch

Ullersdorfer Platz 2 Tel. 0351 / 2630376  
 01324 Dresden Fax 0351 / 2630376



# INGENIEURKAMMER SACHSEN

## KÖRPERSCHAFT DES ÖFFENTLICHEN RECHTS

U  
R  
K  
U  
N  
D  
E

### QUALIFIZIERTER TRAGWERKSPLANER



Herr Dipl.-Ing.  
Joachim Gerisch

Geburtstag: 24.04.1967

Geburtsort: Rodewisch

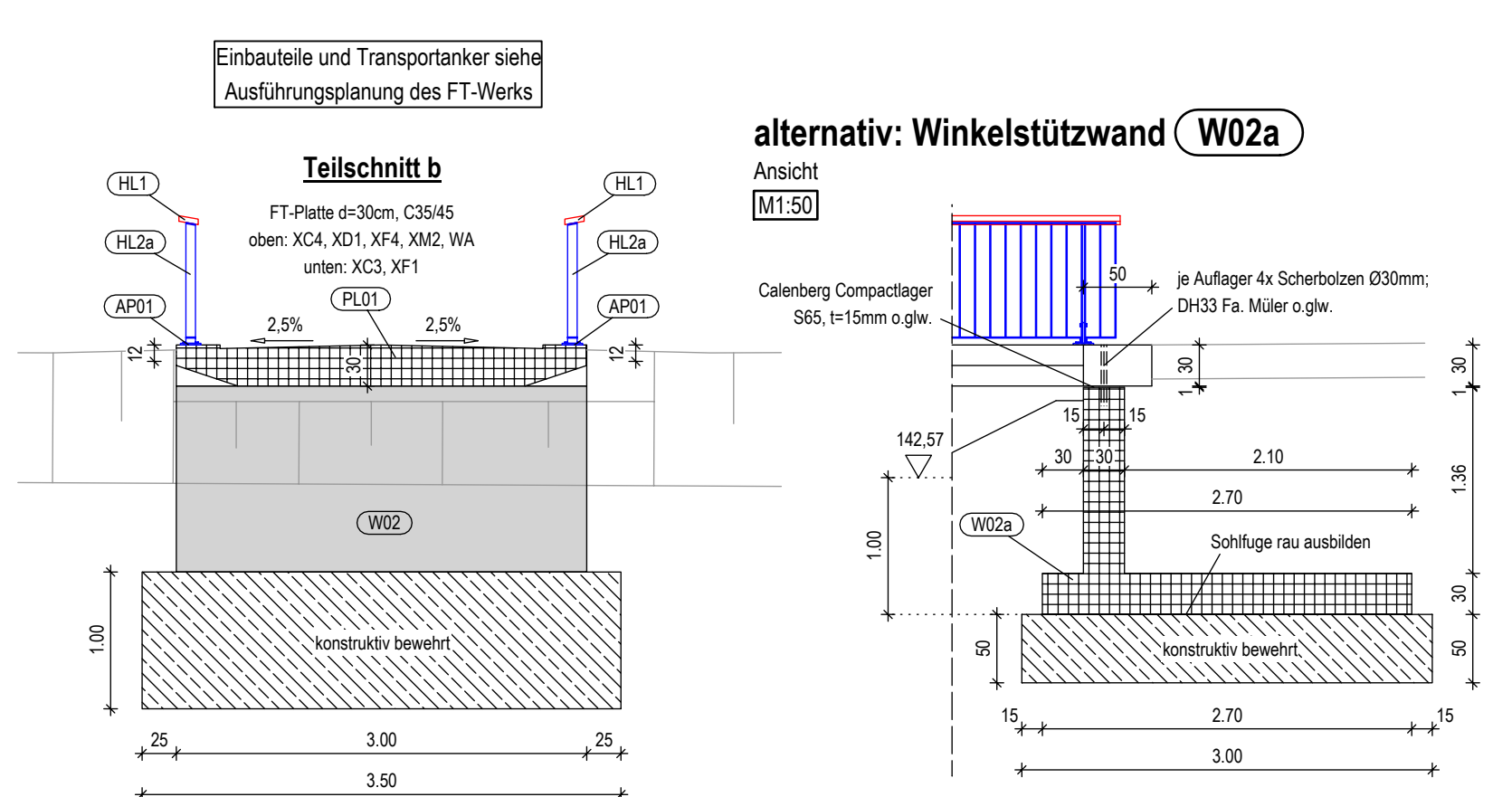
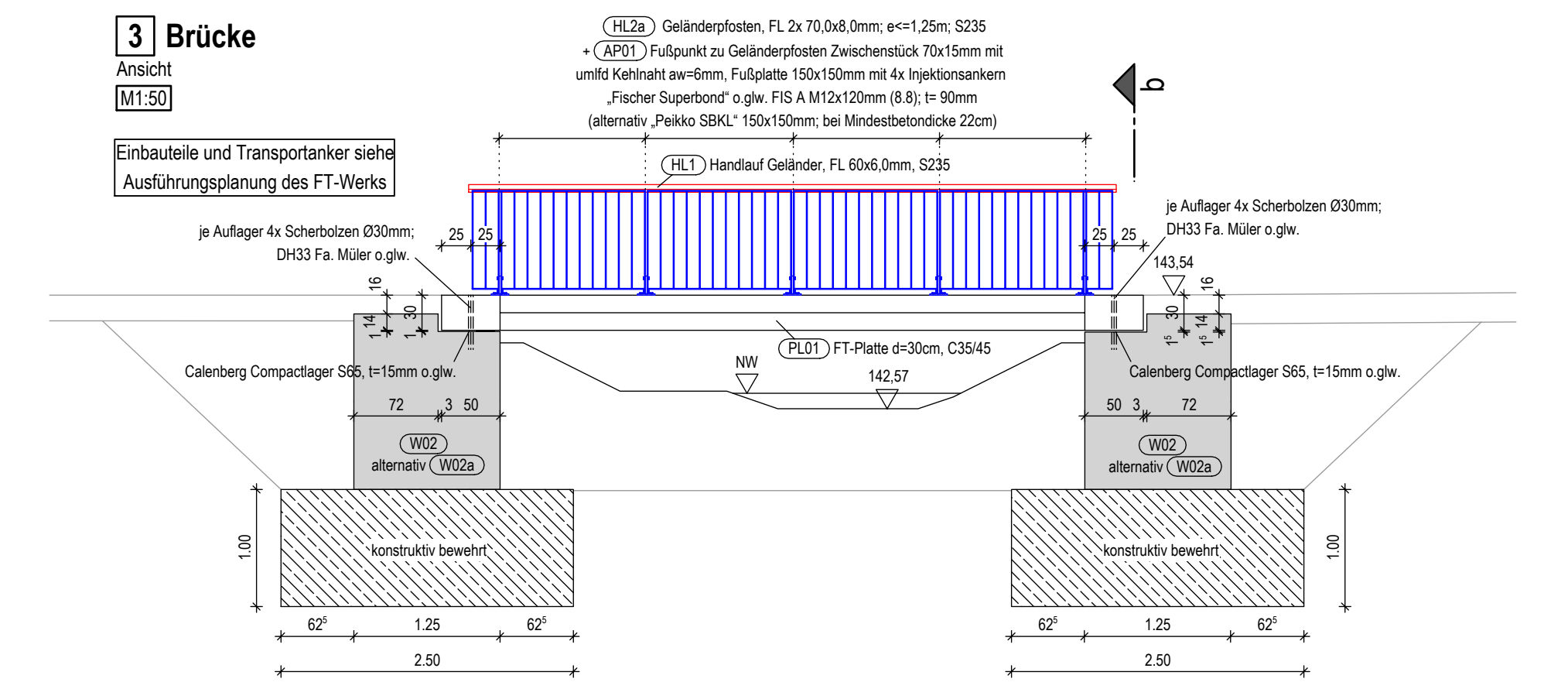
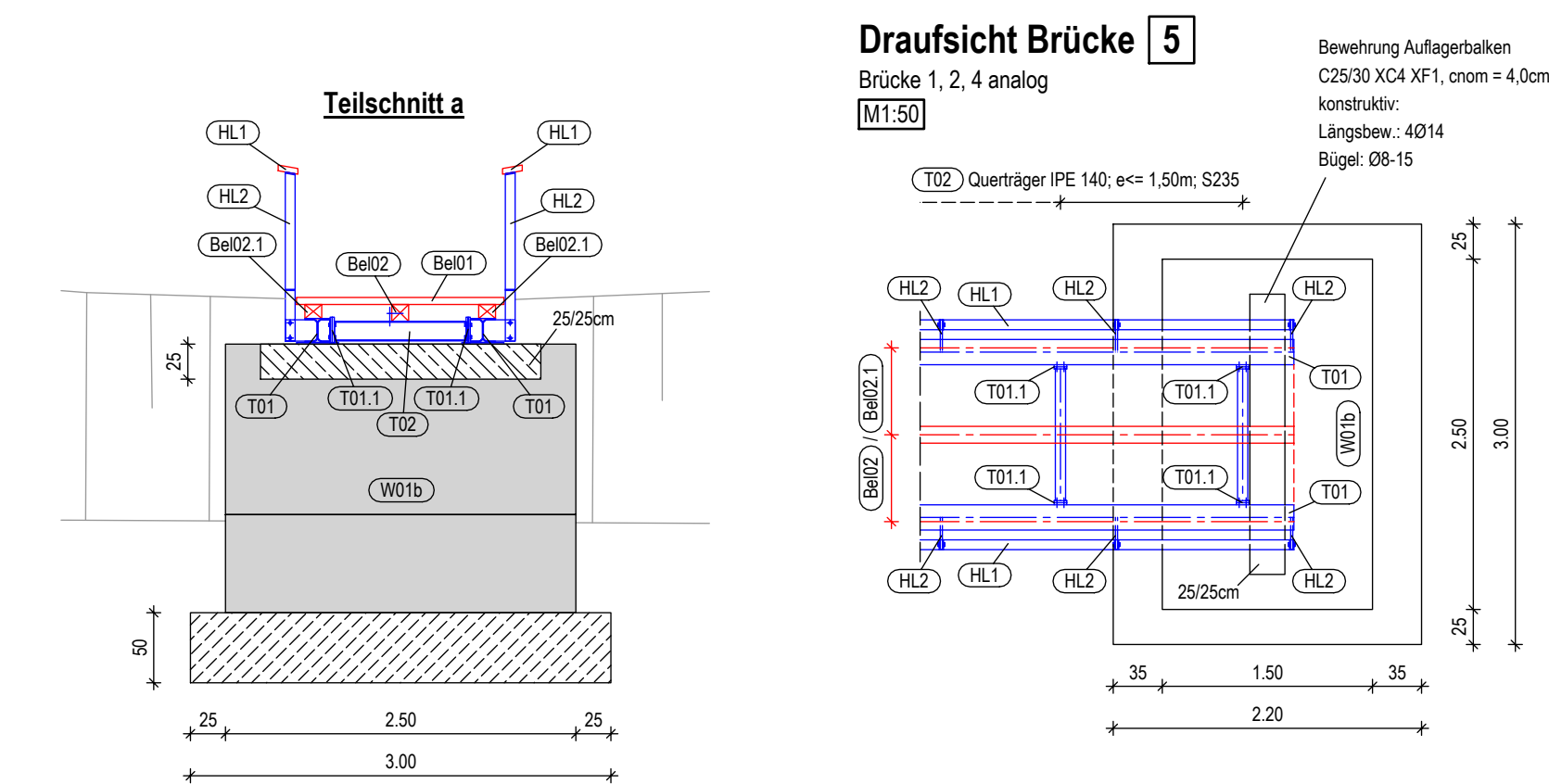
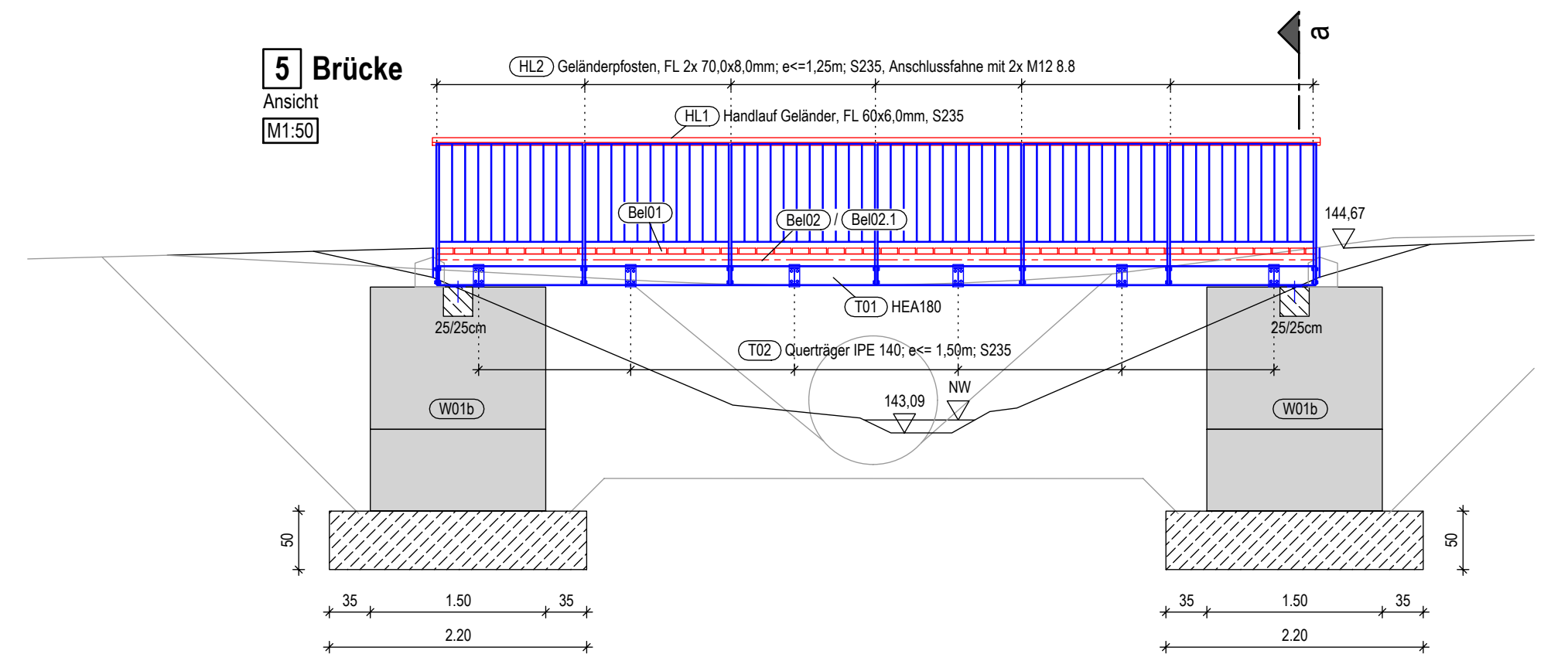
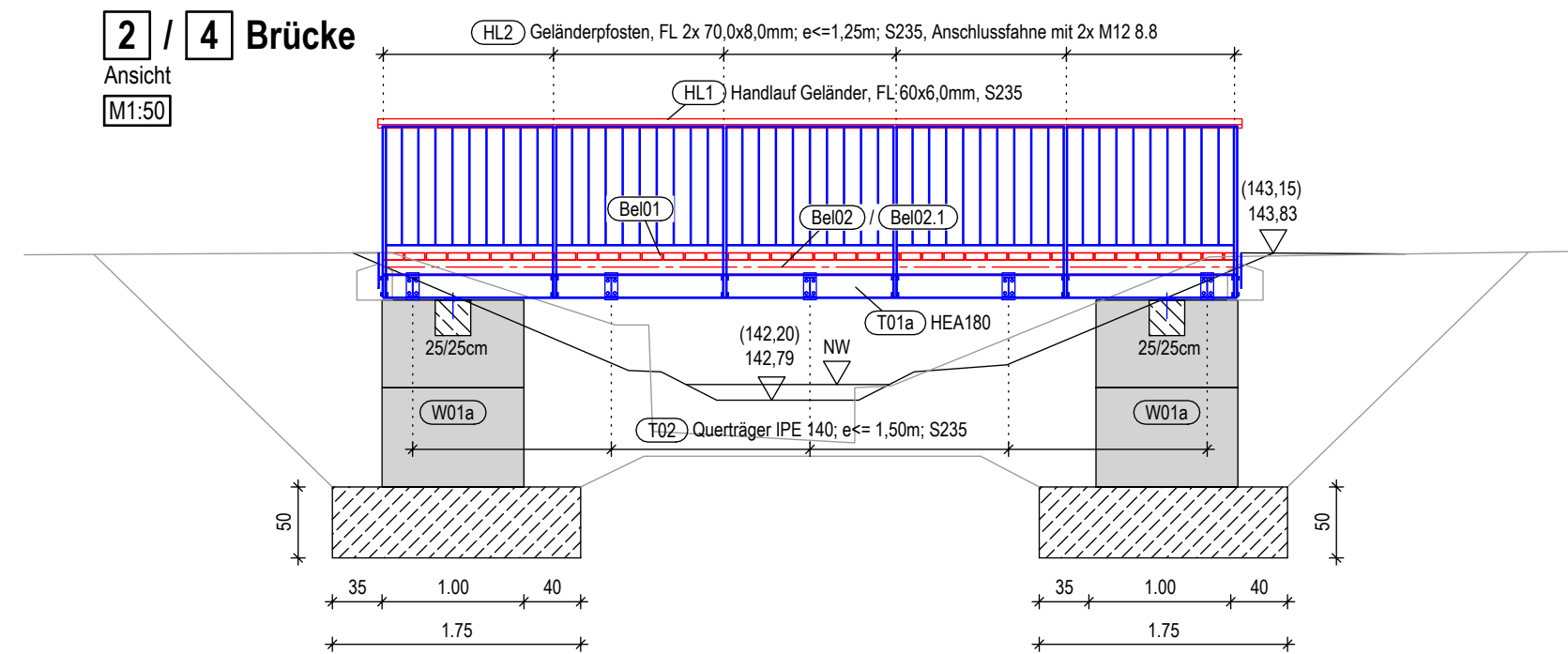
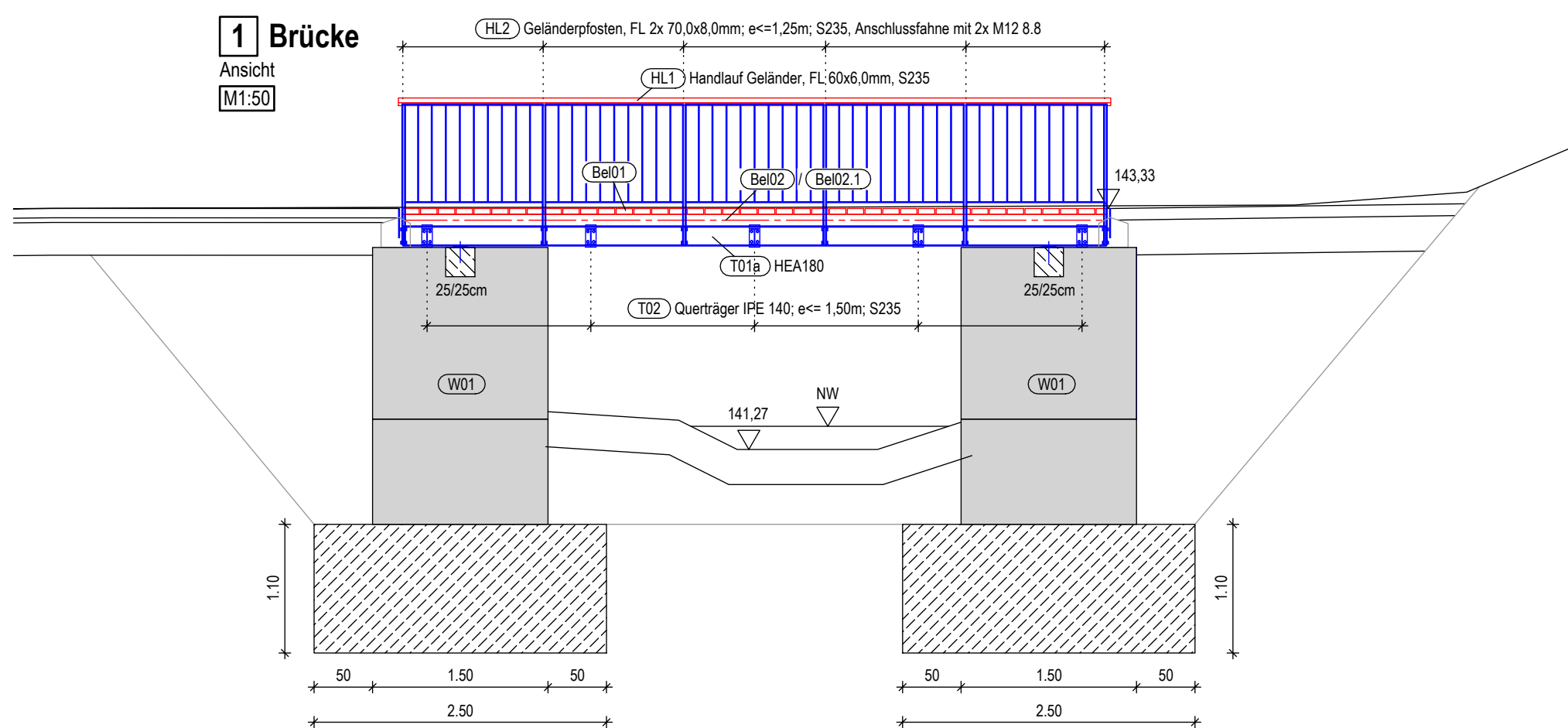
eingetragen seit: 15.09.2005

RA Walter Oertel  
Vorsitzender  
Eintragungsausschuss



Dresden, 28.05.2010





#### Legende der Statik-Positionen

Bel01	Holzböhlenbelag; d=40mm; LH D24
Bel02	Längsträger - Mitte; b/d=12/12cm; DLT e<=1,50m; NH C24
Bel02.1	Längsträger - Rand; b/d=12/10cm; DLT e<=1,50m; NH C24
HL1	Handlauf Geländer, FL 60x6,0mm, S235
HL2	Geländerpfosten, FL 2x 70,0x8,0mm; e<=1,25m; S235
HL2a	Geländerpfosten „Brücke 3“, FL 2x 70,0x8,0mm; e<=1,25m; S235
AP01	Anschlussfahne mit 2x M12 8.8 Fußpunkt zu Geländerpfosten „Brücke 3“ Zwischenstück 70x15mm mit umlfd Kehlnaht aw=6mm Fußplatte 150x150mm mit 4x Injektionsankern „Fischer Superbond“ o.glw. FIS A M12x120mm (8.8); t= 90mm

alternativ „Peikko SBKL“ 150x150mm; bei Mindestbetondicke 22cm

T1	Brückenträger „Brücke 5“, HEA 180, S235
T1a	Querträger „T2“, IPE 140; e<= 1,50m; S235
T1.1	Auflagerplatte 300x120x12mm mit 2xFAZ II M12
T2	Brückenträger „Brücken 1, 2 und 4“, HEA 180, S235
T2.1	Querträger „T2“, IPE 140; e<= 1,50m; S235
T2.1a	Auflagerplatte 300x120x12mm mit 2xFAZ II M12

geschraubter Stimplattenanschluss der Koppelstange/ Querträger an T1  
timplatten 190x90x15mm S235;  
mit 4x M12 10.9, vorgespannt

Querträger „T2“, IPE 140; e<= 1,50m; S235

Widerlager „Brücke 1“ als Gabionenwand  
Gabionenwand mit Natursteinen v. 20 kN/m²  
Breite 2,50m, Gesamthöhe der Gabionen 1,80m, Dicke 1,50m  
Gründung Höhe 1,10m; Breite 2,50m, Beton unbewehrt C25/30  
tahlbetonauflegerbalken an OK Gabione integriert  
0,25x0,25m; L=2,0m; C25/30

Widerlager „Brücken 2+4“ als Gabionenwand  
Gabionenwand mit Natursteinen v. 20 kN/m²  
Breite 2,50m, Gesamthöhe der Gabionen 1,65m, Dicke 1,0m  
Gründung Höhe 0,50m; Breite 1,75m, Beton unbewehrt C25/30  
Stahlbetonauflegerbalken an OK Gabione integriert  
0,25x0,25m; L=2,0m; C25/30

Widerlager „Brücke 5“ als Gabionenwand  
Gabionenwand mit Natursteinen v. 20 kN/m²  
Breite 2,50m, Gesamthöhe der Gabionen 2,25m, Dicke 1,50m  
Gründung Höhe 0,50m; Breite 2,20m, Beton unbewehrt C25/30  
Stahlbetonauflegerbalken an OK Gabione integriert  
0,25x0,25m; L=2,0m; C25/30

Brücke 3  
PL01  
Fertigteil-Brückenplatte; d= 30cm; lmax= 5,75m; b= 3,0m; C35/45  
Calenberg Compactlager S65, t=15mm o.glw.  
je Auflager 4x Scherbolzen Ø30mm; DH33 Fa. Müller o.glw.  
oben: XC4, XD1, XF4, XM2, WA, unten: XC3, XF1

Widerlager „Brücke 3“ als Schwerkriegelwand: C35/45  
Breite 3,0m, Gesamthöhe des Widerlagers 1,50m, Dicke 1,25m  
Gründung Höhe 1,0m; Breite 2,50m, Beton konstr. bewehrt C25/30

alternativ  
W02a  
Widerlager „Brücke 3“ als Winkelstützwand: d= 30cm; C30/37  
eiserne Sporn: 2,10m; luftseitiger Sporn: 0,30m  
Breite 3,0m, Gesamthöhe des Widerlagers 1,50m, Dicke 1,25m  
Gründung Höhe 0,50m; Breite 3,0m, Beton konstr. bewehrt C25/30

#### Hinweise

Chemischer und konstruktiver Holzschutz siehe Vorgaben des Fachplaners!
Einbauteile und Transportanker siehe Ausführungsplanung der Fachplaner.
Hinterfüllung gamma = 18 kN/m³, vor Bauausführung sind diese Kennwerte zu prüfen, bei Abweichung ist der Statiker zu informieren!
Farbgebung und Korrosionsschutz siehe Angaben des Auftraggebers!
Alle nichtbezeichneten Schweißnähte a = 4mm umlaufend.
Exakte Maße siehe Werkplanung des Architekten.
Die Angaben des Baugrundgutachtens sind zu beachten. Stets frostfrei auf tragfähigen Baugrund gründen.
Art und Konstruktion der Bauteile sowie zwischenzeitlichen Abstellmaßnahmen erfolgen durch die ausführende Firma.
Alle Maße sind von der ausf. Firma eigenverantwortlich zu prüfen, vor Ort anzupassen und Unstimmigkeiten mit dem Planfertiger zu klären.
Plan gilt nur in Verbindung mit Ausführungsplänen, Plänen des Architekten / Fachingenieure, sowie dem schriftlichen Teil der Statik.
Holz- und Stahlbau, sowie Fertigteilplanung siehe Werkstattzeichnungen der ausführenden Firmen.

#### Legende

Stahlbeton	OK FFB = Oberkante Fertigfußboden	OK G = Oberkante Gelände
Magerbeton	OK RD = Oberkante Rohdecke	AK = Außenkante
Betonfertigteil	OK BPL = Oberkante Bodenplatte	BRH = Brüstungshöhe
Mauerwerk	OK P = Oberkante Podest	UZ / OZ = Unterzug / Oberzug
nichttragende Trennwände	OK F = Oberkante Fundament	RK = Roll-Ladenkasten
		FT = Fertigteil
		DD = Deckendurchbruch
		WD = Wanddurchbruch
		WS = Windschlitze

Bezugshöhe +/- 0.00 = ... m über DHNN

Dieser Plan gilt bis zur Freigabe durch den Bauherrn bzw. Architekt als: **Vorabzug**

#### GENEHMIGUNGSPLANUNG

Index:	Datum:	Bearbeiter:	Beschreibung
d			
c			
b			
a			
-	18.04.2018	Buchin	Planerstellung

#### Bauherr:

Landeshauptstadt Dresden  
Umweltamt / Postfach 120020  
01001 Dresden

#### Planung:

Rehwaldt Landschaftsarchitekten  
Bautzner Straße 133  
01099 Dresden

#### Bauvorhaben:

Naturnahe Umgestaltung des Kaizbaches  
im Naturbad  
Dresden-Mockritz

#### Tragwerksplanung:



gerechnet: **Gerisch**

gezeichnet: **Buchin**

überprüft: **Gerisch**

Diese Zeichnung darf ohne unsere Genehmigung weder veröffentlicht noch Dritten zugänglich gemacht werden.

Plan-Nummer:

**P01**

Positionsplan

**Fußgängerbrücken**

Grundrisse, Schnitte, Details

Maßstab

**M1:50, 25**

H/B = 718 / 890 (0,64m²)

Alipian 2018